

Redakční rada:

Doc. Ing. Dr. L. Oppl, CSc. (vedoucí redaktor) — Ing. V. Bašus (výkonný redaktor) — Doc. Ing. Dr. J. Cihelka — V. Fridrich, dipl. tech. — Doc. Ing. V. Chalupová, CSc. — Ing. arch. L. Chalupský — Doc. Ing. J. Chyský, CSc. — Ing. B. Jelen — Ing. L. Kubíček — Ing. Dr. M. Lázňovský — Ing. Dr. J. Němec, CSc. — Ing. L. Strach, CSc. — Doc. Ing. J. Valchář, CSc.

Adresa redakce: Dvorecká 3, 147 00 Praha 4

OBSAH

Ing. J. Mikler, CSc.:	Metóda na výpočet energetických ziskov rovinných solárnych kolektorov a budov od slnečného žiarenia . . . . .	129
Ing. P. Rejf:	Určenie dynamických vlastností prostorové rozloženého potrubí . . . . .	151
Ing. arch. J. Vrtěl:	Koeficientová metoda zjištění interreflexní složky při bočním denním osvětlení . . . . .	165
Z. Svoboda:	K approximaci charakteristik ventilátorů . . . . .	175



CONTENTS

Ing. J. Mikler, CSc.:	Calculation method of energy gains of flat-plate solar collectors and buildings from solar radiation . . . . .	129
Ing. P. Rejf:	Determination of the dynamic properties of piping tubes arranged in space . . . . .	151
Ing. arch. J. Vrtěl:	Coefficient method of the interreflective component determination with the lateral day lighting . . . . .	165
Z. Svoboda:	An approximation of fan characteristics . . . . .	175

---

ACADEMIA

## СОДЕРЖАНИЕ

Инж. Й. Микрел, к.т.н.:	Метод расчета энергетических прибылей плоских солнечных коллекторов и зданий от солнечной радиации	129
Инж. П. Рейф:	Определение динамических свойств пространственно расположенного трубопровода . . . . .	151
Инж. арх. Я. Вртэл:	Метод коэффициентов для определения интеррефлексной составляющей при боковом дневном освещении . . . . .	165
З. Свобода:	Аппроксимация характеристик вентиляторов . . . . .	175



## SOMMAIRE

Ing. J. Mikler, CSc.:	Méthode de calcul des gains énergétiques des collecteurs solaires plans et des bâtiments du rayonnement solaire . . . . .	129
Ing. P. Rejf:	Détermination des caractéristiques dynamiques de la tuyauterie arrangée dans l'espace . . . . .	151
Ing. arch. J. Vrtél:	Méthode des coefficients pour la détermination de la composante d'interreflexion à l'éclairage naturel latéral	165
Z. Svoboda:	Approximation des caractéristiques des ventilateurs . . . . .	175



## INHALT

Ing. J. Mikler, CSc.:	Berechnungsmethode der Energiegewinne der Ebenen-sonnenkollektoren und Gebäude von der Sonnenstrahlung	129
Ing. P. Rejf:	Bestimmung dynamischer Eigenschaften der räumlich ausgebreiteten Rohrleitung . . . . .	151
Ing. arch. J. Vrtél:	Koeffizientmethode zur Bestimmung der Interreflexions-komponente bei der seitlichen Tageslichtbeleuchtung . . . . .	165
Z. Svoboda:	Approximation der Charakteristiken von Ventilatoren . . . . .	175

# METÓDA NA VÝPOČET ENERGETICKÝCH ZISKOV ROVINNÝCH SOLÁRNYCH KOLEKTOROV A BUDOV OD SLNEČNÉHO ŽIARENIA

ING. JOZEF MIKLER, CSc.

*Ústav stavebnictva a architektúry SAV, Bratislava*

V článku sa uvádzajú charakteristika výpočtovej metódy SOLEN a počítačového programu rovnakého mena, na určovanie dostupnosti slnečnej energie v ľubovoľnej geografickej lokalite, na ľuboľne orientovanej a sklonenej rovine, pro zohľadnení reálnych klimatických a poveternostných pomerov lokality. V prípade vyšetrovania mikroklimy interierov budov a solárnych kolektorov metóda umožňuje aj výpočet energetických ziskov od slnečného žiarenia za zasklením, ako aj množstva slnečnej energie pochytanej absorpcným povrchom umiestneným za zasklením.

*Recenzoval: Ing. Michalička, CSc.*

## 1. ÚVOD

Slnečná energia je jedným z dôležitých perspektívnych obnoviteľných energetických zdrojov, ktorý v prípade jeho rozsiahlejšieho využívania može významne prispieť k úsporám tradičných zdrojov energie a palív [1, 2, 3, 4].

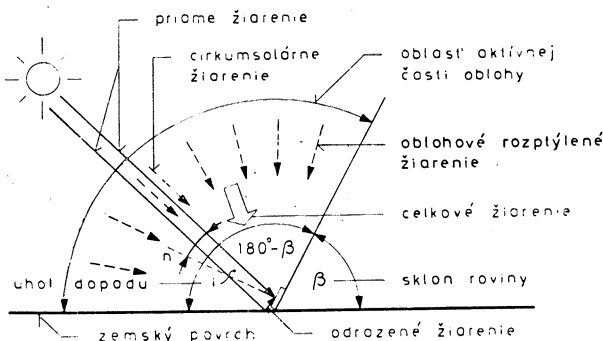
Pri plánovaní, návrhu a projektovaní zariadení na využívanie slnečnej energie je treba, aby boli k dispozícii údaje o dostupnosti slnečného žiarenia v uvažovanej lokalite. V súčasnosti je však k dispozícii málo spoľahlivých a výstižných štatistických údajov o slnečnom žiareni, získaných z aktinometrických meraní (spravidla len pre horizontálnu rovinu) a vo veľmi malom počte miest [2]. Ukázala sa preto objektívna potreba analytického výpočtového určovania dostupnosti energie slnečného žiarenia. Príspevkom k riešeniu tohto problému je aj výpočtová metóda SOLEN, charakterizovaná v tomto článku, ktorú vypracoval jeho autor ako zlepšený variant ním navrhnutej podobnej metódy uvedenej v [5]. Hlavným prínosom tejto metódy je to, že sa v nej vhodnou formou zohľadňuje vplyv reálnych klimatických a poveternostných pomerov uvažovanej geografickej lokality, v dôsledku čoho táto metóda, ako aj autorom článku na jej základe vypracovaný počítačový program rovnakého mena, poskytujú výsledky, ktoré sú v dobrej zhode s porovnávanými korešpondujúcimi údajmi, získanými z aktinometrických meraní.

## 2. POTREBA POZNANIA MNOŽSTVA A KVALITY SLNEČNÉHO ŽIARENIA PRI NAVRHOVANÍ SOLÁRNYCH KOLEKTOROV A HODNOTENÍ TEPELNEJ BILANCIE BUDOV

Základom úvah o priamom využívaní energie slnečného žiarenia sú poznatky o dostupnom slnečnom žiareni v uvažovanom mieste, a to v prvom rade o jeho množstve, ale aj o jeho kvalite, ktorá je v tejto súvislosti reprezentovaná vzájomným pomerom jednotlivých zložiek slnečného žiarenia.

Na všeobecnú rovinu so sklonom  $\beta > 0^\circ$  (pričom sklon roviny  $\beta$  je uhol medzi

horizontálnou rovinou a uvažovanou rovinou), pri bezoblačnej oblohe dopadá celkové slnečné žiarenie, ktoré pozostáva z troch zložiek, a to z priamej zložky, z difúznej zložky a zo zložky slnečného žiarenia odrazeného od okolitého terénu pred vyšetrovanou rovinou. Schéma týchto základných zložiek slnečného žiarenia na úrovni zemského povrchu je uvedená na obr. 1. Na tomto obrázku je znázor-



Obr. 1. Základné zložky slnečného žiarenia na úrovni zemského povrchu.

néné ešte aj tzv. cirkumsolárne žiarenie, ktoré je vlastne difúznym žiareniom rovnobežným s priamym slnečným žiareniom. Tento druh žiarenia sa však vo výpočtových metódach na určovanie dostupného množstva energie slnečného žiarenia spravidla neuvažuje ako samostatná zložka.

Pri horizontálnej rovine so sklonom  $\beta = 0^\circ$ , ktorá predstavuje špeciálny prípad všeobecnej roviny, dopadá na ňu tzv. *globálne slnečné žiarenie*, ktoré sa skladá len z priamej a difúznej zložky, pretože zložka odrazená od okolitého terénu je v tomto prípade nulová.

Pri výpočte množstva slnečného žiarenia, ktoré prejde cez sklenenú tabuľu (alebo tabuľu z iného priesvitného materiálu) vo funkcií priesvitného krytu solárneho kolektora, resp. cez sklenenú tabuľu okna budovy, je treba uvažovať separátne zložku priemeho slnečného žiarenia, nakolko priapustnosť tejto zložky zasklením je funkciou jej uhla dopadu  $i$ . Podobne aj koeficient pohltivosti priamej zložky slnečného žiarenia zasklením, ako aj koeficient pohltivosti priamej zložky slnečného žiarenia absorpným povrhom absorbéra solárneho kolektora (umiestneným za jeho skleným krytom), je taktiež funkciou uhla dopadu priamej složky slnečného žiarenia.

### 3. MATEMATICKÝ MODEL A METÓDA URČOVANIA DOSTUPNOSTI ENERGIE SLNEČNÉHO ŽIARENIA A ENERGETICKÝCH ZISKOV

Navrhnutá metóda je charakteristická tým, že výpočet dostupného množstva počítaných veličín sa uskutočňuje na dvoch úrovniach, a to jednak na úrovni ožiarenosti (resp. intenzity slnečného žiarenia, alebo plošnej hustoty žiarivého

toku slnečného žiarenia) označenej ako  $I$  [ $\text{kW m}^{-2}$ ], ako aj na úrovni plošnej hustoty energie slnečného žiarenia  $R$  [ $\text{kWh m}^{-2}$ ]. Jednotlivé zložky veličín  $I$  a  $R$  sa vypočítavajú za predpokladu pôsobenia bezoblačných, ako aj zamračených, resp. oblačných podmienok. Vplyv uvedených podmienok sa v metóde vyjadruje pomocou údaja priemerný relatívny slnečný svit  $s$ , ktorý je definovaný ako pomer skutočného času k teoreticky možnému času trvania slnečného svitu za uvažované časové obdobie [5].

Výsledné vypočítané veličiny  $R$  sa metódou a programom SOLEN poskytujú pre zvolený mesiac a aj pri priemernom relatívnom slnečnom svite  $s$  sa berú jeho mesačné priemerné hodnoty  $s_m$ .

### 3.1. Výpočet ožiarenosti ľubovoľne orientovanej a sklonenej roviny

#### 3.1.1. Bezoblačné pomery

Za tohto stavu oblohy (veličiny, ktoré charakterizujú tento stav, majú index b), keď je k dispozícii priame slnečné žiarenie, sa na vyjadrenie oslabenia slnečného žiarenia pri jeho prechode zemskou atmosférou používa Linkeho zákalový činiteľ atmosféry v mesačnej relácii  $T_m$ . Tento charakterizuje priepustnosť reálnej atmosféry zvoleného miesta pri jasnej a bezoblačnej oblohe v závislosti od jej zákalu a od nadmorskej výšky lokality.

Prvou veličinou, ktorá sa počíta, je priama (označenie p) normálová ožiarenosť roviny kolmej (druhý index K) k smeru slnečných lúčov na úrovni zemského povrchu  $pI_{bK}$ . Pri výpočte  $pI_{bK}$  sa použil podla [6] výraz

$$pI_{bK} = I_0 u_1, \quad (1)$$

v ktorom

$$u_1 = \frac{300 \sin h_0 - T_m (T_m - 1)}{300 (\sin h_0 + 0,106 T_m)}, \quad (2)$$

$\tilde{I}_0$  — je mimozemská ožiarenosť v danom dni roka, jej celoročná priemerná hodnota sa nazýva solárna konštanta  $I_0$  (v metóde sa uvažuje  $I_0 = 1,37 \text{ kW m}^{-2}$ ),  
 $h_0$  — výška Slnka, t. j. uhol medzi smerom slnečného lúča a horizontálnou rovinou ( $^{\circ}$ ),  
 $T_m$  — priemerná mesačná hodnota Linkeho zákalového činitela atmosféry lokality.

Na základe veličiny  $pI_{bK}$  sa vypočítava priama slnečná ožiarenosť ľubovoľne orientovanej roviny so sklonom  $\beta$ , tj.  $pI_{b\beta}$ , ktorá je daná výrazom

$$pI_{b\beta} = pI_{bK} \cos i \quad (3)$$

kde  $i$  je uhol dopadu priameho slnečného žiarenia (t. j. uhol medzi smerom slnečného lúča a normálou uvažovanej roviny).

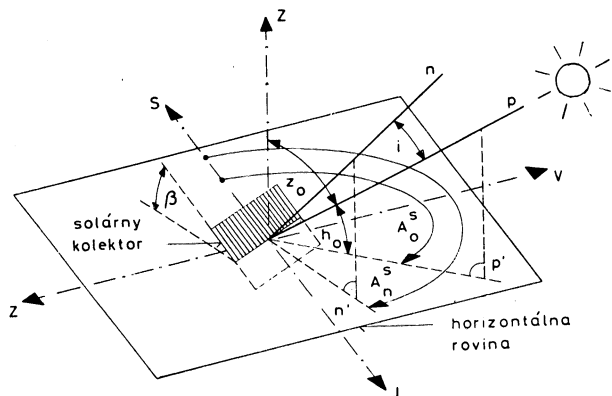
Východiskové premenné  $I_0$ ,  $h_0$ ,  $i$ , ako aj ďalšie potrebné pomocné premenné, ako  $\delta$  (deklinácia Slnka),  $t^s$  (hodinový uhol) a  $A_{\delta}^s$  (azimut Slnka, meraný od severu smerom doprava) sa určujú pomocou vzorecov uvedených v [5].

Hlavné uhlové veličiny, používané pri výpočte dostupnosti slnečnej energie, sú znázornené v schéme na obr. 2.

Ďalšou veličinou, ktorá sa počíta za podmienok bezoblačnej oblohy, je difúzna ožiarenosť horizontálnej roviny  $dI_{bH}$ , daná vzťahom

$$dI_{bH} = k_b (I_0 - pI_{bK}) \sin h_0, \quad (4)$$

kde  $k_b$  je koeficient, ktorý udáva časť atmosférou roptyléneho slnečného žiarenia, ktoré smeruje dole, k zemskému povrchu.



Obr. 2. Hlavné uhlové veličiny použité pri výpočte dostupného množstva energie slnečného žiarenia na zvolenej rovine, resp. na solárnom kolektore.

Podrobnejšia numerická analýza uskutočnená pri návrhu tejto metódy ukázala, že  $k_b$  je najvhodnejšie vyjadriť v závislosti od  $T_m$  pomocou vzorca

$$k_b = (0,22 + 0,025T_m). \quad (5)$$

Oblohou difúzna zložka, resp. ožiarenosť všeobecnej roviny so sklonom  $\beta$  za bezoblačných podmienok  ${}^dI_{b\beta}$  sa podľa [5] dá určiť z výrazu

$${}^dI_{b\beta} = {}^dI_{bH} u_2, \quad (6)$$

v ktorom

$$u_2 = \frac{1}{2} \left[ \sin \beta \left( 0,94 e^{\cos i} + \frac{1,84}{T_m} - 1,44 \right) + 1 + \cos \beta \right]. \quad (7)$$

Tretia zložka pri všeobecnej rovine so sklonom  $\beta > 0^\circ$ , ožiarenosť odrazená od okolitého terénu  ${}^rI_{b\beta}$ , sa určuje pomocou výrazu

$${}^rI_{b\beta} = \frac{1}{2} \varrho_t (1 - \cos \beta) ({}^pI_{bK} \sin h_0 + {}^dI_{bH}). \quad (8)$$

Vo vzťahu (8)  $\varrho_t$  je albedo okolitého terénu, ktoré sa pri porovnávacích výpočtoch slúžiacich na vyhodnotenie výstižnosti tejto metódy bralo hodnotou  $\varrho_t = 0,20$ .

### 3.1.2. Zamračené, resp. oblačné pomery

Tento stav oblohy a zemskej atmosféry je charakterizovaný čiastočne, až úplne zamračenou oblohou, pričom Slnko je zatienené oblakmi, takže v tomto prípade je neprítomná priama zložka slnečného žiarenia. Veličiny, ktoré prislúchajú tomuto stavu oblohy sú označené prvým indexom z. Aj v tomto prípade je dôležitá difúzna ožiarenosť horizontálnej roviny  ${}^dI_{zH}$ . Na jej výpočet sa používa vzťah, ktorý má tvar

$${}^dI_{zH} = k_z I_0 \sin h_0. \quad (9)$$

Na základe výpočtovej analýzy sa ukázalo, že na určenie  $k_z$  možno vhodne použiť vzorec

$$k_z = (0,18 + 0,025T_m). \quad (10)$$

Koeficient  $k_z$ , podobne ako  $k_b$ , je taktiež funkciou  $T_m$ , aj keď pri použití základového činitela  $T_m$  na vyjadrenie  $k_z$  ide o určitú aproximáciu fyzikálne menej odpovedajúcu skutočnosti.

Oblohouvá difúzna ožiarenosť všeobecnej roviny so sklonom  $\beta$  pre zamračené pomery  ${}^dI_{z\beta}$  sa určuje pomocou výrazu

$${}^dI_{z\beta} = 0,4 {}^dI_{zH} (1 + 1,5 \cos \beta). \quad (11)$$

Dalšia zložka, ožiarenosť odrazená od okolitého terénu pri zamračenom stave oblohy  ${}^rI_{z\beta}$ , sa vypočítava na základe vzťahu

$${}^rI_{z\beta} = \varrho {}^dI_{zH} \left( 0,5 - \frac{\cos \beta}{2} \right). \quad (12)$$

### 3.2. Určenie plošnej hustoty energie dopadajúceho slnečného žiarenia

Po výpočte jednotlivých okamžitých zložiek ožiareností  $I$  v  $\text{kW m}^{-2}$  sa vypočítavajú im korešpondujúce a od nich odvodene veličiny plošnej hustoty energie slnečného žiarenia  $R$  v  $\text{kWh m}^{-2}$ . Jednotlivé množstvá veličín  $R$  sa počítajú najskor pre zvolený deň (označené indexom d) daného mesiaca (v metóde sa volí ako charakteristický deň 15.) a potom pre celý uvažovaný mesiac (označené indexom m). Veličiny  $R$  sa počítajú pre teoretický, astronomicky možný čas denného trvania slnečného svitu  $S_a$ , ktorý predstavuje počas roka premenný časový interval a je daný vzťahom

$$S_a = H_{az} - H_{av}, \quad (13)$$

kde  $H_{az}$  je hodina západu Slnka,

$H_{av}$  je hodina východu Slnka, pri voľnom horizonte, v miestnom slnečnom čase  $H$ .

Ked nepoznáme funkčnú závislosť jednotlivých zložiek  $I = f(H)$  za bezoblačných, ako aj oblačných podmienok, udávajúcu priebeh  $I$  v závislosti od času  $H$ , ale vieme vypočítať hodnoty napr. difúznej zložky  ${}^dI_{b\beta j}$  v jednotlivých časových intervaloch  $\Delta H$ , ktorých počet  $j = 1, 2, 3 \dots m'$ , tak v tomto prípade korešpondujúce denné množstvo plošnej hustoty energie dopadajúceho difúzneho slnečného žiarenia za bezoblačných podmienok,  ${}^dR_{b\beta d}$  sa može určiť numerickou integráciou použitím vzťahu

$${}^dR_{b\beta d} = \sum_{j=1}^{m'} {}^dI_{b\beta j} \Delta H. \quad (14)$$

Uvedený spôsob numerickej integrácie sa použil aj v navrhnutej metóde s tým, že časový interval  $\Delta H = 0,25$  h. Týmto spôsobom sa určujú v metóde aj ďalšie počítané denné sumy zložiek  ${}^rR_{b\beta d}$  a  ${}^rR_{b\beta d}$  pre bezoblačné podmienky, ako aj denné sumy zložiek pri zamračených podmienkach  ${}^dR_{z\beta d}$  a  ${}^rR_{z\beta d}$ .

Pomocou použitia údaja priemerný mesačný relatívny slnečný svit  $s_m$  a počtu dní uvažovaného mesiaca  $n$  sa ďalej z denných hodnot veličín  $R$  pre bezoblačné pomery vypočítavajú sumárne mesačné hodnoty (označené indexom m) plošnej hustoty energie celkového slnečného žiarenia a jeho zložiek dopadajúcich na zvolenú rovinu so sklonom  $\beta$  zo vzorcov

$${}^p R_{b\beta m} = {}^p R_{b\beta d} n S_m, \quad (15)$$

$${}^d R_{b\beta m} = {}^d R_{b\beta d} n S_m, \quad (16)$$

$${}^r R_{b\beta m} = {}^r R_{b\beta d} n S_m, \quad (17)$$

$${}^c R_{b\beta m} = {}^p R_{b\beta m} + {}^d R_{b\beta m} + {}^r R_{b\beta m}. \quad (18)$$

Sumárne mesačné hodnoty plošnej hustoty energie dopadajúceho celkového slnečného žiarenia a jeho zložiek za zamračených podmienok sa počítajú podobným spôsobom s tým rozdielom, že namiesto údaja  $s_m$  sa v tomto prípade používa koeficient  $(1 - s_m)$ . Takže

$${}^d R_{z\beta m} = {}^d R_{z\beta d} n (1 - s_m), \quad (19)$$

$${}^r R_{z\beta m} = {}^r R_{z\beta d} n (1 - s_m), \quad (20)$$

$${}^c R_{z\beta m} = {}^d R_{z\beta m} + {}^r R_{z\beta m}. \quad (21)$$

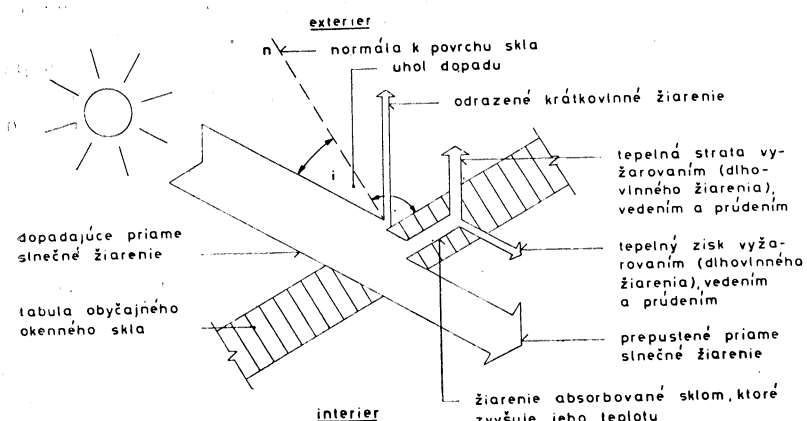
Vynásobením denných množstiev  $R$  počtom dní  $n$  a koeficientom  $s_m$  vo vzťahoch (15) až (17), resp.  $(1 - s_m)$  vo vzorcoch (19) a (20), sa získavajú príslušné pôdiely jednotlivých veličín v rámci uvažovaného mesiaca, podľa toho, či ide o veličiny bezoblačných alebo zamračených pomerov oblohy.

Ako posledná sa počíta priemerná hodnota sumárneho množstva dostupnej plošnej hustoty energie celkového slnečného žiarenia za daný mesiac  ${}^c R_{\beta m}$ , ktorá je hlavným výstupom metódy a programu SOLEN pri výpočte dopadajúcich množstiev plošnej hustoty, pomocou súčtu

$${}^c R_{\beta m} = {}^c R_{b\beta m} + {}^c R_{z\beta m}. \quad (22)$$

### 3.3. Výpočet energetického zisku od slnečného žiarenia za referenčným zasklením

Metóda a program SOLEN umožňujú ďalej výpočet energetických ziskov zo slnečného žiarenia aj v priestore za zasklením okna, solárneho kolektora a pod. Pri tomto výpočte, ktorý je druhým výpočtovým stupňom metódy, sa uvažuje



Obr. 3. Schéma mechanizmu tepelných energetických ziskov interieru od priameho slnečného žiarenia pri obyčajnom okennom skle.

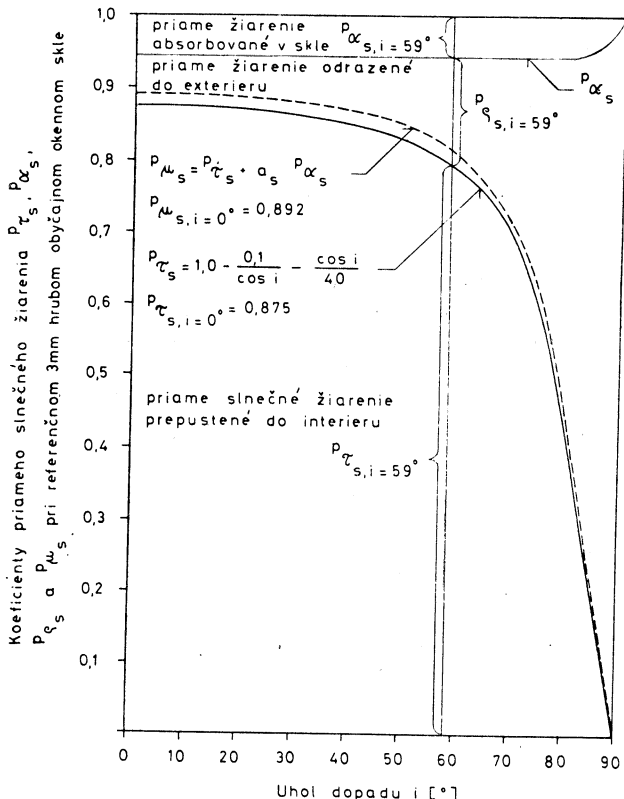
tzv. referenčné zasklenie, ktoré predstavuje 3 mm hrubé, mierne zašpinené obyčajné okenné sklo.

Hrubá schéma mechanizmu tepelných ziskov interieru od priameho slnečného žiarenia pri obyčajnom okennom skle je ilustrovaná na obr. 3.

Hlavné charakteristické vlastnosti skla, a to, prieplustnosť, odrazivosť a pohltivosť sú kvalitatívne vyjadrené pomocou koeficientu prieplustnosti  $\tau_s$ , koeficientu odrazivosti  $\rho_s$  a koeficientu pohltivosti  $\alpha_s$ . Pri presnom vyjadrení uvedených koeficientov by sa malo uplatňovať jednak spektrálne zloženie dopadajúceho slnečného žiarenia, ako aj smerovosť priamej zložky dopadajúceho slnečného žiarenia, ktorá súvisí s uhlov dopadu priameho slnečného žiarenia na povrch skla. V tejto približnej metóde sa zohľadňuje len závislosť prieplustnosti od uhla dopadu  $i$  priameho slnečného žiarenia, daná koeficientom  $p\tau_s$ , zatiaľ čo pohltivosť priameho slnečného žiarenia sklom, vyjadrená koeficientom pohltivosti skla  $p\alpha_s$  sa uvažuje konštantnou hodnotou pre všetky uhly dopadu  $i$ .

Závislosť  $p\tau_s$  a  $p\alpha_s$  od uhla dopadu  $i$  použitá v metóde podľa [6], je daná vzťahom

$$p\tau_s = 1,0 - \frac{0,1}{\cos i} - \frac{\cos i}{40}, \quad (23)$$



Obr. 4. Závislosť koeficientu prieplustnosti  $p\tau_s$ , pohltivosti  $p\alpha_s$  a odrazivosti  $p\rho_s$  priameho slnečného žiarenia pri obyčajnom 3 mm hrubom okennom skle od uhla dopadu  $i$ .

resp.

$$p\alpha_s = 0,04 \cos i + \frac{\cos i \sin i}{70 \cos^2 i + 2} + 0,013. \quad (24)$$

Krivka závislosti  $p\tau_s$  od uhla dopadu priameho slnečného žiarenia  $i$ , platná pre referenčné 3 mm hrubé obyčajné okenné sklo, daná vzťahom (23), je znázornená v grafe na obr. 4. Na tomto obrázku je uvedená aj závislosť koeficientu pohľivosti  $p\alpha_s$  určená vzorcom (24), prenesená zo spodnej strany grafu, k jeho hornej strane, pričom ako rozdiel medzi príslušnými veľkosťami koeficientov  $p\tau_s$  a  $p\alpha_s$  sa dá pre jednotlivé hodnoty  $i$  odčítať aj koeficient odrazivosti  $p\varrho_s$ .

Vzhľadom na pomerne malý interval zmien koeficientu pohľivosti  $p\alpha_s$  v závislosti od uhla dopadu  $i$  (hlavne v rozmedzí  $i = 0^\circ$  až  $80^\circ$ ) sa tento v metóde uvažuje konštantnou hodnotou  $p\alpha_s = 0,055$ . Rovnakou hodnotou sa berie aj koeficient pohľivosti difúzneho a od terénu odrazeného slnečného žiarenia, takže platí tiež  $d\alpha_s = r\alpha_s = 0,055$ .

Koeficient prieplustnosti difúzneho a od terénu odrazeného slnečného žiarenia sa v metóde uvažuje približnou hodnotou  $d\tau_s = r\tau_s = 0,8$ .

Príspevok od slnečného žiarenia absorbovaného referenčným sklom a odovzdaného do interieru sa vyjadruje pomocou koeficientu  $a$ , ktorý sa v metóde uvažuje približnou hodnotou  $a = 0,3$ .

Na základe uvedených veľičín a ich hodnot sa môže potom určiť tzv. koeficient efektívnej prieplustnosti uvažovaného referenčného skla pre priame žiarenie  $p\mu_s$ , pre difúzne žiarenie  $d\mu_s$  a pre žiarenie odrazené od okolitého terénu  $r\mu_s$  pomocou týchto vzťahov

$$p\mu_s = p\tau_s + a \cdot p\alpha_s, \quad (25)$$

$$d\mu_s = r\mu_s = d\tau_s + a \cdot d\alpha_s. \quad (26)$$

Priebeh závislosti koeficientu  $p\mu_s$  (pre uvažované sklo a hodnoty  $p\tau_s$  a  $p\alpha_s$ ) od uhla dopadu  $i$  je na obr. 4. znázornený čiarkovanou čiarou.

Plošné hustoty žiarivého toku, resp. tepelného zisku z jednotlivých zložiek slnečného žiarenia za referenčným zasklením so sklonom  $\beta$  za bezoblačných podmienok  $pI'_{b\beta j}$ ,  $dI'_{b\beta j}$ ,  $rI'_{b\beta j}$ , a  $cI'_{b\beta j}$ , ako aj za zamračených podmienok  $dI'_{z\beta j}$ ,  $rI'_{z\beta j}$  a  $cI'_{z\beta j}$ , počítané v jednotlivých časových intervaloch  $\Delta H = 0,25h$ . sa v charakteristickom dni mesiaca určia s využitím výrazov (25) a (26) zo vzťahov

$$pI'_{b\beta j} = pI_{b\beta j} p\mu_s, \quad (27)$$

$$dI'_{b\beta j} = dI_{b\beta j} d\mu_s, \quad (28)$$

$$rI'_{b\beta j} = rI_{b\beta j} r\mu_s, \quad (29)$$

$$cI'_{b\beta j} = pI'_{b\beta j} + dI'_{b\beta j} + rI'_{b\beta j}, \quad (30)$$

resp.

$$dI'_{z\beta j} = dI_{z\beta j} d\mu_s, \quad (31)$$

$$rI'_{z\beta j} = rI_{z\beta j} r\mu_s, \quad (32)$$

$$cI'_{z\beta j} = dI'_{z\beta j} + rI'_{z\beta j}. \quad (33)$$

V dalšom kroku sa numerickou integráciou, charakterizovanou v predchádzajúcej časti určia korešpondujúce denné veľičiny za referenčným zasklením  $pR'_{b\beta d}$ ,  $dR'_{b\beta d}$ ,  $rR'_{b\beta d}$ ,  $cR'_{b\beta d}$ ,  $dR'_{z\beta d}$ ,  $rR'_{z\beta d}$  a  $cR'_{z\beta d}$ . Pomocou týchto sa vynásobením počtom

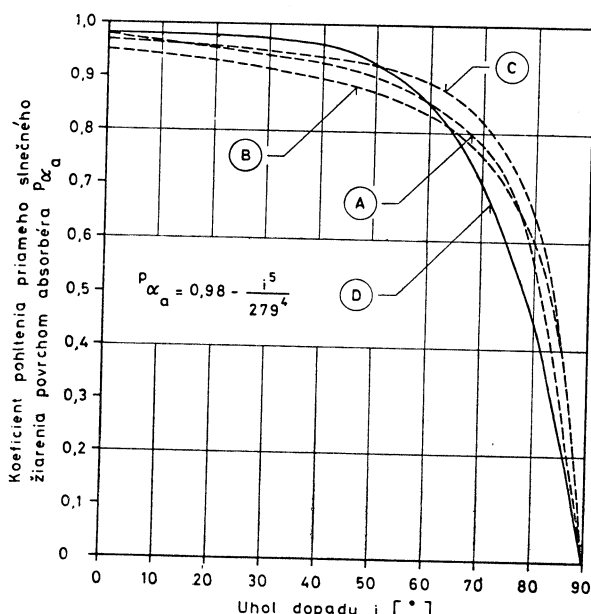
dní vo vyšetrovanom mesiaci  $n$  a priemerným mesačným relatívnym slnečným svitom  $s_m$ , pri veličinách určených za bezoblačných pomerov a koeficientom ( $1 - s_m$ ) za zamračených pomerov, určia nakoniec sumárne mesačné množstvá plošnej hustoty energie slnečného žiarenia dostupné v interieri za zasklením  $pR'_{\beta\beta m}$ ,  $dR'_{\beta\beta m}$ ,  $rR'_{\beta\beta m}$ ,  $cR'_{\beta\beta m}$ ,  $dR'_{z\beta m}$ ,  $rR'_{z\beta m}$  a  $cR'_{z\beta m}$ . Výsledná mesačná hodnota  $cR'_{\beta m}$ , ktorá je hlavným výstupom pri výpočte prepustenej energie slnečného žiarenia zasklenín, je daná vzťahom

$$cR'_{\beta m} = cR'_{\beta\beta m} + cR'_{z\beta m}. \quad (34)$$

### 3.4 Určenie množstva plošnej hustoty energie slnečného žiarenia pohlteného v absorbéri solárneho kolektora

Tretím výpočtovým stupňom metódy a programu SOLEN je výpočtový stupeň, v rámci ktorého sa vypočítava množstvo energie slnečného žiarenia pohltené absorpčným povrchom absorbera, v závislosti od množstva energie dopadajúceho a referenčným sklom prepusteného slnečného žiarenia.

V metóde a programe SOLEN sa v tejto súvislosti uplatňuje koeficient pohľtenia



Obr. 5. Závislosť koeficientu pohľtivosti priameho slnečného žiarenia typickým čiernym neselektívnym povrhom absorbera solárneho kolektora  $p_{\alpha_a}$  od uhla dopadu  $i$ .

(absorpcie) priameho slnečného žiarenia typickým čiernym neselektívnym povrhom absorbera  $p_{\alpha_a}$ , ktorý je závislý od uhla dopadu  $i$ , pričom sa zanedbáva vplyv spektrálneho zloženia slnečného žiarenia na hodnotu koeficientu  $p_{\alpha_a}$ . Pri návrhu tejto metódy sa na základe numerickej analýzy ukázalo, že závislosť koeficientu  $p_{\alpha_a}$  na  $i$  je možné vhodne vyjadriť vzťahom

$$p_{\alpha_a} = 0.98 - \frac{i^5}{2794}. \quad (35)$$

V grafe na obr. 5 uvádzame na ilustráciu krvku závislosti koeficientu  $p_{\alpha a}$  od uhla dopadu  $i$ , určenú pomocou vzorca (35), ktorá je vytiahnutá plnou čiarou a označená ako krvka  $D$ . Okrem toho v grafe sa nachádzajú aj ďalšie krvky tejto závislosti, a to krvka  $A$  podľa prameňa [7], krvka  $B$  podľa [8] a krvka  $C$  podľa [9].

Koeficient pohľdenia difúzneho žiarenia  $d_{\alpha}$  a od terénu odrazeného smereného žiarenia  $r_{\alpha}$  typickým čiernym neselektívnym absorpčným povrchom sa podľa [7] určuje približnou hodnotou o veľkosti  $d_{\alpha} = r_{\alpha} = 0,95$ .

Plošná hustota žiarivého toku slnečného žiarenia pohltiená absorpcným povrchom absorbéra solárneho kolektora, ktorý sa premení na teplo, označená ako  $I''$ , sa v metóde určuje vynásobením príslušných korešpondujúcich hodnot plošnej hustoty žiarivého toku slnečného žiarenia prepusteného referenčným sklom, resp. energetických ziskov interieru  $I'$  koeficientami  $\rho\alpha_a$ ,  $\delta\alpha_a$  a  $r\alpha_a$ . Takže základné zložky  $I''$  pre bezoblačné a zamračené, resp. oblačné podmienky sa určujú pomocou výrazov

$${}^{\text{p}}I''_{\text{b}\beta\text{i}} = {}^{\text{p}}I'_{\text{b}\beta\text{i}} \cdot {}^{\text{p}}\alpha_{\text{a}}, \quad (36)$$

$${}^d I''_{b\alpha i} = {}^d I'_{b\beta i} {}^d \alpha_a, \quad (37)$$

$${}^{\text{r}}J''_{\text{v},\text{a}} \equiv {}^{\text{r}}J'_{\text{v},\text{a}} \cdot {}^{\text{r}}\alpha_{\text{a}}, \quad (38)$$

$$eI''_{\text{b}i} = pI''_{\text{b}i} + dI''_{\text{b}ei} + rI''_{\text{b}ei}, \quad (39)$$

$$dI''_+ = dI'_+ \wedge d\alpha_+ \quad (40)$$

$$r^{I''} = r^{I'} + r_{\alpha} \quad (41)$$

$$-z\beta_j \quad z\beta_j \quad \stackrel{a}{\circ} I'' \quad \stackrel{d}{\circ} I'' \quad \stackrel{e}{\circ} I'' \quad \stackrel{f}{\circ} I'' \quad (42)$$

Podobne ako v predchádzajúcich dvoch prípadoch sa na základe výrazov (36) až (38) ako aj (40) a (41) numerickou integráciou určia im korešpondujúce množstvá  $R''$  pre charakteristický deň zvoleného mesiaca a na základe týchto množstiev denných sa potom určia (ich vynásobením počtom dní v mesiaci  $n$  a údajom  $s_m$  pri veličinách určených pre bezoblačné pomery a koeficientom  $(1 - s_m)$  pre za-mračené pomery) mesačné množstvá plošnej hustoty energie slnečného žiarenia pohltenej absorpčným povrchom absorbéra solárneho kolektora  ${}^R R''_{b\beta m}$ ,  ${}^d R''_{b\beta m}$ ,  ${}^r R''_{b\beta m}$ ,  ${}^c R''_{b\beta m}$ ,  ${}^d R''_{z\beta m}$ ,  ${}^r R''_{z\beta m}$  a  ${}^c R''_{z\beta m}$ . Hlavný vypočítaný údaj tohto stupňa výpočtu  ${}^c R''_{\beta m}$  sa určí ako pri predchádzajúcich dvoch stupňoch pomocou vzťahu

$${}^cR''_{\alpha m} \equiv {}^cR''_{b\beta m} + {}^cR''_{z\beta m}. \quad (43)$$

Pri veličine  $R_{\beta m}^{\prime \prime}$  ide už vlastne o plošnú hustotu energie slnečného žiarenia absorbovanú absorbériom solárneho kolektora, teda v skutočnosti ide o plošnú hustotu absorbovanej tepelnej energie. Pomocou priemernej plošnej hustoty absorbovanej tepelnej energie zo slnečného žiarenia a priemernej plošnej hustoty tepelných strát potom sa može vypočítať priemerná plošná hustota využitnej (užitočnej) tepelnej energie za uvažovaný mesiac a na základe tejto veličiny a plošnej hustoty energie celkového dopadajúceho slnečného žiarenia na sklený kryt aj priemerná mesačná (alebo napr. aj ročná) účinnosť slnečného kolektora.

Tab. 1. Porovnanie prímerných mesačných a ročných súm plošnej hustoty energie priamohľadovej ( $pR_{Hm}$ ,  $sR_{Hm}$ ), oblohouľového difúzneho ( $dR_{Hm}$ ,  $gR_{Hm}$ ) a globálneho ( $sR_{Hr}$ ,  $gR_{Hr}$ ) slnečného žiarenia dostupných na horizontálnej rovine, získaných z aktinometrických meraní za obdobie 1966 až 1979 a vypočítaných programom SOLEN, v kWh m<sup>-2</sup> a v % a prehľad vstupných údajov  $s_m$  a  $T_m$ , použitých pri výpočtoch uskutočnených programom SOLEN, pre lokalitu Bratislava-Koliba.

Pramen	SOLEN				[10]				Rozdiel [%]				Použité vstupné údaje	
	Druh plošnej hustoty	$pR_{Hm}$	$dR_{Hm}$	$gR_{Hm}$	$pR_{Hm}$	$dR_{Hm}$	$gR_{Hm}$	$pR_{Hm}$	$dR_{Hm}$	$gR_{Hm}$	$s_m$	$T_m$		
Mesiac	1	6,874	20,291	27,165	8,734	15,200	23,934	-21,3	+25,1	+11,9	0,18	2,82		
	2	13,723	30,610	44,333	17,352	23,806	41,158	-20,9	+22,2	+7,2	0,28	4,00		
	3	38,263	46,915	85,178	41,623	43,182	84,805	-8,1	+7,9	+0,4	0,37	3,73		
	4	69,321	57,911	127,233	70,188	58,998	129,186	-1,2	-1,8	-1,5	0,47	3,86		
	5	94,990	72,028	167,017	96,389	76,281	172,670	-1,4	-5,6	-3,3	0,52	4,22		
	6	96,596	76,196	172,792	95,076	80,944	176,020	+1,5	-5,9	-1,8	0,51	4,35		
	7	95,094	77,856	172,942	90,621	80,828	171,449	+4,7	-3,7	+0,9	0,52	4,55		
	8	83,735	66,050	149,785	77,525	71,571	149,096	+7,4	-7,7	+0,5	0,53	4,33		
	9	58,424	48,909	107,333	55,941	48,380	104,321	+4,2	+1,1	+2,8	0,51	3,99		
	10	30,710	36,348	67,058	34,793	33,052	67,849	-11,7	+9,1	-1,2	0,42	3,75		
	11	10,671	22,132	32,803	12,177	17,258	29,435	-12,4	+22,0	+10,3	0,23	2,77		
	12	6,370	16,548	22,915	7,769	12,385	20,154	-18,0	+25,1	+12,0	0,18	2,32		
Rok		604,771	571,783	1 176,554	608,192	561,885	1 170,077	-0,6	+1,7	+0,6				

Tab. 2. Porovnanie priemerných mesačných a ročných súm plošnej hustoty energie priameho ( $\text{p}R_{\text{Hm}}$ ,  $\text{p}R_{\text{Hr}}$ ), oblohouvénho difúzneho ( $\text{d}R_{\text{Hm}}$ ,  $\text{d}R_{\text{Hr}}$ ) a globálneho ( $\text{s}R_{\text{Hm}}$ ,  $\text{s}R_{\text{Hr}}$ ) sinečného žiarenia dostupných na horizontálnej rovine, získaných z aktinometrických meraní za obdobie 1966 až 1979 a vypočítaných programom SOLEN, v  $\text{kWh m}^{-2}$  a v % a prehľad vstupných údajov súm a  $T_m$ , použitých pri výpočtoch uskutočnených programom SOLEN, pre lokalitu Hradec Králové

Prameň	SOLEN				[11]				Rozdiel [%]		Použité vstupné údaje	
	$\text{p}R_{\text{Hm}}$	$\text{d}R_{\text{Hm}}$	$\text{s}R_{\text{Hm}}$	$\text{p}R_{\text{Hm}}$	$\text{d}R_{\text{Hm}}$	$\text{s}R_{\text{Hm}}$	$\text{p}R_{\text{Hm}}$	$\text{d}R_{\text{Hm}}$	$\text{s}R_{\text{Hm}}$	$\delta_m$	$T_m$	
Druh plošnej hustoty	1	4,775	18,084	22,859	4,965	16,525	21,490	-3,8	+8,6	+5,9	0,15	2,80
	2	9,707	26,721	36,428	11,824	23,840	35,664	-17,9	+10,8	+2,1	0,19	3,20
	3	33,257	43,721	76,979	31,662	45,783	77,445	+4,8	-4,5	-0,6	0,32	3,30
	4	55,997	59,249	115,246	52,499	63,358	115,837	+6,2	-6,4	-0,5	0,39	3,80
	5	76,598	75,136	151,734	76,287	77,807	154,094	+0,4	-3,4	-1,5	0,42	4,10
	6	84,872	78,729	163,556	79,694	88,094	167,788	+6,1	-10,6	-2,5	0,45	4,30
	7	80,476	77,897	158,373	72,175	87,508	159,683	+10,3	-10,9	-0,8	0,42	4,10
	8	72,477	65,356	138,013	66,737	70,393	137,130	+7,9	-6,9	+0,6	0,45	4,00
	9	44,769	49,199	93,968	43,502	50,116	93,618	+2,8	-1,8	+0,4	0,40	3,80
	10	22,515	34,981	57,496	25,320	29,728	55,084	-11,1	+15,0	+4,2	0,33	3,60
	11	6,006	21,088	27,094	6,633	16,068	22,701	-9,4	+23,8	+16,2	0,16	3,00
	12	3,775	15,396	19,171	4,308	12,138	16,446	-12,4	+21,1	+14,2	0,15	2,80
Rok	495,224	565,693	1 060,917	475,606	581,338	1 056,944	+3,9	-2,7	+0,4			

Tab. 3. Porovnanie prímených mesačných a ročných súm plošnej hustoty energie priameho ( $pR_{\text{Hm}}$ ,  $nR_{\text{Hm}}$ ,  $sR_{\text{Hm}}$ ), obloženého difúzneho ( $dR_{\text{Hm}}$ ,  $aR_{\text{Hm}}$ ) a globálneho ( $gR_{\text{Hm}}$ ,  $R_{\text{Hm}}$ ) slnečného žiarenia dostupných na horizontálnej rovine, získaných z aktinometrických meraní za obdobie 1975 až 1980 a vypočítaných programom SOLEN, v  $\text{kWh m}^{-2}$  a v % a prehľad vstupných údajov  $s_m$  a  $T_m$ , použitý pri výpočtoch uskutočnených programom SOLEN, pre lokalitu Třeboň

Prameň	SOLEN				[12]				Rozdiel [%]				Použité vstupné údaje	
	Druh plošnej hustoty	$pR_{\text{Hm}}$	$dR_{\text{Hm}}$	$gR_{\text{Hm}}$	$pR_{\text{Hm}}$	$dR_{\text{Hm}}$	$gR_{\text{Hm}}$	$pR_{\text{Hm}}$	$dR_{\text{Hm}}$	$gR_{\text{Hm}}$	$s_m$	$T_m$		
Mesač	1	6,770	19,189	25,959	9,884	21,914	31,798	-31,5	-12,4	-18,4	0,19	2,80		
	2	15,914	26,815	42,729	18,311	30,740	49,051	-13,1	-12,7	-12,9	0,29	3,20		
	3	38,275	44,414	82,689	32,653	52,720	85,373	+14,7	-15,7	-3,1	0,36	3,40		
	4	54,361	59,372	113,733	45,722	67,168	112,890	+15,9	-11,4	+0,7	0,36	3,60		
	5	94,692	67,558	162,250	77,935	83,396	161,331	+17,7	-18,9	+0,6	0,42	3,60		
	6	91,285	73,470	164,755	73,680	89,207	162,887	+19,2	-17,6	+1,1	0,45	3,80		
	7	79,200	78,432	157,632	64,980	88,269	153,249	+17,9	-11,1	+2,8	0,41	4,10		
	8	70,017	68,159	138,176	58,053	76,274	134,327	+16,7	-10,4	+2,8	0,44	4,20		
	9	43,893	50,615	94,508	38,501	56,440	94,941	+12,3	-10,3	-0,4	0,38	3,80		
	10	22,518	35,822	58,340	22,324	37,614	59,938	+0,8	-4,8	-2,6	0,30	3,40		
	11	8,223	21,663	29,886	8,636	21,666	30,302	-4,8	-0,0	-1,4	0,19	2,80		
	12	5,302	16,402	21,704	6,886	18,104	24,990	-23,0	-9,4	-13,1	0,18	2,70		
Rok	530,460	561,911	1 092,361	457,786	643,291	1 101,077	+13,7	-12,6	-0,8					

## 4. POROVNANIE VÝSLEDKOV VYPOČÍTANÝCH NAVRHNUTOU METÓDOU A PROGRAMOM SOLEN

Program SOLEN, vypracovaný na základe uvedenej metódy autorom príspevku, uskutočňuje charakterizované výpočty pomocou týchto vstupných údajov: sklon roviny  $\beta$ , azimut normálnej roviny  $A_n^s$ , zemepisná šírka miesta  $\varphi$ , mesiac  $M$ , deň v mesiaci  $D$ , albedo okolitého terénu  $\rho_t$ , zákalový činiteľ atmosféry  $T_m$ , počet dní v mesiaci  $n$ , priemerný mesačný relatívny slnečný svit  $s_m$  a dodatočná prieplustnosť skla  $\tau_s$  (pre výpočet s iným ako 3 mm hrubým zasklením). Po výpočte sa na široko-riadirovej tlačiarne počítača vytlačia okrem zadaných vstupných údajov pre každý výpočtový variant tieto vypočítané veličiny:

1. Pri prvej výpočtovej úrovni (dopadajúca, resp. exteriérová plošná hustota energie slnečného žiarenia)  ${}^pR_{b\beta m}$ ,  ${}^dR_{b\beta m}$ ,  ${}^rR_{b\beta m}$ ,  ${}^cR_{z\beta m}$ ,  ${}^eR_{z\beta m}$  a  ${}^eR_{\beta m}$ .

2. Pri druhej výpočtovej úrovni (plošná hustota energie slnečného žiarenia pre-  
pustenej referenčnému sklu 3 mm hrubým, resp. energetický zisk interieru za-  
týmto zasklením)  ${}^pR'_{b\beta m}$ ,  ${}^dR'_{b\beta m}$ ,  ${}^rR'_{b\beta m}$ ,  ${}^cR'_{z\beta m}$ ,  ${}^eR'_{z\beta m}$  a  ${}^eR'_{\beta m}$ .

3. Pri tretej výpočtovej úrovni (plošná hustota energie slnečného žiarenia absor-  
bovaná absorbériom solárneho kolektora umiestneným za referenčným zasklením,  
resp. plošná hustota absorbovanej tepelnej energie od slnečného žiarenia)  ${}^pR''_{b\beta m}$ ,  
 ${}^dR''_{b\beta m}$ ,  ${}^rR''_{b\beta m}$ ,  ${}^cR''_{z\beta m}$ ,  ${}^eR''_{z\beta m}$  a  ${}^eR''_{\beta m}$ .

Za účelom co najobjektívnejšieho vyhodnotenia navrhnutej metódy a na jej základe vypracovaného programu SOLEN sa predovšetkým pozornosť orientovala na lokality, v ktorých sú k dispozícii výsledky aktinometrických meraní (aj v členení globálneho slnečného žiarenia na priamu a difúznu zložku) zo štatisticky do-  
statočne dlhého časového obdobia a súčasne sú v nich dostupné pre to isté časové obdobie aj údaje o priemernom mesačnom relatívnom slnečnom svite  $s_m$ , ktoré sú použité ako vstupné údaje pre výpočet programom SOLEN.

V tab. 1, 2 a 3 sa uvádzajú porovnanie priemerných mesačných a ročných súm plošnej hustoty energie priameho ( ${}^pR_{Hm}$ ,  ${}^pR_{Hr}$ ), difúzneho ( ${}^dR_{Hm}$ ,  ${}^dR_{Hr}$ ) a globálneho ( ${}^gR_{Hm}$ ,  ${}^gR_{Hr}$ ) slnečného žiarenia, dostupných na horizontálnej rovine, získaných z aktinometrických meraní a vypočítaných programom SOLEN v  $\text{kWh m}^{-2}$  a  $\text{v \%}$ , pre lokalitu Bratislava-Koliba (tab. 1), Hradec Králové (tab. 2) a Třeboň (tab. 3), v ktorých sú splnené uvedené podmienky. V tabuľkách sa nadchádzajú aj priemerne mesačné hodnoty vstupných údajov  $s_m$  a  $T_m$ , ktoré sú používané pri porovnávacích výpočtoch uskutočnených programom SOLEN, časové obdobia, z ktorých boli merané hodnoty a vstupné údaje  $s_m$  a  $T_m$  určené a použitý prameň.

Porovnanie uvedené v tab. 1, 2 a 3 dokumentuje skutočnosť, že metóda a program SOLEN poskytuje výsledky, ktoré sú v dobrej zhode s im korešpondujúcimi priemernými údajmi, získanými na základe aktinometrických meraní. Minimálne rozdiely, z hľadiska potrieb praxe prakticky zanedbateľné, existujú hlavne pri energii globálneho slnečného žiarenia na najdôležitejšej ročnej časovej, resp. summarizačnej úrovni.

V tab. 4 sa uvádzajú porovnania priemerných ročných súm plošnej hustoty energie globálneho slnečného žiarenia dostupných na horizontálnej rovine ( ${}^gR_{Hr}$ ), získaných z aktinometrických meraní a vypočítaných programom SOLEN, v  $\text{kWh m}^{-2}$  a  $\text{v \%}$ , pre lokality Hurbanovo, Skalnaté Pleso, Štrbské Pleso, Praha a Stockholm-Broma, kde (s výnimkou lokality Stockholm-Broma) boli použité

Tab. 4. Porovnanie priemerných ročných súm plošnej hustoty energie globálneho slnečného žiarenia  $\text{e}R_{\text{Hr}}$ : dostupných na horizontálnej rovine, získaných z aktinometrických meraní a vypočítaných programom SOLEN, v  $\text{kWh m}^{-2}$  a v %, pre lokality Hurbanovo, Skalnaté Pleso, Štrbské Pleso, Praha a Stockholm-Broma

Lokalita	SOLEN	Prameň (použité obdobie)	Rozdiel	
		[ $\text{kWh m}^{-2}$ ]	[ $\text{kWh m}^{-2}$ ]	[%]
Hurbanovo	1 252,033	[13] (1941—1970) 1 277,494	—25,461	—1,9
Skalnaté Pleso	1 193,633	[14] (1957—1960) 1 123,016	+ 70,617	+ 5,9
Štrbské Pleso	1 208,162	[13] (1941—1970) 1 196,388	+ 11,774	+ 1,0
Praha	1 146,212	[15] (1958—1960) 1 020,900	+ 125,312	+ 10,9
Stockholm-Broma	947,363	[16] (1961—1969) 984,100	—36,737	—3,7

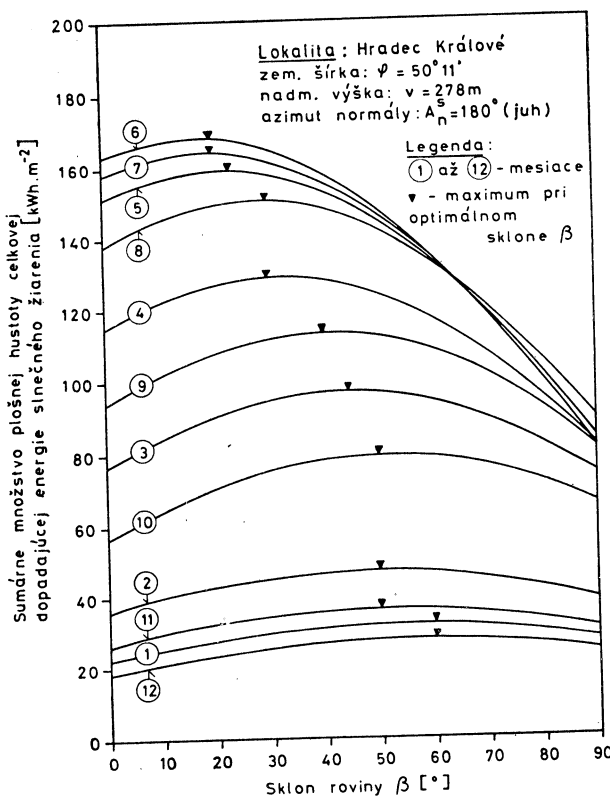
vstupné údaje  $s_m$ , určené z iných časových období ako porovnávané namerané hodnoty.

Väčší rozdiel medzi porovnávanými údajmi v tomto prípade existuje pri lokalite Praha, kde hodnoty získané pre porovnanie na základe meraní boli určené z veľmi krátkeho, len trojročného časového obdobia.

## 5. UKÁŽKA SPÔSOBU VYUŽITIA A INTERPRETÁCIE VÝSLEDKOV ZÍSKANÝCH VYPRACOVANOU METÓDOU A PROGRAMOM SOLEN

Navrhnutá metóda a program SOLEN sa môžu výhodne využiť predovšetkým v súvislosti s aplikáciou rôznych systémov a heliotechnických zariadení, hlavne však pri určení optimálneho sklonu ich stabilne umiestnených rovinných solárnych kolektorov, t. j. sklonu, pri ktorom za zvolené časové obdobie v rámci roka (napr. počas vykurovacieho obdobia, tvoreného mesiacmi 10—4) dopadá na solárny kolektor maximálne množstvo energie celkového slnečného žiarenia, ako aj pri návrhu a hodnotení tepelnej a energetickej bilancie budov.

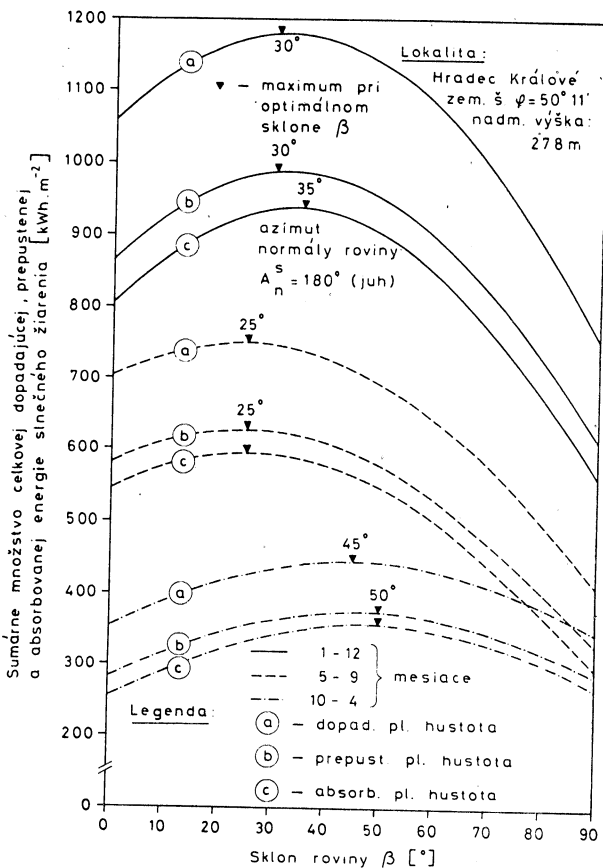
Na obr. 6 je znázornená závislosť sumárneho mesačného množstva plošnej hustoty energie celkového (dopadajúceho) slnečného žiarenia  $\text{e}R_{\beta m}$  od sklonu roviny, resp. solárneho kolektora  $\beta$ , vypočítaná programom SOLEN pre jednotlivé mesiace



Obr. 6. Závislosť sumárneho mesačného množstva plošnej hustoty dopadajúcej energie celkového slnečného žiarenia  $\text{c}R_{\beta m}$  od sklonu roviny  $\beta$ , vypočítaná programom SOLEN pre jednotlivé mesiace roka vo funkcií parametrov (lokalita Hradec Králové, azimut normály roviny  $A_n^s = 180^\circ$ , t. j. južný smer).

roka 1 až 12, v lokalite Hradec Králové, pričom rovina je orientovaná južne (azimut normály roviny  $A_n^s = 180^\circ$ ). Pomocou kriviek závislostí  $\text{c}R_{\beta m}$  od  $\beta$ , vypočítaných pre jednotlivé mesiace, sa dá určiť mesačný optimálny sklon rovinných solárnich kolektorov používaných pri tzv. malých nezávislých a malovýkonových nízko-teplotných solárných termálnych systémoch [2], ktorých sklon sa dá často ručne nastavovať v potrebnom rozmedzi. V tomto prípade sa nastavuje optimálny sklon kolektora v rámci jednotlivých mesiacov (označený na obr. čiernym trojuholníkom), pri ktorom dopadá na kolektor maximálne množstvo energie slnečného žiarenia. Hlavným účelom a prínosom programu SOLEN v oblasti heliotechniky je však jeho využitie na určenie optimálneho sklonu stabilne umiestnených rovinných solárnich kolektorov, bez možnosti zmeny ich sklonu, ktoré sa používajú najčastejšie.

Krivky závislosti sumárneho množstva plošnej hustoty energie celkového slnečného žiarenia dopadajúcej  $\text{c}R_{\beta}$  (označenie a), prepustenej referenčným zasklením  $\text{c}R'_{\beta}$  (označení b) a absorbovanej absorpbérom  $\text{c}R''_{\beta}$  (označenie c) od sklonu kolektora  $\beta$ , vypočítané programom SOLEN, pre sumarizačné obdobia



Obr. 7. Určenie optimálneho sklonu solárneho kolektora pomocou kriviek závislosti sumárneho množstva plošnej hustoty energie celkového slnečného žiarenia dopadajúcej (exterierovej)  $cR_\beta$ , prepustenej referenčným zasklením (interierovej)  $cR'_\beta$  a pohltenej absorbérom  $cR''_\beta$ , od sklonu solárneho kolektora  $\beta$ , vypočítaných programom SOLEN pre tri charakteristické sumárné obdobia (lokalita Hradec Králové, azimut normálnej roviny  $A_n^s = 180^{\circ}$ , t. j. južný smer).

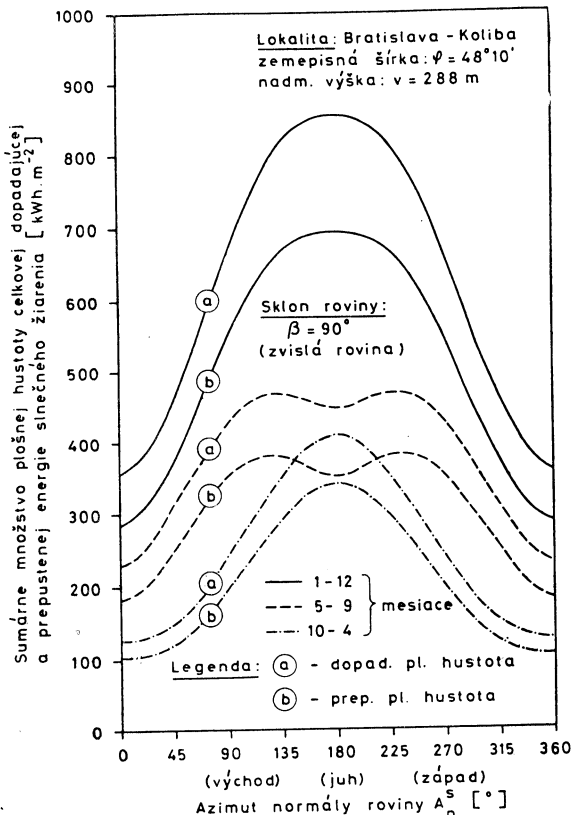
mesiacov 1 až 12 (celý rok), 5 až 9 (letné obdobie) a 10 až 4, v lokalite Hradec Králové, pri rovine orientovanej na juh ( $A_n^s = 180^{\circ}$ ), sú ilustrované na obr. 7. Z tohto obr. vidno priebeh závislosti uvedených veličín od uhla  $\beta$ , ako aj rozdiely medzi hodnotami  $cR_\beta$ ,  $cR'_\beta$  a  $cR''_\beta$ , pri jednotlivých sklonoch vyšetrovanej roviny, resp. solárneho kolektora  $\beta$ . Tak napr. pri horizontálnej rovine s  $\beta = 0^{\circ}$ , pri ročnom období (index r), dopadajúca plošná hustota  $cR_{Hr}$  má hodnotu 1 060,917 kWh m<sup>-2</sup>, plošná hustota prepustená referenčným zasklením  $cR'_{Hr} = 868,114^{-2}$  a absorbovaná plošná hustota  $cR''_{Hr} = 805,250$  kWh m<sup>-2</sup>, čo voči  $cR_{Hr}$  v prípade  $cR'_{Hr}$  reprezentuje zníženie o 18,2 % a pri  $cR''_{Hr}$  zníženie o 24,1 %.

Z priebehu kriviek uvedených veličín vyplýva, že približne o rovnaké percentá sú hodnoty  $cR'_{\beta r}$  a  $cR''_{\beta r}$  znižené voči  $cR_{\beta r}$  aj pri optimálnom skлоне  $\beta = 30^{\circ}$ , resp.

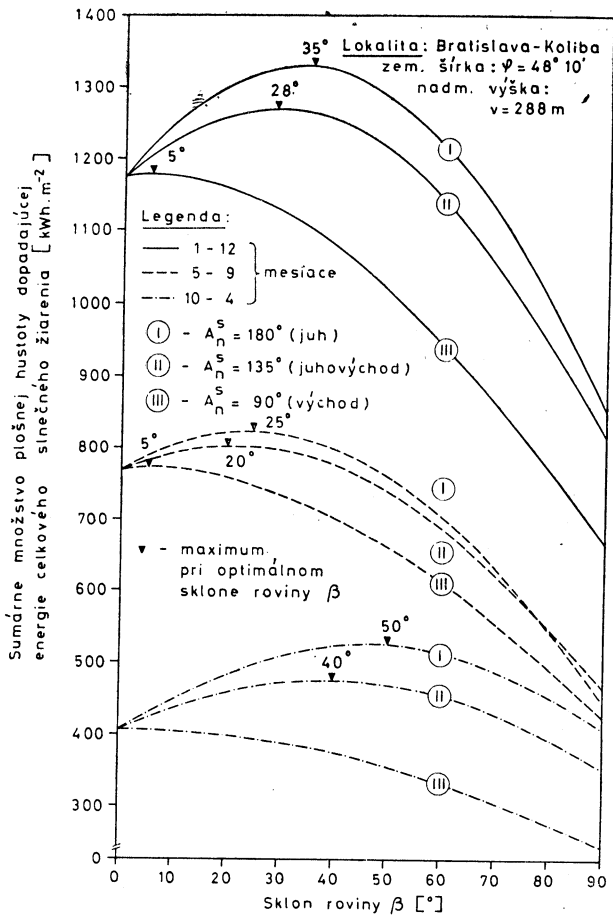
$\beta = 35^\circ$ , keď príslušné krivky dosahujú extrém. Podobne z obr. 7 dalej vyplýva, že maximálna možná hodnota  $cR_{\beta r}$  pri optimálnom skлоне  $\beta = 30^\circ$  je väčšia približne o 10,1 %, ako hodnota  $cR_{Hr}$  pri horizontálnej rovine s  $\beta = 0^\circ$ .

Priklad možnosti využitia výsledkov získaných programom SOLEN pre oblasť hodnotenia energetických ziskov interierov budov zo slnečného žiarenia cez zasklené časti obvodového plášta budov, je ilustrovaný na obr. 8. Tu sú pomocou grafu znázornené krivky závislosti plošnej hustoty celkovej energie slnečného žiarenia dopadajúcej  $cR_\beta$  a prepustenej referenčným zasklením  $cR'_\beta$  od azimutu normálnej roviny  $A_n^s$ , vypočítané programom SOLEN, pre charakteristické tri sumarizačné obdobia, pri zvislej rovine so sklonom  $\beta = 90^\circ$ , v lokalite Bratislava-Koliba.

Na obr. 9 sa nachádzajú krivky závislosti plošnej hustoty dopadajúcej energie celkového slnečného žiarenia  $cR_\beta$  od sklonu  $\beta$ , vypočítané programom SOLEN, pre tri sumarizačné obdobia, v lokalite Bratislava-Koliba, pričom pre jednotlivé charakterické sumarizačné obdobia sú vykreslené tri krivky, a to pre južnú orientačiu.



Obr. 8. Závislosť sumárneho množstva plošnej hustoty energie celkového slnečného žiarenia dopadajúcej (exterierovej)  $cR_\beta$  a prepustenej referenčným zasklením (interierovej)  $cR'_\beta$  od azimutu normálnej roviny  $A_n^s$ , vypočítaná programom SOLEN pre tri charakteristické sumarizačné obdobia, pri zvislej rovine so sklonom  $\beta = 90^\circ$  (lokalita Bratislava-Koliba).



Obr. 9. Určenie optimálneho sklonu solárneho kolektora pomocou krieviek závislosti sumárneho množstva plošnej hustoty energie celkového slnečného žiarenia dopadajúcej (extrerierovej)  $R_B$  od sklonu solárneho kolektora  $\beta$ , vypočítaných programom SOLEN pre tri charakteristické sumarizačné obdobia (lokalita Bratislava-Koliba, azimut normálnej roviny  $A_n^s = 90^\circ$ , t. j. východ,  $A_n^s = 135^\circ$ , t. j. juhovýchod a  $A_n^s = 180^\circ$ , t. j. južný smer).

táciu roviny, resp. solárneho kolektora s  $A_n^s = 180^\circ$ , pre juhovýchodnú (resp. juhozápadnú) orientáciu s  $A_n^s = 135^\circ$  (resp.  $225^\circ$ ) a pre východnú (resp. západnú) orientáciu roviny s  $A_n^s = 90^\circ$  (resp.  $270^\circ$ ). Z tohto obr. napr. vidno, že keď by mal byť solárny kolektor orientovaný výhodným smerom, tak pri celoročnom období a letnom období (zloženom z mesiacov 5 až 9) by naň najviac energie dopadalo pri jeho skлоне  $\beta = 5^\circ$  a pri období pozostávajúcom z mesiacov 10 až 4 dokonca maximum energie dopadá na kolektor s  $A_n^s = 90^\circ$  pri jeho sklonе  $\beta = 0^\circ$ , teda pri horizontálnej polohe solárneho kolektora.

Z obr. 9 je ďalej napr. evidentné, že pri celoročnom využívaní solárneho kolektora orientovaného na juh ( $A_n^s = 180^\circ$ ) sa môže pri jeho optimálnom sklonе  $\beta = 35^\circ$

dosiahnut zväčšenie naď dopadajúcej plošnej hustoty  $\epsilon R_{\beta r}$  voči horizontálnej polohe kolektora s  $\beta = 0^\circ$  asi o 11,3 %, čo reprezentuje v konkrétnom prípade lokality Bratislava-Koliba zväčšenie približne o hodnotu  $150 \text{ kWh m}^{-2}$ .

## 6. ZÁVER

Aj keď pri metóde SOLEN charakterizovanej v tomto článku ide o približnú metódu na výpočtové určovanie v prvom rade dopadajúcej, ale aj prepustenej referenčným zasklením a pohltenej absorbériom solárneho kolektora plošnej hustoty energie slnečného žiarenia, výsledky, ktoré táto metóda a na jej základe vypracovaný program SOLEN poskytujú, sa pri najdôležitejších veličinách, a to pri plošnej hustote energie základného globálneho, resp. celkového slnečného žiarenia na ročnej úrovni len veľmi málo líšia od korešpondujúcich priemerných hodnôt určených na základe aktinometrických meraní. Táto skutočnosť prispieva značným podielom k tomu, aby sa predmetná metóda a program SOLEN mohli efektívne uplatniť tak pri priamom využívaní slnečnej energie pre technické a energetické účely, ako aj v oblasti teprotechnického návrhu a hodnotenia budov.

## LITERATÚRA

- [1] Barabas, K.: Globální problém energetiky. Zborník predn. z celošt. konferencie Dlhodobá prognostika v energetike, 1. diel. ZP SVTS GR Slovenských energet. podnikov, Bratislava 1976, s. 80—93.
- [2] Mikler, J.: Dostupnosť a možnosti využitia slnečnej energie v ČSSR. Architektúra a Urbanizmus, 15, 1981, č. 3, s. 145—160.
- [3] Mikler, J.: Využitie slnečnej energie pri zásobovaní budov teplom. Elektrotechn. Obzor, 68, 1979, č. 7, s. 410—415.
- [4] Mikler, J.: O priamom využívaní slnečnej energie v budovách. Projekt, 1980, č. 9/241, s. 14—16.
- [5] Mikler, J.: Výpočet dostupnosti slnečnej energie pomocou počítača. Kandidátska dizert. práca. Ústav stavobn. a architekt. SAV, Bratislava 1980.
- [6] Puškáš, J.: Matematický model tepelnej záťaže budov od slnečného žiarenia. Záver. správa. Stav. fakultu SVŠT, Bratislava 1977.
- [7] Szokolay, S. V.: Solar Energy and Building. The Architectural Press Ltd., London 1975.
- [8] Smola, A.: Využitie slnečnej energie. Elektrotechn. fakulta SVŠT, Bratislava 1980.
- [9] Duffie, J. A., Beckman, W. A.: Solar energy Thermal Processes. John Wiley & Sons, New York 1974.
- [10] Denníky merania slnečného žiarenia. Meteorolog. observat. HMÚ Bratislava-Koliba, Bratislava 1966—1979.
- [11] Dvoměsíční přehled měření záření. Meteorolog. observat. v Hradci Králové HMÚ Praha, Hradec Králové 1966—1979.
- [12] Podklady z merania slnečného žiarenia. Hydrobotanické oddelenie — Botanický ústav ČSAV, Třeboň 1975—1980.
- [13] Vaníček, K.: Způsoby měření sluneční radiace a radiační klima ČSSR. Elektrotechn. Obzor, 67, 1978, č. 6, s. 347—349.
- [14] Podnebí československé socialistické republiky — Souborná studie. Hydrometeorologický ústav, Praha 1969.
- [15] Aktinometričeskij spravočnik — zarubežnyje strany. Gidrometeorologicheskoe izdatelstvo, Leningrad 1964.
- [16] Löfberg, H. A.: Report form on radiation data (Stockholm-Broma). The National Swedish Inst. for Building Research and CIE TC-4.2-Daylighting, Gävle 1981.

## **МЕТОД РАСЧЕТА ЭНЕРГЕТИЧЕСКИХ ПРИБЫЛЕЙ ПЛОСКИХ СОЛНЕЧНЫХ КОЛЛЕКТОРОВ И ЗДАНИЙ ОТ СОЛНЕЧНОЙ РАДИАЦИИ**

*Инж. Йозеф Миклер, к. т. н.*

В статье приводится характеристика приблизительного аналитического метода расчета и математической модели для определения доступности энергии солнечной радиации на произвольно ориентированной и наклонной плоскости, расположенной в каком-либо географическом месте. В случае исследования и анализа интерьеров зданий и солнечных коллекторов позволяет этот метод как расчет энергетических прибылей от солнечной радиации за застеклением, так и расчет количества солнечной энергии, абсорбированной абсорбционной поверхностью, которая находится за застеклением.

## **CALCULATION METHOD OF ENERGY GAINS OF FLAT-PLATE SOLAR COLLECTORS AND BUILDINGS FROM SOLAR RADIATION**

*Ing. Jozef Mikler, CSc.*

Characteristic of an approximate analytical calculation method and a mathematical model for determination of the availability of solar radiation energy on an arbitrary oriented and inclined plane considering the influence of actual climatic and meteorological conditions in an optimal geographical locality is discussed in the article. In the case of the building interior and solar collectors study and analysis this method allows as energy gains calculation from solar radiation behind the glazing, as calculation of the amount of solar energy absorbed by an absorptive surface placed behind the glazing.

## **BERECHNUNGSMETHODE DER ENERGIEGEWINNE DER EBENSONNENKOLLEKTOREN UND GEBÄUDE VON DER SONNENSTRÄHLUNG**

*Ing. Jozef Mikler, CSc.*

Im Artikel führt man die Kennziffer einer approximativen analytischen Berechnungsmethode und eines mathematischen Modells für die Bestimmung der eventuellen Energiegewinne auf einer beliebig orientierten und geneigten Ebene, bei Erwägung des Einflusses realer klimatischer und meteorologischer Verhältnisse, in einem beliebigen geographischen Standort von der Sonnenstrahlung ein. Im Falle der Untersuchung und der Analyse der Interieurs von Gebäuden und der Sonnenkollektoren ermöglicht die Methode auch die Energiegewinne von der Sonnenstrahlung hinter der Verglasung und auch die Menge der durch eine hinter der Verglasung angebrachte Absorptionsoberfläche absorbierten Sonnenenergie zu berechnen.

## **MÉTHODE DE CALCUL DES GAINS ÉNERGÉTIQUES DES COLLECTEURS SOLAIRES PLANS ET DES BÂTIMENTS DU RAYONNEMENT SOLAIRE**

*Ing. Jozef Mikler, CSc.*

Dans l'article présenté, on publie la caractéristique d'une méthode de calcul analytique approximative et d'un modèle mathématique pour la détermination des gains éventuels de l'énergie du rayonnement solaire sur un plan arbitrairement orienté et incliné qui est placé dans une localité arbitraire géographique. Au cas de l'étude et de l'analyse des intérieurs des bâtiments et des collecteurs solaires, la méthode permet de calculer aussi les gains énergétiques du rayonnement solaire derrière le vitrage et aussi la quantité de l'énergie solaire absorbée par une surface absorbante placée derrière le vitrage.

### ● Klimatizační jednotka pro textilní laboratoře

Pro výzkumné laboratoře textilního průmyslu se vyžadují stabilní stavy vzduchu v toleranci teploty  $\pm 1$  K a relativních vlhkostí  $\pm 2\%$ . Speciálně pro tento účel byla v SSSR využívána klimatizační jednotka, jejíž zvláštností je polytropní úprava vzduchu ve zvlhčovací komoře s trojnásobným rozprašováním vody.

#### Data jednotky:

objemový průtok dodávaného vzduchu	0,83 až 1,17 m <sup>3</sup> /s
objemový průtok podílu venkovního vzduchu	0,28 m <sup>3</sup> /s
chladič výkon	7 kW
hmotnost chladiče aggregátu	360 kg

**Uspořádání jednotky:** Smíšený venkovní a oběhový vzduch prochází jednotkou zdola nahoru. Rozprašovacími tryskami mezi dvěma axiálními oběžnými koly se do přístroje vstřikuje voda ochlazená bud až na 6 °C nebo ohřátá až na 60 °C. V odlučovači kapek na výstupu z jednotky zachycená voda je sváděna do dutého náboje druhého (horního) oběžného kola a v něm pak působením odstředivé síly rozvedena k obvodu radiálními vrtáním a zde znova rozprášena. Pod tímto kolem se nacházejí záchranné lopatky, které svedou nerozprášené kapičky do dutého náboje prvního (spodního) oběžného kola a zde dochází ke třetímu stupni rozprášení.

Voda, která se vysráží na stěně přístroje, stéká do sběrného vénce po vnitřním obvodě a odstud se na jeho pilovitém okraji vytvořené kapičky znovu strhávají do proudu vzduchu.

Ke klimatizační jednotce jsou přiřazeny elektrický ohřívač a chladicí aggregát k úpravě teploty vody, řízené regulátorem v závislosti na teplotě v místnosti. Úprava vlhkosti vzduchu v místnosti se děje regulací vstřikovaného množství vody. Požadované stavy vzduchu se dosahují nízkou spotřebou vody 0,02 až 0,05 kg vody/kg vzduchu.

Prototyp jednotky byl zkoušen po dobu jednoho roku a byla konstatována jeho vysoká hospodárnost a spolehlivost.

LuK 3/83

(Ku)

### ● Průmyslový filtr nové konstrukce

Firma Donaldson Co, USA, nabízí nový typ textilních průmyslových filtrů „Downflo“. U této znečištěný vzduch vstupuje horem do

skříně filtru a proudí směrem dolů, přičemž prostupuje filtračními hadicemi umístěnými ve skříni vodorovně, směrem od jejich vnější strany, kde se zbavuje prachu, do jejich vnitřku. Odtud pak vyčistěný vstupuje do sběrné komory na boku skříně filtru a výstupním otvorem ven.

Cištění hadic se děje zpětným profukem, kdy se prach uvolní a padá do výsypek na spodu skříně filtru. Výhodou konstrukce je, že je možno kontrolovat a vyměňovat hadice jednotlivě z boku (odkud se zasouvají), aniž by bylo nutno provádět jakoukoliv demontáž navazujícího zařízení.

ASHRAE J. 2/83

(Ku)

## INFORMACE O 22. AKUSTICKÉ KONFERENCI

22. Akustická konference proběhla ve dnech 4. až 7. října 1983 na Štrbském Plesu.

Tématem této konference byla elektroakustika. Jednání konference probíhalo současně ve dvou sekcích, a to v sekci elektroakustiky, kde na závěr byla zařazena i problematika magnetismu a v sekci záznamu a studiové techniky.

Celkem bylo předneseno 70 referátů, z toho 15 od zahraničních účastníků.

Převážná většina referátů přinášela zcela nové poznatky z oblasti výzkumu, vývoje i z aplikace těchto poznatků v praxi a ve výrobě. Z výsledků vyplývalo, že v období od minulé konference zabývající se elektroakustikou konané v roce 1978 došlo k rychlému rozvoji především v oblasti záznamu signálu, kde se široce uplatňuje digitální technika. Konference ukázala také růst zájmu výrobních závodů o výsledky přednášených vědeckých prací.

Pořadatelem konference byla ČSVTS, Slovenský ústřední výbor Elektrotechn. společn. ČSVTS, TESLA VÚST, VÚZORT, TESLA — Spotřebná elektrotechnika — koncern Bratislava, TESLA Elektroakustika, TESLA Vráble, Dům techniky ČSVTS Bratislava. Záštitu nad pořádáním konference převzala Akust. komise ČSAV.

V návaznosti na opakující se cyklus akustických konferencí s vybranou tematikou bude v tomto roce ve dnech 2.—4. října 1984 v Českých Budějovicích uspořádána 23. akustická konference na téma „Úloha řeči a hudby v životním prostředí“. Pořadatelem bude opět ČSVTS, Dům techniky, ČSVTS Praha.

Chalupová

# URČENÍ DYNAMICKÝCH VLASTNOSTÍ PROSTOROVĚ ROZLOŽENÉHO POTRUBÍ

ING. PAVEL REJF

SVÚSS Běchovice-Praha 9

V článku je uveden způsob výpočtu vlastních frekvencí a tvarů kmitů netlumeného prostorově rozloženého potrubí metodou konečných prvků. Uvedený výpočetní postup je použit na konkrétním příkladě, který byl řešen na programovatelném kalkulátoru HP 9845B.

Recenzoval: Ing. Karel Brož, CSc.

## POUŽITÁ OZNAČENÍ

$\epsilon$	[1]	tenzor malých deformací
$C$	[ $N\ m^{-2}$ ]	tenzor tuhosti materiálu
$N$	[1]	matice bázových funkcí
$K$	( $N\ m^{-1}$ )	matice tuhosti
$M$	[kg]	matice hmotnosti
$T$	[1]	matice prostorové transformace
$P$	[ $kg\ s^{-2}$ ]	dynamická matice
$w$	[m]	vektor posuvů
$r$	[m]	vektor posuvů uzlových bodů
$p$	[N]	vektor vnitřních silových účinků
$V$	[ $m^3$ ]	objem
$K$	[J]	kinetická energie
$W$	[J]	potenciální energie
$E$	[ $N\ m^{-2}$ ]	modul pružnosti v tahu
$S$	[ $m^2$ ]	plocha průřezu
$J$	[m]	ohybový moment setrvačnosti
$G$	[ $N\ m^{-2}$ ]	modul pružnosti ve smyku
$J_p$	[m]	polární moment setrvačnosti
$J_{pm}$	[ $kg\ m^2$ ]	hmotný moment setrvačnosti
$t$	[s]	časová souřadnice
$x, y, z$	[m]	prostorové souřadnice
$x, y, z$	[m]	výchylky nosníku ve směrech $x, y, z$
$l$	[m]	délka nosníku
$n$	[1]	rozměr výsledných matic soustavy
$\rho$	[ $kg\ m^{-3}$ ]	hustota
$\Phi$	[1]	natočení nosníku
$\omega$	[ $s^{-1}$ ]	úhlová frekvence

## 1. ÚVOD

Jednou z příčin poškození potrubních systémů bývá jejich dynamické namáhání při shodě vlastní frekvence s frekvencí zatěžování. U většiny těchto systémů délkový rozměr značně převyšuje příčné rozměry potrubí a lze je proto při výpočtu nahradit nosníkovým systémem. Při numerickém výpočtu vlastních frekvencí a tvarů kmitu je výhodné použití metody konečných prvků.

## 2. VÝPOČET VLASTNÍCH FREKVENCÍ A TVARŮ KMITU NOSNÍKU METODOU KONEČNÝCH PRVKŮ

Při použití této metody jsou pohybové rovnice získány např. užitím *Hamiltonova variačního principu* [2]:

$$\delta \int_{t_1}^{t_2} (W - K) dt = 0; \quad (1)$$

kde variace kinetické energie

$$\delta K = \delta \int_V \frac{1}{2} \varrho \dot{\mathbf{w}}^2 dV = \delta \int_V \frac{1}{2} \varrho \dot{\mathbf{w}}^T \dot{\mathbf{w}} dV, \quad (2)$$

variace potenciální energie deformace soustavy

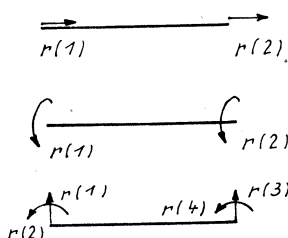
$$\delta W = \delta \int tr \left( \frac{1}{2} \boldsymbol{\epsilon} \mathbf{C} \boldsymbol{\epsilon} \right) dV, \quad (3)$$

kde  $tr$  je (stopa tenzorového součinu)

Vektor posuvů hledáme ve tvaru [2]:

$$\mathbf{w} = \mathbf{Nr}. \quad (4)$$

kde  $\mathbf{N}(x)$  je matici bázových (interpolacních) funkcí posuvů a  $\mathbf{r}(t)$  je vektor posuvů uzlových bodů dělení tělesa, které jsou neznámými.



Obr. 1. Posuvy uzlových bodů při podélném, kroutivém a ohybovém kmitání.

V nosníkových soustavách může jejich prvek (nosník) [3] vykonávat ohybové kmity ve dvou rovinách, podélné a torzní kmity (obr. 1). Vektor posuvů  $\mathbf{w}$  a vektor neznámých  $\mathbf{r}$  i-tého prvku uvažujeme ve tvaru:

$$\begin{aligned} \mathbf{w}_i &= [x_i, y_i, z_i, \Phi_{xi}, \Phi_{yi}, \Phi_{zi}]^T, \\ \mathbf{r}_i &= [x_i(0), y_i(0), z_i(0), \Phi_{xi}(0), \Phi_{yi}(0), \Phi_{zi}(0), \\ &\quad x_i(l), y_i(l), z_i(l), \Phi_{xi}(l), \Phi_{yi}(l), \Phi_{zi}(l)]^T. \end{aligned} \quad (5)$$

Použijeme-li přípustných zjednodušení, můžeme zanedbat vyšší členy *Greenova* a *Lagrangeova* tenzoru deformací a můžeme jednotlivé druhy kmitu řešit jako nezávislé zvlášt. Bázové funkce se výhodně získají analytickým řešením diferenciálních rovnic nosníku [4]. Pro ohybové kmitání v jedné rovině:

$$\mathbf{w}_i = [y(x)], \mathbf{r}_i = [y(0), y'(0), y(l), y'(l)]. \quad (6)$$

Pro získání bázových funkcí uvažujme nejjednodušší případ, statickou rovnici nezatíženého nosníku

okrajové podmínky

$$y^{iv}(x) = 0,$$

$$y(0) = r(1), y'(0) = r(2), y(l) = r(3), y'(l) = r(4). \quad (7)$$

Řešením získáme vektor bázových funkcí

$$\mathbf{N} = \begin{bmatrix} 1 - \frac{3x^2}{l^2} + \frac{2x^3}{l^3} \\ x + \frac{x^3}{l^2} - \frac{2x^2}{l} \\ \frac{3x^2}{l^2} - \frac{2x^3}{l^3} \\ -\frac{x^2}{l} + \frac{x^3}{l^2} \end{bmatrix}^T, \quad \text{kde } \mathbf{w} = \mathbf{N} \cdot \mathbf{r} \quad (8)$$

Matici tuhosti získáme z (3) s využitím zjednodušení pro daný případ, pak:

$$W = \frac{1}{2} \int_V \sigma \epsilon dV = \frac{1}{2} \int E \cdot y'' \cdot y_F \cdot y'' \cdot y_F dV = \\ = \frac{1}{2} E \int_{(S)} \int_{(I)} y'' \cdot y'' \cdot y_F^2 dS dx = \frac{1}{2} E J \int_{(I)} y'' y'' dx = \frac{1}{2} \mathbf{r}^T K \mathbf{r}. \quad (9)$$

Tedy

$$\mathbf{K} = E J \int_0^1 \mathbf{N}''^T \mathbf{N}'' dx. \quad (10)$$

Pak např.:

$$\mathbf{K}(1, 1) = E J \int_0^1 \left( -\frac{6}{l^2} + \frac{12}{l^3} x \right)^2 dx = 12 \frac{E J}{l^3}.$$

Matici hmotnosti získáme z (2) s využitím zjednodušení pro daný případ:

$$K = \frac{1}{2} \int_V \varrho y^2 dV = \frac{1}{2} \int_{(S)} \int_{(I)} \varrho y^2 dV = \frac{1}{2} \varrho S \int_{(I)} y^2 dx = \frac{1}{2} \mathbf{r}^T \mathbf{M} \mathbf{r}. \quad (11)$$

Tedy

$$\mathbf{M} = \varrho S \int_0^1 \mathbf{N}^T \mathbf{N} dx, \quad (12)$$

$$\mathbf{M}(1, 1) = \varrho S \int_0^1 \left( 1 - \frac{3x^2}{l^2} + \frac{2x^3}{l^3} \right)^2 dx = \frac{13}{35} \varrho S l.$$

Vztah (1) platí pro libovolné pevně zvolené časové okamžiky  $t_1, t_2$  a libovolnou variaci potenciální a kinetické energie. Můžeme jej tedy přepsat na:

$$\delta \int_{t_1}^{t_2} W dt - \delta \int_{t_1}^{t_2} K dt = 0. \quad (13)$$

Při pevně určených bázových funkcích

$$\delta \mathbf{w} = \mathbf{N} \delta \mathbf{r}, \quad (14)$$

$$\delta \int_{t_1}^{t_2} W dt = \delta \int_{t_1}^{t_2} \frac{1}{2} \mathbf{r} \mathbf{K} \mathbf{r} dt = \int_{t_1}^{t_2} \delta \mathbf{r} \mathbf{K} \mathbf{r} dt. \quad (15)$$

Variace posunů omezíme podmínkou, že jsou v krajních časech  $t_1, t_2$  nulové (\*), pak úpravou per partes

$$\begin{aligned} \delta \int_{t_1}^{t_2} -K dt &= - \int_{t_1}^{t_2} \int_V \varrho \dot{\mathbf{w}} \delta \dot{\mathbf{w}} dV dt = - [\underbrace{\int_V \varrho \dot{\mathbf{w}} \delta \mathbf{w} dV}_{=0^*}]_{t_1}^{t_2} + \int_{t_1}^{t_2} \int_V \varrho \ddot{\mathbf{w}} \delta \mathbf{w} dV dt = \\ &= \int_{t_1}^{t_2} \int_V \varrho \delta \mathbf{r}^T \mathbf{N}^T \mathbf{N} \ddot{\mathbf{r}} dV dt = \int_{t_1}^{t_2} \delta \mathbf{r} \mathbf{M} \ddot{\mathbf{r}} dt. \end{aligned} \quad (16)$$

Vztah (13) platí pro libovolné, pevně zvolené časové okamžiky  $t_1$  a  $t_2$ . Odtud s využitím vztahů (14) až (16) vyjádříme výchozí rovnici volného ohýbového kmitání nosníku:

$$\mathbf{M} \ddot{\mathbf{r}}(t) + \mathbf{K} \mathbf{r}(t) = \mathbf{0}. \quad (17)$$

Obdobný postup použijeme pro podélné a kroutivé kmitání. Výchozí rovnice jsou

$$x''(x) = 0; \quad \Phi''(x) = 0. \quad (18)$$

Posuvy uzlových bodů jsou

$$\mathbf{r}_i = [x(0), x(l)]^T; \quad \mathbf{r}_i = [\Phi(0), \Phi(l)]^T. \quad (19)$$

Vektor bázových funkcí je pro podélné a kroutivé kmitání týž:

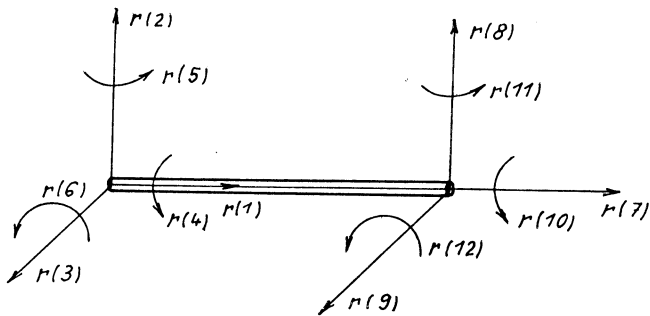
$$\mathbf{N} = \left[ 1 - \frac{x}{l}; \frac{x}{l} \right]. \quad (20)$$

Pro podélné, kroutivé a ohýbové kmitání je možno získat uvedeným postupem následující tuhostní a hmotnostní matici (viz obr. 1):

$$\begin{aligned} \mathbf{K}_p &= \frac{ES}{l} \begin{bmatrix} 1, & -1 \\ -1, & 1 \end{bmatrix}, & \mathbf{M}_p &= \frac{m}{6} \begin{bmatrix} 2, & 1 \\ 1, & 2 \end{bmatrix}, \\ \mathbf{K}_t &= \frac{GJ_p}{l} \begin{bmatrix} 1, & -1 \\ -1, & 1 \end{bmatrix}, & \mathbf{M}_t &= \frac{J_{pm}}{6} \begin{bmatrix} 2, & 1 \\ 1, & 2 \end{bmatrix}, \\ \mathbf{K}_o &= \frac{EJ}{l^3} \begin{bmatrix} 12, & 6l, & -12, & 6l \\ 6l, & 4, & -6l, & 2l^2 \\ -12, & -6l, & 12, & -6l \\ 6l, & 2l^2, & -6l, & 4l^2 \end{bmatrix}, & & \quad (21) \\ \mathbf{M}_o &= \frac{m}{420} \begin{bmatrix} 156, & 22l, & 54, & -13l \\ 22l, & 4l^2, & 13l, & -3l^2 \\ 54, & 13l, & 156, & -22l \\ -13l, & -3l^2, & -22l, & 4l^2 \end{bmatrix}. \end{aligned}$$

Z těchto dílčích submatic složíme výsledné prostorového kmitání (viz obr. 2):

$$\mathbf{K} = \begin{bmatrix} \mathbf{K}_{11}, & \mathbf{K}_{12} \\ \mathbf{K}_{21}, & \mathbf{K}_{22} \end{bmatrix}, \quad \mathbf{M} = \begin{bmatrix} \mathbf{M}_{11}, & \mathbf{M}_{12} \\ \mathbf{M}_{21}, & \mathbf{M}_{22} \end{bmatrix}, \quad (22)$$



Obr. 2. Posuvy uzlových bodů nosníku při prostorovém kmitání.

$$\begin{aligned}
 \mathbf{K}_{11} &= \left[ \begin{array}{cccccc}
 \frac{ES}{l} & 0 & 0 & 0 & 0 & 0 \\
 0 & 12 \frac{EJ_z}{l^3} & 0 & 0 & 0 & 6 \frac{EJ_z}{l^2} \\
 0 & 0 & 12 \frac{EJ_y}{l^3} & 0 & -6 \frac{EJ_y}{l^2} & 0 \\
 0 & 0 & 0 & \frac{GJ_p}{l} & 0 & 0 \\
 0 & 0 & -6 \frac{EJ_y}{l^2} & 0 & 4 \frac{EJ_y}{l} & 0 \\
 0 & 6 \frac{EJ_z}{l^2} & 0 & 0 & 0 & 4 \frac{EJ_z}{l}
 \end{array} \right], \\
 \mathbf{K}_{12} &= \left[ \begin{array}{cccccc}
 -\frac{ES}{l} & 0 & 0 & 0 & 0 & 0 \\
 0 & -12 \frac{EJ_z}{l^3} & 0 & 0 & 0 & 6 \frac{EJ_z}{l^2} \\
 0 & 0 & -12 \frac{EJ_y}{l^3} & 0 & -6 \frac{EJ_y}{l^2} & 0 \\
 0 & 0 & 0 & -\frac{GJ_p}{l} & 0 & 0 \\
 0 & 0 & 6 \frac{EJ_y}{l^2} & 0 & 2 \frac{EJ_y}{l^2} & 0 \\
 0 & -6 \frac{EJ_z}{l^2} & 0 & 0 & 0 & 2 \frac{EJ_z}{l}
 \end{array} \right], \\
 \mathbf{K}_{21} &= \left[ \begin{array}{cccccc}
 -\frac{ES}{l} & 0 & 0 & 0 & 0 & 0 \\
 0 & -12 \frac{EJ_z}{l^3} & 0 & 0 & 0 & -6 \frac{EJ_z}{l^2} \\
 0 & 0 & -12 \frac{EJ_y}{l^3} & 0 & 6 \frac{EJ_y}{l^2} & 0 \\
 0 & 0 & 0 & -\frac{GJ_p}{l} & 0 & 0 \\
 0 & 0 & -6 \frac{EJ_y}{l^2} & 0 & 2 \frac{EJ_y}{l} & 0 \\
 0 & 6 \frac{EJ_z}{l^2} & 0 & 0 & 0 & 2 \frac{EJ_z}{l}
 \end{array} \right], \quad (23)
 \end{aligned}$$

$$\mathbf{K}_{22} = \begin{bmatrix} \frac{ES}{l} & 0 & 0 & 0 & 0 & 0 \\ 0 & 12\frac{EJ_z}{l^3} & 0 & 0 & 0 & -6\frac{EJ_z}{l^2} \\ 0 & 0 & 12\frac{EJ_y}{l^3} & 0 & 6\frac{EJ_y}{l^2} & 0 \\ 0 & 0 & 0 & \frac{GJ_y}{l} & 0 & 0 \\ 0 & 0 & 6\frac{EJ_y}{l^2} & 0 & 4\frac{EJ_y}{l} & 0 \\ 0 & -6\frac{EJ_z}{l^2} & 0 & 0 & 0 & 4\frac{EJ_z}{l} \end{bmatrix},$$

$$\mathbf{M}_{11} = \begin{bmatrix} \frac{m}{3} & 0 & 0 & 0 & 0 & 0 \\ 0 & 156\frac{m}{420} & 0 & 0 & 0 & 22\frac{ml}{420} \\ 0 & 0 & 156\frac{m}{420} & 0 & -22\frac{ml}{420} & 0 \\ 0 & 0 & 0 & \frac{J_{pm}}{3} & 0 & 0 \\ 0 & 0 & -22\frac{ml}{420} & 0 & 4\frac{ml^2}{420} & 0 \\ 0 & 22\frac{ml}{420} & 0 & 0 & 0 & 4\frac{ml}{420} \end{bmatrix},$$

$$\mathbf{M}_{12} = \begin{bmatrix} \frac{m}{6} & 0 & 0 & 0 & 0 & 0 \\ 0 & 54\frac{m}{420} & 0 & 0 & 0 & -13\frac{ml}{420} \\ 0 & 0 & 54\frac{m}{420} & 0 & 13\frac{ml}{420} & 0 \\ 0 & 0 & 0 & \frac{J_{pm}}{6} & 0 & 0 \\ 0 & 0 & -13\frac{ml}{420} & 0 & -3\frac{ml^2}{420} & 0 \\ 0 & 13\frac{ml}{420} & 0 & 0 & 0 & -3\frac{ml^2}{420} \end{bmatrix}, \quad (24)$$

$$\mathbf{M}_{21} = \begin{bmatrix} \frac{m}{6} & 0 & 0 & 0 & 0 & 0 \\ 0 & 54\frac{m}{420} & 0 & 0 & 0 & 13\frac{ml}{420} \\ 0 & 0 & 54\frac{m}{420} & 0 & -13\frac{ml}{420} & 0 \\ 0 & 0 & 0 & \frac{J_{pm}}{6} & 0 & 0 \\ 0 & 0 & 13\frac{ml}{420} & 0 & -3\frac{ml^2}{420} & 0 \\ 0 & -13\frac{ml}{420} & 0 & 0 & 0 & -3\frac{ml^2}{420} \end{bmatrix},$$

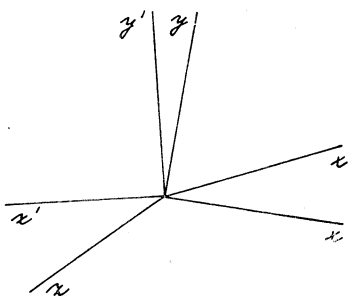
$$\mathbf{M}_{22} = \begin{bmatrix} \frac{m}{3} & 0 & 0 & 0 & 0 & 0 \\ 0 & 156 \frac{m}{420} & 0 & 0 & 0 & -22 \frac{ml}{420} \\ 0 & 0 & 156 \frac{m}{420} & 0 & 22 \frac{ml}{420} & 0 \\ 0 & 0 & 0 & \frac{J_{pm}}{3} & 0 & 0 \\ 0 & 0 & 22 \frac{ml}{420} & 0 & 4 \frac{ml^2}{420} & 0 \\ 0 & -22 \frac{ml}{420} & 0 & 0 & 0 & 4 \frac{ml^2}{420} \end{bmatrix}.$$

Je-li nosník natočen v prostoru, je třeba transformovat jeho příspěvky k tuhostní a hmotnostní matici do základního souřadného systému, aby byly slučitelné s ostatními součástmi. Pro tuto transformaci platí (viz obr. 3):

$$\mathbf{T}_d = \begin{bmatrix} \cos xx', \cos xy', \cos xz' \\ \cos yx', \cos yy', \cos yz' \\ \cos zx, \cos zy', \cos zz' \end{bmatrix}, \quad (25)$$

$$\mathbf{T} = \begin{bmatrix} \mathbf{T}_d & \mathbf{0} & \mathbf{0} & \mathbf{0} \\ \mathbf{0} & \mathbf{T}_d & \mathbf{0} & \mathbf{0} \\ \mathbf{0} & \mathbf{0} & \mathbf{T}_d & \mathbf{0} \\ \mathbf{0} & \mathbf{0} & \mathbf{0} & \mathbf{T}_d \end{bmatrix},$$

$$\mathbf{r} = \mathbf{T}\mathbf{r}', \quad \mathbf{K}' = {}^T\mathbf{T}\mathbf{K}\mathbf{T}, \quad \mathbf{M}' = {}^T\mathbf{T}\mathbf{M}\mathbf{T}. \quad (26)$$



Obr. 3. Prostorové natočení souřadného systému.

Při sestavování vztahů pro soustavu z více prvků jsou ve vektoru posuvů uzlových bodů zahrnutý posuvy všech uzlových bodů soustavy. Tuhostní a hmotnostní matici  $i$ -tého prvku umístíme podle uzlových bodů levého a pravého konce  $i$ -tého prvku. Je-li např. levý uzlový bod  $i$ -tého nosníku  ${}^1r^i$  k-tým uzlovým bodem soustavy a pravý uzlový bod nosníku  $pri l$ -tým uzlovým bodem soustavy:

$$\mathbf{r}_s = [r_1, \dots, {}^1r^i, \dots, {}_pr^i, \dots, r_N]^T \quad (27)$$

$$[\mathbf{K}_s^*] + \begin{bmatrix} 0 & k & 0 & l & 0 \\ k & 0 & \mathbf{K}'_{11} & 0 & \mathbf{K}'_{12} \\ 0 & 0 & 0 & 0 & 0 \\ l & 0 & \mathbf{K}'_{21} & 0 & \mathbf{K}'_{22} \\ 0 & 0 & 0 & 0 & 0 \end{bmatrix}, \quad (28)$$

příspěvek  $i$ -tého nosníku  
k celkové tuhostní matici

$$[\mathbf{M}_s^*] + \begin{bmatrix} 0 & k & 0 & l & 0 \\ k & 0 & \mathbf{M}'_{11} & 0 & \mathbf{M}'_{12} \\ 0 & 0 & 0 & 0 & 0 \\ l & 0 & \mathbf{M}'_{21} & 0 & \mathbf{M}'_{22} \\ 0 & 0 & 0 & 0 & 0 \end{bmatrix}. \quad (29)$$

příspěvek  $i$ -tého nosníku  
k celkové hmotnostní matici

Celkové hmotnostní a tuhostní matice jsou většinou výrazně pásové, šířka pásu je dána největším rozdílem číslování v soustavě uzlových bodů levého a pravého konce nosníku.

Pro zavedení vlivu upevnění a připojení soustředěných hmotností a tuhostí je možno uvažovat celý systém rozdělený na dvě soustavy. Pro první soustavu, ve které je samostatný nosníkový systém, platí pro volné kmitání:

$$\mathbf{M}_s \ddot{\mathbf{r}}_1(t) + \mathbf{K}_s \mathbf{r}_1(t) = \mathbf{p}_1(t), \quad (30)$$

pro druhou soustavu tvořenou nespojitostmi platí:

$$\mathbf{M}_n \ddot{\mathbf{r}}_2(t) + \mathbf{K}_n \mathbf{r}_2(t) = \mathbf{p}_2(t), \quad (31)$$

kde  $\mathbf{p}_1(t)$  a  $\mathbf{p}_2(t)$  jsou vnitřní silové účinky,  $\mathbf{M}_n$ ,  $\mathbf{K}_n$  jsou diagonální hmotnostní a tuhostní matice s nenulovou hmotností, resp. tuhostí v souřadnici, kde je připojená tuhostní matici. Pro spojení obou soustav v uvažovaný celek platí podmínky slučitelnosti:  $\mathbf{r}_s = \mathbf{r}_1 = \mathbf{r}_2$ ,  $\mathbf{p}_1 + \mathbf{p}_2 = \mathbf{0}$ .

$$\mathbf{r}_s = \mathbf{r}_1 = \mathbf{r}_2, \quad \mathbf{p}_1 + \mathbf{p}_2 = \mathbf{0}. \quad (32)$$

Pak platí:

$$(\mathbf{M}_s + \mathbf{M}_n) \ddot{\mathbf{r}}(t) + (\mathbf{K}_s + \mathbf{K}_n) \mathbf{r}(t) = \mathbf{0}. \quad (33)$$

Tedy celková hmotnostní a tuhostní matici je

$$\mathbf{M}_c = \mathbf{M}_s + \mathbf{M}_n, \quad \mathbf{K}_c = \mathbf{K}_s + \mathbf{K}_n. \quad (34)$$

Při volném kmitání můžeme vektor uzlových bodů vyjádřit ve tvaru:

$$\mathbf{r}(t) = \mathbf{r} \cdot e^{j\omega t}, \quad \dot{\mathbf{r}} = -\omega^2 \mathbf{r} e^{j\omega t}. \quad (35)$$

Na základě (17) pak s dosazením (35) můžeme pro soustavu psát:

$$(\mathbf{K}_c - \omega^2 \mathbf{M}_c) \mathbf{r}_s = 0. \quad (36)$$

Vlastní frekvence soustavy pak hledáme s využitím podmínky:

$$\det (\mathbf{K}_c - \omega^2 \mathbf{M}_c) = 0. \quad (37)$$

Na základě (33) určíme i vlastní tvar kmitu. Zvolíme-li amplitudu kmitu (volbou velikosti jedné souřadnice vektoru výchylek uzlových bodů  $r_s(i) = c$ ), dostaneme rovnici s pravou stranou stupně  $n - 1$ , jejímž řešením je vlastní tvar kmitu.

### 3. PROGRAM

Na základě uvedených vztahů byl sestaven program. Aby byl použitelný i pro obecně rozvětvené soustavy, bylo použito libovolně volitelné šířky pásu matic soustavy (omezení jsou dána pouze kapacitou paměti počítače). K nalezení vlastních frekvencí se počítá hodnota determinantu (37) v řetězu bodů, pokryvajícím vyšetřované pásmo. Indikátorem vlastní frekvence je změna znaménka v sousedních bodech, popřípadě pokles absolutní hodnoty determinantu v určitém bodě, oproti sousedním. Nulový bod se dohledává Newtonovou metodou pro požadovanou přesnost. Výpočet determinantu je založen na Gaussově eliminaci, používá se i úplná pivotace, před proběhnutím výpočtu se velikosti prvků v jednotlivých řádcích upraví tak, aby jejich geometrický průměr měl hodnotu 1 a součinitel se uloží do zvláštního vektoru a výsledná hodnota se jím pak vynásobí (aby se zabránilo operacím s prvky o velmi rozdílné velikosti a „přetečení“ paměti).

Při výpočtu vlastního tvaru kmitu je výchozí rovnice upravena následujícím způsobem (při volbě velikosti k-tého prvku  $r_s(k) = 1$ ):

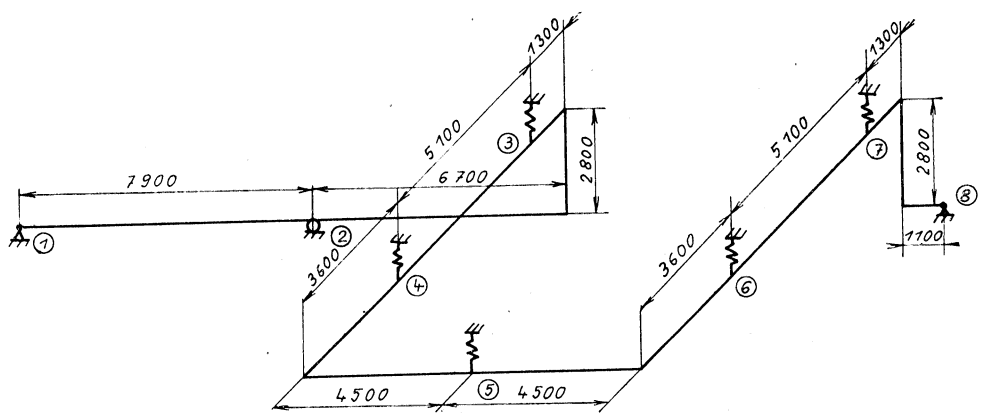
$$\underbrace{\begin{bmatrix} P_{1,1}, \dots, P_{1,k-1}, & 0, P_{1,k+1}, \dots, P_{1,n} \\ \vdots & \vdots & \vdots \\ P_{k-1,1}, \dots, P_{k-1,k-1}, & 0, P_{k-1,k+1}, \dots, P_{k-1,n} \\ 0, \dots, 0, & 1, 0, \dots, 0 \\ P_{k+1,1}, \dots, P_{k+1,k-1}, & 0, P_{k+1,k+1}, \dots, P_{k+1,n} \\ \vdots & \vdots & \vdots \\ P_{n,n}, \dots, P_{n,k-1}, & 0, P_{n,k+1}, \dots, P_{n,n} \end{bmatrix}}_{\mathbf{P}'(\omega)} \cdot \begin{bmatrix} r_s(1) \\ r_s(k-1) \\ r_s(k) \\ r_s(k+1) \\ \vdots \\ r_s(n) \end{bmatrix} = \begin{bmatrix} -P_{1,k} \\ \vdots \\ -P_{k-1,k} \\ 1 \\ -P_{k+1,k} \\ -P_{n,k} \end{bmatrix}, \quad (38)$$

kde

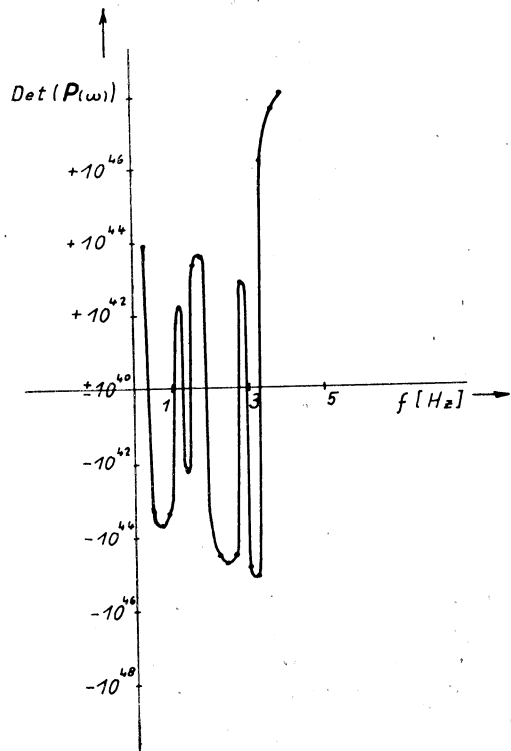
$$\mathbf{P}(\omega) = \mathbf{K}_c - \omega^2 \mathbf{M}_c. \quad (39)$$

Pak se používá týž postup výpočtu, eliminace je pouze rozšířena i na vektor pravé strany rovnice a při pivotaci po sloupcích je třeba měnit i pořadí prvků vektoru  $r_s$ . Při volbě vztažného prvku  $r_s(k)$  je třeba zajistit, aby byl v místě a ve směru, ve kterém má příslušný tvar kmitu velkou amplitudu a ne uzel. Jinak by se volbou  $r_s(k)$  matice determinantu (34) nestala regulární a výpočet by byl nepřesný. Tato podmínka je splněna, platí-li:

$$\frac{\det \mathbf{P}(\omega)}{\det \mathbf{P}'(\omega)} \ll \frac{\det \mathbf{P}(\omega)}{n}. \quad (40)$$



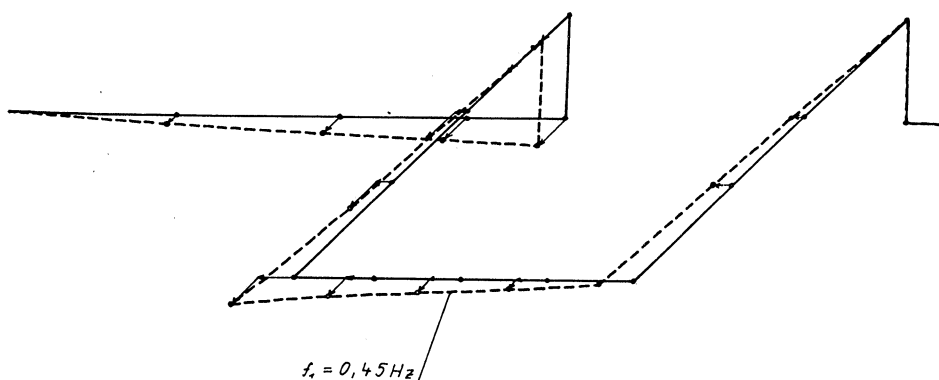
Obr. 4. Schéma parovodu.



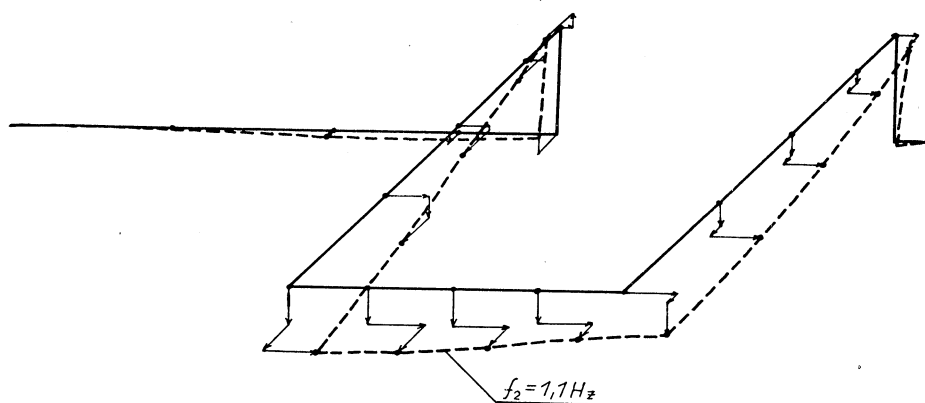
Obr. 5. Průběh determinantu matice volného kmitání v závislosti na frekvenci.

#### 4. KONKRÉTNÍ PŘÍKLAD

Pomocí uvedeného programu byly nalezeny vlastní frekvence a tvary kmitu části propojovacího parovodu pro elektrárny se sběrnicovým uspořádáním a stroji o výkonech menších než 50 MW. Parovod je zhotoven z trubky  $\varnothing 219 \times 20$  a je znázorněn na obr. 4. Uložení v místech ① a ⑧ považujeme za tuhé vetknutí a respektujeme jej posuvnými a otočnými pružinami ve všech směrech o tuhosti



Obr. 6. První tvar kmitu.



Obr. 7. Druhý tvar kmitu.

$10^{10} \text{ Nm}^{-1}$  ( $\text{Nm}$ ). Podporu v místě ② považujeme za tuhou a respektujeme ji pružinou ve směru  $\gamma$  o tuhosti  $10^{10} \text{ Nm}^{-1}$ . Ve směru  $\gamma$  jsou v místech ③ a ⑦ pružiny o tuhosti  $4 \cdot 10^4 \text{ Nm}^{-1}$  a v místech ④, ⑤, ⑥ pružiny o tuhosti  $6 \cdot 10^4 \text{ Nm}^{-1}$ .

Na obr. 5 je uveden průběh determinantu v závislosti na frekvenci a na obr. 6 nalezené tvary kmitu. Nalezené vlastní frekvence jsou: 0,44 Hz; 1,1 Hz; 1,25 Hz; 1,45 Hz; 1,9 Hz; 2,79 Hz; 2,83 Hz a 3,3 Hz. Další skupina vlastních frekvencí následuje po větším odstupu.

## 5. ZÁVĚR

Metodou konečných prvků lze počítat vlastní frekvence a tvary kmitu soustav, složených z prvků s převládajícím délkovým rozměrem. I při použití maximálních přípustných zjednodušení (v článku použitých) vzniknou matematické modely, které se dají použít k dynamické analýze. Podle uvedeného postupu byl na našem pracovišti sestaven program, který byl realizován na stolním počítači HP 9845 T.

Tento program je na našem pracovišti využíván pro výpočet vlastních frekvencí i  $M$  — ortonormovaných vlastních tvarů kmitu jak nerozvětvených, tak i rozvětvených, prostorově rozložených nosníkových soustav. V [2] se uvádí, že na základě uvedených vztahů lze spolehlivě počítat prvních asi  $n/3$  vlastních frekvencí. Při výpočtu nejnižších vlastních frekvencí činí relativní chyba až pod 1 %. (Použitý počítač operuje s dvacetimístnými čísly.) Při výpočtu vyšších vlastních frekvencí, jejichž tvary kmitu není už možno použitým dělením přesně postihnout, a při rozsáhlejších úlohách (řádu stovek stupňů volnosti) nepřesnost výpočtu rychle roste. Doba výpočtu determinantu (7) na uvedeném počítači činila pro nerozvětvenou soustavu ze 13 nosníků (rozměr pásu matice v (7) je  $78 \times 18$ ) asi 2 minuty. Při výpočtu soustavy ze 12 nosníků s jedním rozvětvením (rozměr pásu matice v (7) je  $72 \times 30$ ) byla doba výpočtu asi 3,5 minuty.

K tomu, abychom vyhledali všechny tvary kmitu a nemuseli používat příliš hustého pokrytí frekvenčního pásma frekvencemi, v nichž počítáme hodnotu determinantu (7), můžeme využít vlastnosti *Sturmových* posloupnosti [9]. Počet znaménkových změn v posloupnosti vedoucích hlavních minorů charakteristického determinantu udává počet vlastních čísel menších než  $\omega^2$  v [7]. Přitom je možné při výpočtu této posloupnosti provádět nejen řádkovou [10], ale i úplnou pivotaci a jejich rušivý vliv na počet znaménkových změn kompenzovat podle vztahu uváděného v [10].

K rychlejšímu nalezení vlastní frekvence a tvaru kmitu byla rovněž ověřena vhodnost použití inverzní vektorové iterace [2], [9].

Dále je ještě vhodné zmínit se o filtrační vlastnosti uváděné diskretizace potrubních konstrukcí na nosníkové prvky. Je-li zvoleno rozdělení konstrukce tak, že uzlové body dělení budou v místech, ve kterých má některý vyšší tvar kmitu uzlový bod, nebude možné tuto frekvenci nalézt. Takovéto vlastní frekvence budou tedy použitou diskretizací „odfiltrovány“, i když patří mezi prvních  $n/3$ . Opakují-li se tedy v konstrukci stejná pole, je vhodnejší použít v nich různá nepravidelná dělení na jednotlivé prvky. Tato nepravidelnost by však neměla být tak veliká, aby rozdíly mezi jednotlivými prvky (v tuhosti a hmotnosti) byly řádové a větší. Praktické zkušenosti ukazují, že by tím byla snížena přesnost výpočtu.

## LITERATURA

- [1] Valenta J., Němec J.: Novodobé metody výpočtů tuhosti a pevnosti ve strojírenství, SNTL, Praha, 1975
- [2] Bittnar Z., Řeřicha P.: Metoda konečných prvků v dynamice konstrukcí, SNTL, Praha, 1981
- [3] Hendrych J.: The Dynamics of Arches and Frames, Academia, Praha, 1981
- [4] Rippl J.: Vybrané analytické metody pro numerické řešení problémů dynamiky rotorových soustav, zpráva SVÚSS 77-01009, 1977
- [5] Voborský J.: Řešení prostorových potrubních systémů z hlediska dynamických účinků, zpráva SVÚSS 80-02003, 1980

- [6] Kouba J.: Řešení volných kmitů křivých prutů metodou konečných elementů, závěrečná práce PGS, SVUSS, Běchovice, 1979
- [7] Rejř P.: Optimalizace potrubních systémů z hlediska vibrační odolnosti, zpráva SVUSS 79-03004, 1979
- [8] Rejř P.: Teoreticko-experimentální výzkum rázových jevů v nosníkových soustavách, zpráva SVUSS 81-03035, 1981
- [9] Novák J., Dvořák P., Kouba J.: Směrnice pro určení úrovně budicích sil a odevzdy ve svazku trubek mezičladiče ČKD, zpráva SVUSS 81-03021, 1981
- [10] Gupta K. K.: Solution of Eigenvalue Problems by Sturm Sequence Method, International Journal for numerical methods in Engineering, vol 4, 379—404, 1972

## **ОПРЕДЕЛЕНИЕ ДИНАМИЧЕСКИХ СВОЙСТВ ПРОСТРАНСТВЕННО РАСПОЛОЖЕННОГО ТРУБОПРОВОДА**

*Инж. Павел Рейф*

В статье приведен метод расчета собственных частот и форм колебаний недемпифирированного пространственно расположенного трубопровода методом конечных элементов. Приведенный расчетный способ применен на конкретной задаче, которая была решена при помощи настольной вычислительной машины НР 9845 В.

## **DETERMINATION OF THE DYNAMIC PROPERTIES OF PIPING TUBES ARRANGED IN SPACE**

*Ing. Pavel Rejř*

The paper presents the calculations of natural frequencies and vibration mode-shapes of non-damped piping tubes arranged in space using the finite element method. This calculation procedure has been used to calculate the example given in the paper, which has been solved with the use of the desk computer HP 9845 B.

## **BESTIMMUNG DYNAMISCHER EIGENSCHAFTEN DER RÄUMLICH AUSGEBREITETEN ROHRLEITUNG**

*Ing. Pavel Rejř*

Im Artikel führt man das Berechnungsverfahren der Eigenfrequenzen und der Schwingungsformen der nichtgedämpften räumlich ausgebreiteten Rohrleitung mit Hilfe der Methode der Endelemente ein. Das eingeführte Berechnungsverfahren ist auf einem konkreten Beispiel, das mit Hilfe des programmierbaren Rechners HP 9845 B gelöst wurde, verwendet.

## **DÉTERMINATION DES CARACTÉRISTIQUES DYNAMIQUES DE LA TUYAUTERIE ARRANGÉE DANS L'ESPACE**

*Ing. Pavel Rejř*

Dans l'article présenté, on fait savoir le mode de calcul des fréquences propres et des formes des vibrations de la tuyauterie non-amortie arrangée dans l'espace à l'aide des éléments finis. Le mode de calcul présenté est utilisé pour un exemple concret qui était résolu à l'aide d'un calculetteur à programmation HP 9845 B.

## ● Nízkoenergetické rodinné domky

Největší západoevropská elektrárenská společnost RWE (elektrárny Poryní-Vestfálska) zahájila ve 2. čtvrtletí 1983 výrobu nízkoenergetických typových rodinných domků. Nový domek o obytné ploše 174 m<sup>2</sup>, navenek se od jiných rodinných domků nijak neliší, má spotřebovat ročně asi 10 000 kWh tepelné energie, což znamená maximální spotřebu tepla 7,1 kW, tj. 42 W/m<sup>2</sup> obytné plochy, vztaženo na klimatické podmínky oblasti Essenu a při uvažování výměny vzduchu 0,6krát za hodinu. Pro srovnání — běžný dům o stejně obytné ploše spotřebouje ročně více než čtyřikrát tolik energie.

Nový rodinný domek má na základě ekonomického rozboru plášt izolovaný izolací tloušťky 12 cm, odpovídající  $k = 0,3 \text{ W/m}^2 \text{ K}$  a střechu izolací tloušťky 16 cm, čemuž odpovídá  $k = 0,25 \text{ W/m}^2 \text{ K}$ . Podíl oken na jižní fasádě tvoří 30 % a tato dvojitě zasklená okna mají okenice sloužící v chladných nocích jako přechodné zateplení. Tato okna s uzavřenými okenicemi mají  $k = 1,5 \text{ W/m}^2 \text{ K}$  oproti  $2,6 \text{ W/m}^2 \text{ K}$  bez okenic. Tepelný zisk jižních místností v zimě v důsledku oslunění činí 8 až 10 %. Okna orientovaná na ostatní světové strany mají trojité zasklení a se stejným přechodným zateplením jako u jižních oken mají  $k = 1,35 \text{ W/m}^2 \text{ K}$ .

Velká pozornost byla věnována ochraně před slunečním zářením pro letní období. Okenice jsou tak řešeny, že jsou nejen svisle posuvné (zateplení — zima), ale i sklopné, takže takto mají i funkci vnějšího stínícího zařízení. Jižní okna obytné části jsou navíc chráněna pergolou se stavitelnými lamelami.

Okna v sedlové střeše mají vnější rolety (žaluzie), které mohou sloužit i v zimě jako přechodné zateplení, je jen otázkou, zda budou fungovat za sněhu a ledu.

Podle výpočtu nemá teplota v létě za nepříznivějších podmínek v obytných místnostech přestoupit 26,5 °C.

Vytápění domků může být buď bivalentní (tepelné čerpadlo + kotel na topný olej, či plyn), nebo monovalentní (kotel na tuhá, či tekutá paliva) nebo elektrokotolem na noční proud. Optimální využití tepelné energie představuje vytápění teplým vzduchem s regenerací tepla v deskovém výměníku (výrobce fa FLÄKT). Stupňovitě nastavitelné větrání sníží na základě výpočtů při účinnosti tepelné výměny okolo 40 % spotřebu tepla až o 30 %.

Všechny výpočty platí pro denní teplotu v obytných místnostech 21 °C (v zimním období) při snížení v noci na 18 °C, které představuje dalších asi 8 % úspor na energii. Dobrá izolace i vnitřních stěn o tloušťce 6 cm umožňuje v ložnicích snížit teplotu až na 16 °C, což může přinést úsporu na teple až o 32 %. V případě, že osazenstvo domku je zaměstnáno, je možno přes den omezit vytápění a docílit úspory asi 38 % ve srovnání s celodenním vytápěním s nočním omezením.

Otzáka 0,6násobné výměny vzduchu zůstává otevřená, protože není vyloučena komunikace pachů, i když jsou kuchyně, koupelna a WC odvětrávány, a je bezesporu nízká pro kuřácí kou rodinu.

Je samozřejmé, že k tomu, aby byly docíleny všechny předpokládané úspory, je zapotřebí, aby obyvatelé nízkoenergetických domků byli zodpovědní a obsluhovali všechna zařízení tak, jak bylo uvažováno při návrhu. Praxe z normálních domků ukázala, že podle přístupu k šetření energií se rozdíly v nákladech na vytápění liší až o 400 %.

CCI 3/83

(Ku)

## ● Eutektické soli v klimatizačním zařízení administrativní budovy

První zařízení využívající eutektické směsi k akumulaci tepelné energie byla použita pro administrativní budovu koleje Orange Coast v Kalifornii. Instalaci provedla fa. Western Air & Refrigeration Co.

Systém akumulace tepla užívá eutektické hydráty solí, které chladí cirkulující vodu v dobách mimo energetickou špičku, aby se zajistil chlad v době špičky, aniž by bylo třeba uvádět do provozu chladicí agregát. To odstraňuje nutnost odběru elektrické energie v době špičky, což má za následek nižší poplatky za energii.

Systém je snadno použitelný i pro stávající zařízení se zásobníky studené vody, vyžaduje jen asi čtvrtinu prostoru a nemá problémy s vrstvením, které je běžné u jiných systémů akumulace chladu.

Eutektické směsi, které mrznou při +8 °C, vyžadují méně energie, než je třeba k fázové přeměně vody při 0 °C, aby se docílil stejný chladicí účinek.

ASHRAE J. 2/83

(Ku)

# KOEFICIENTOVÁ METODA ZJIŠTĚNÍ INTERREFLEXNÍ SLOŽKY PŘI BOČNÍM DENNÍM OSVĚTLENÍ

ING. ARCH. JAROSLAV VRTĚL

Autor navrhuje, dokládá a odvozuje zjednodušení a dokompletování výpočtu interreflexní složky denního osvětlení. Předkládá metodu a pomůcku. Uvedená složka denního osvětlení má zásadní význam pro kvalitu světelného mikroklimatu v prostoru. Obtížnost určování, respektive nepřesný odhad, způsobily opomíjení a zanedbávání složky, která má značný energetický význam.

Recenzoval: Ing. arch. Ladislav Chalupský

Oproti dennímu hornímu osvětlení, kde prosetřujeme osvětlenost průměrnou, není možno při bočním osvětlení denním světlem uplatnit v obecném bodě interiéru jednoduchým násobením koeficientem úměrnost interreflexní složky  $e_{interr}$ , s výsledným součtovým tokem denního světla z exteriéru do interiéru proudícího. Příčinou toho je nelineární pokles osvětlenosti bodů v místnosti při vzdalování vyšetřovaného bodu  $M$  od okenní stěny a není proto možno akceptovat vzorec uvedený v čl. 114 dnes již neplatné normy ČSN 730511 — Denní osvětlení průmyslových budov z r. 1956, kde tento vzorec měl tvar  $e = (e_{obj.} + e_{ext.})r$ , přičemž znakem  $r$  se rozuměl „průměrný činitel zvýšení osvětlení vlivem mnohonásobného odrazu světla v místnosti“. Jednalo se tu zřejmě o průměrnou hodnotu součtu  $e_{obj.} + e_{ext.}$ , která byla obtížně v interiéru zjistitelná a norma k tomu bližší údaje neuváděla (viz čl. 121 uvedené normy).

Přitom je ale zcela jasné, že interreflexe je důsledkem světelného toku externího, že je jeho funkcí, a že tedy, při respektování výrazu  $e = e_{obj.} + e_{ext.} + e_{interr}$  (podle čl. 25 platné normy ČSN 36 0035 — Denní osvětlení budov z r. 1968) bude možno určit složku  $e_{interr}$  vztahem  $e_{interr.} = (e_{obj. c} + e_{ext. c}) \cdot k_{interr.}$ , kde bod  $C$  bude vhodně zvolen v prostorovém hranolu místnosti na vhodně určené rovině  $\pi$ .

Podle dosavadních metod, užívaných pro zjišťování složky  $e_{interr.}$ , opomíjíme tvar a způsob umístění osvětlovacích bočních otvorů na okenní stěně a okna charakterizujeme pouze parametrem plochy skla, označovaným písmenem  $W$ , přičemž se plochou skla rozumí plocha nárysů zasklené části okna. Je to ovšem značně hrubé zjednodušení úlohy.

Pro uplatnění vlivu osvětlovacích otvorů (anebo jen jejich částí), ležících pod úrovní materiální neprůhledné roviny  $\mu$ , na níž úlohou daný bod  $M$  vyšetřujeme, není vhodná tato rovina ve vodorovné poloze, normálně uvažovaná ve výši 85 cm nad podlahou. Vyšetřovaný bod  $C$  umístíme zřejmě vhodně na svislé rovině  $\pi$ , vedené rovnoběžně s okenní stěnou, neboť se bude jednat o to, aby osvětlovací otvor této stěny byl ze zvoleného bodu  $C$  pokud možno v celém svém rozsahu pozorovatelný. Vzhledem ke stanovenému úkolu — určit interreflexi v místnosti uvažované ve formě kvádru — bude proto proto výhodné umístění bodu  $C$  ve středu výšky místnosti na svislé fiktivní rovině  $\pi$ , situované uprostřed hloubkové délky  $d$  místnosti a rovnoběžné s okenní stěnou, přičemž ve směru šířky  $s$  místnosti umístíme bod  $C$  na osu okna, tedy bez ohledu na centrální osu místnosti. Při větším počtu

oken volíme příslušný počet bodů  $C$  a výsledky sečteme, při stejných oknech zná-sobíme počtem oken (zdůvodnění tohoto postupu viz níže). Výhodou je konstrukční zjednodušení zjištění složek  $e_{obl.}$  a  $e_{ext.}$ , vyloučení stínění center  $C$  okenním ostěním aj.

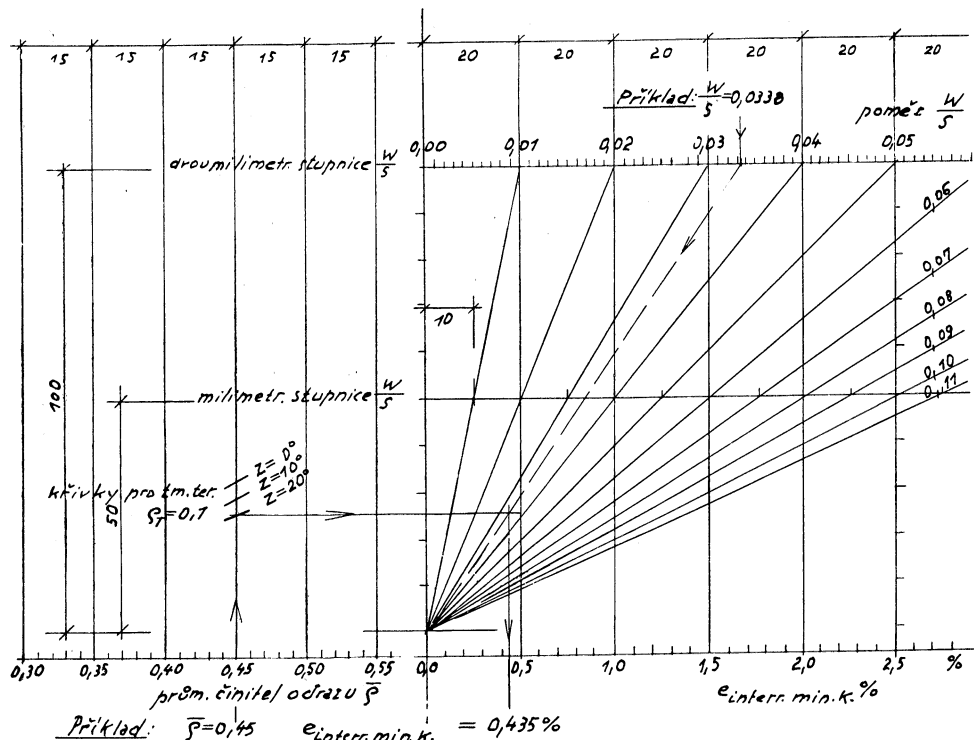
Ověření výsledků, dosažených za těchto předpokladů, provedeme porovnáním s hodnotami  $e_{interr. min. k.}$ , obdrženými pomocí diagramu (Kittlerova nomogramu [4]), což umožní zabezpečující další předpoklad místnosti v prostředí se středním znečištěním vnějším a s malým znečištěním vnitřním, tedy v prostředí obytného sídliště. Příslušný činitel světelných ztrát bude tedy

$$\tau_K = 0,9 \cdot 0,9 \cdot 0,9 \cdot 0,95 = 0,693.$$

Stínění neprůhlednými okenními konstrukcemi bude odečteno graficky (obr. 3). Uvažuje se dvojitě zasklení oken čirým sklem, 3 mm tlustým.

Uvedené prověření bude zjednodušeno tím, že se omezíme na hodnoty  $\varrho_Z = 0,3$ ,  $\varrho_T = 0,1$  [4].

Dále omezme prošetření (a také platnost níže uvedených vzorců metody C) na případy, kde vnější svislá protilehlá překážka  $Z$  se jeví pod úhlem (měřeným ze středu  $O$  výšky okna), který obdržíme z úhlu sevřeného ramenem  $\tilde{R}_{lim}$ .  $O$  a vodo-rovnou rovinou, vedenou středem  $O$  okna, zmenšeného minimálně o úhel  $z_{obl.}$ , jenž



Obr. 1. Geometrická vazba hodnot podle diagramu Kittlerova.

se rovná  $8^\circ$  až  $10^\circ$ . Velikost  $10^\circ$  volíme v nižších místnostech, např. v místnostech bytů, velikost  $8^\circ$  uplatníme v místnostech s většími výškami (obr. 3). Přitom bod  $R_{\text{lim.}}$ , jakožto pomyslné nároží římsy, je průsečík prodloužené svislé stěny  $Z$  s prskem  $R_{\text{lim.}}$  spojujícím spodní hranu horní neprůhledné části (vlysu) okna s centrem  $C$ . Výseč daná úhlem  $z_{\text{obl.}}$  umožňuje, aby centrum  $C$  přijímal světelný tok oblohou.

Případy, kdy do centra  $C$  nevniká žádný světelný tok z oblohy, je nutno řešit vzhledem k měnícímu se jasu stěny  $Z$  při jejím prodlužování do hloubky [6]. Matematizace těchto změn není zde provedena.

Podle přiloženého obr. 1 je minimální složka interreflexe, určená Kittlerovým diagramem, přímo úměrná hodnotě  $W$  (při neměnné hodnotě  $S$ ), z čehož plyne oprávněnost uvedeného postupu při stanovení center  $C$ , neboť vodorovným posunem okna na okenní stěně se hodnota interreflexe nemění.

Abychom mohli zjednodušeně porovnávat jednotlivé prosetřované případy, budeme uvažovat jednotný činitel průměrného odrazu světla od povrchů místnosti  $\bar{\varrho}$  v hodnotě 0,45, což lze dosáhnout, jestliže se bude jednat o stropy a okenní stěny v bílé, zašlé barvě. Od toho odchylné hodnoty  $\bar{\varrho}$  bude možno dosazovat do obecně platného vzorce. Poznamenejme, že druhá mocnina hodnoty 0,45 se rovná přibližně 0,2, čímž dospějeme k jednoduchému činiteli  $0,5 \cdot 0,2 = 0,1$ .

Jas venkovní svislé překážky  $Z$  při výše uvedené odraznosti budeme uvažovat v hodnotě 0,1 [3], podobně v téže hodnotě jas terénu, kde nižší odraznost je kompenzována vysokou osvětleností ze zénitní části oblohy, která září shora na terén (viz Arndtův vzorec [4]). Tento předpoklad umožní jednorázové zjištění Daniljukovými jednotkami  $n_I$  světelného vlivu svislé překážky i terénu a jas těchto ploch bude možno sloučit s činitelem Daniljukovy soustavy 0,01 do hodnoty  $0,01 \cdot 0,1 = 0,001$ .

Předpokládaná fiktivní rovina  $\pi$  s centrem  $C$  nechť má fiktivní odraznost rovnou  $\bar{\varrho}$ , takže v centru  $C$  vzniká jas úměrný hodnotě  $(e_{\text{obl.} C} + e_{\text{ext.} C}) \cdot \bar{\varrho} = \Sigma_C \cdot \bar{\varrho}$ .

Distribucí světla z tohoto centra (při více oknech z příslušných center) na plochy v místnosti vznikne pak minimální složka interreflexní, což ve formě dalšího předpokladu vyjádříme znásobením hodnotou  $0,5 \cdot \bar{\varrho}$ , čímž hledaný vzorec pro výpočet interreflexní minimální složky bude obsahovat výraz  $\Sigma_C \cdot 0,5\bar{\varrho}^2$ .

Pro vyjádření vztahu k rozměrům místnosti uvažujme, že hodnota hledaného výrazu interreflexní složky bude zvětšována o hodnotu poměru  $d/\check{s}$ , kde  $d$  je dimenze hloubkové délky místnosti,  $\check{s}$  je její šířka. Přímo úměrný přínos dimenze  $d$  plyne z rozdílu velikostí poklesů osvětlenosti, dané součtem  $(e_{\text{obl.}} + e_{\text{ext.}})$  oproti mnohem mírnějšímu poklesu hodnoty  $e_{\text{interr.}}$  [3]. Působí tedy délka  $d$  jako brzdící faktor (jako redresor) prudkého poklesu součtu  $\Sigma_C$ . Uvažujme tento faktor v poněkud zredukované hodnotě (0,9d), již odvodíme z výsledků propočtu řady praktických případů. Opačný vliv má šířka  $\check{s}$ , což ostatně je v souladu s obecně přijatou nepřímou úměrností složky  $e_{\text{interr.}}$  se součtem povrchů místnosti  $S$ . Působení výšky  $v$  místnosti na hledanou složku  $e_{\text{interr.}}$  ponecháme při výpočtech Daniljukovou metodou bez úprav a vyjádříme je hodnotou  $n_I$ .

Docházíme tak k základnímu vzorce

$$\begin{aligned} e_{\text{interr. min.}} &= (e_{\text{obl.} C} + e_{\text{ext.} C}) \cdot 0,5\bar{\varrho}^2 \left(1 + 0,9 \frac{d}{\check{s}}\right) = \\ &= \Sigma_C \cdot 0,5\bar{\varrho}^2 \left(1 + 0,9 \frac{d}{\check{s}}\right) = \Sigma_C \cdot k_{\text{interr.}} [\%], \end{aligned}$$

tedy ku hledanému koeficientovému tvaru složky  $e_{\text{interr. min.}}$ , určenému z činitele součtu vnějších toků světelných, místo osvětlujících.

V případech, kde  $\bar{\varrho} = 0,45$ , uplatníme výhodně vzorec

$$e_{\text{interr. min.}} = 0,1 \Sigma_C \left( 1 + 0,9 \frac{d}{s} \right) [\%]$$

(použito v níže uvedených propočtech případů I až IX).

Možnost přímé aplikace těchto vzorců vymezme podmínkou  $0,5 < \frac{d}{s} < 2,5$ , přičemž spodní mez se neuplatní při vhodné úpravě šířky místo: nastane-li případ, kdy  $\frac{d}{s} \leq 0,5$  (v šířkově protáhlých místnostech), rozdělíme po šířce prostor interiéru na oddíly fiktivními svislými rovinami, kolmými k okenní stěně, na nichž budeme uvažovat  $\varrho = 0,2$  [4]. Tím klesne celkové průměrné  $\bar{\varrho}$  a pro výpočet použijeme obecný vzorec.

Není-li dosažena spodní mez poměru  $d/s$ , dostačovali bychom, bez rozdělení místo, oproti výsledkům podle diagramu Kittlerova vyšší hodnoty  $e_{\text{interr. min.}}$ . V případech, kdy je překročena horní mez poměru  $d/s$  (v místnostech do hloubky protažených), vycházejí hodnoty nižší o více než 0,1 %, než je udává diagram Kittlerův. Poznamenejme, že se tu jedná o místo chodbového charakteru, kde většinou osvětlenosti nepřikládáme zvláštní význam.

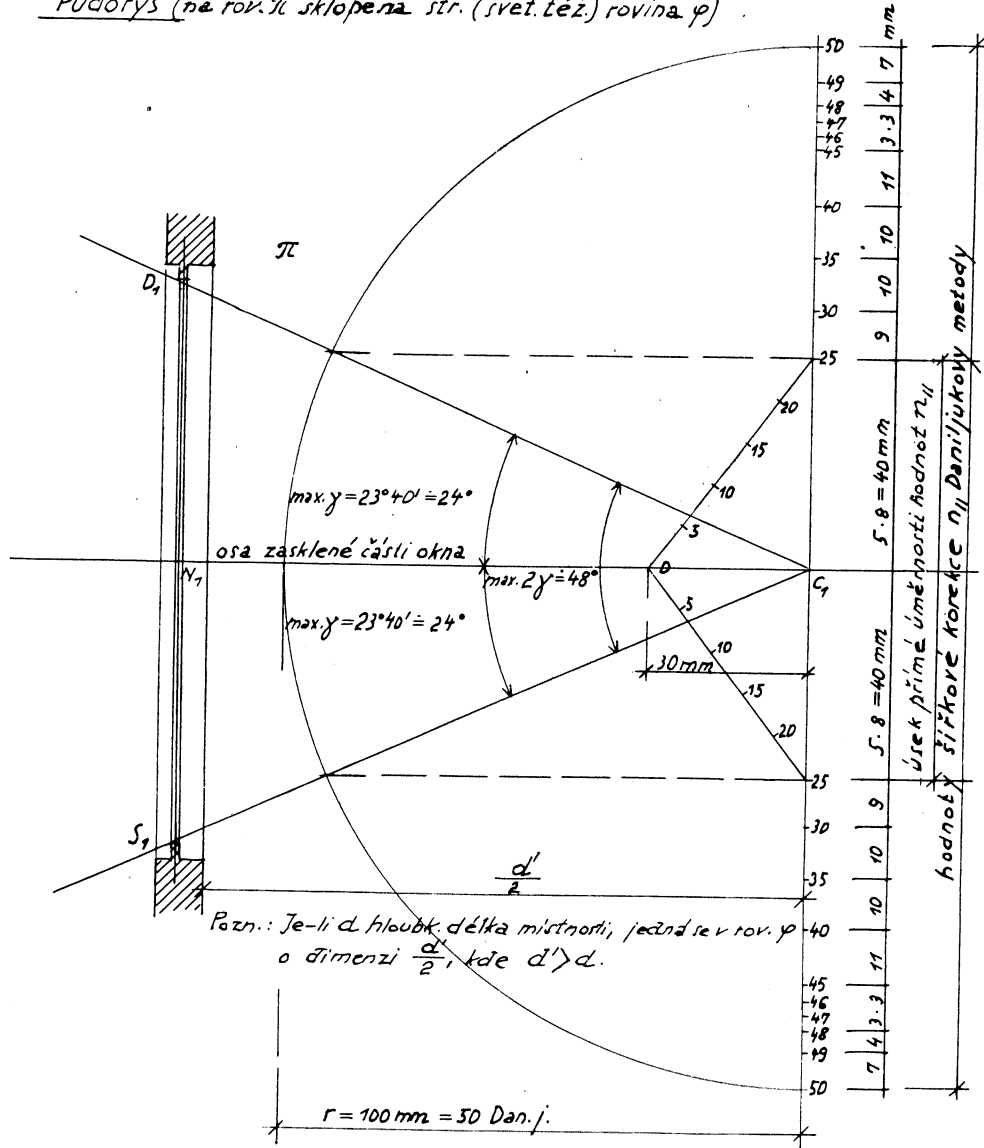
Na obr. 2 je uvedeno zdůvodnění dalšího vymezení, které se uplatní v případech, kdy šířkový úhel  $DCS$ , označený  $2\gamma$ , ležící v rovině středního, světelně těžištěního paprsku (v rovině  $\varphi$ ), pod nímž v této rovině vidíme z centra  $C$  zasklenou šířku okna, bude větší než  $2 \cdot 24^\circ = 48^\circ$ . Zdůvodnění spočívá v geometrické vlastnosti tzv. šířkové korekce  $n_{II}$  Daniljukovy soustavy, kde do hodnoty  $n_{II} = 25$  se na stupnici hodnot  $n_{II}$  uplatňuje přímá úměrnost. Jedná se o úhel  $23^\circ 30'$  (tedy přibližně o úhel  $24^\circ$ ), jenž odpovídá sinusové hodnotě  $0,4 \cdot r$  stupnice, kde  $r = 50$  Daniljukových jednotek. Nastane-li tedy případ, kdy úhel  $2\gamma = 48^\circ$  (např. při průběžných oknech), rozdělíme šířkově okno (zasklenou část) na menší díly a výsledky sečteme. Jelikož se jedná také o dimenzi  $0,5d'$ , kde  $d'$  je vzdálenost centra  $C$  od okenní stěny, měřená v rovině  $\varphi$ , tedy vzdálenost nutně větší než  $0,5d$ , v půdoryse měřená, je možno úhel  $\gamma$  v půdoryse zvětšit na úhel  $25^\circ$ , tedy na zorný úhel maximální  $2\gamma_{\max.} = 50^\circ$ . Uvedené šířkové rozdělení zasklené části okna není uplatněno v propočtu místo zimní zahrady, č. poř. IV, zorný úhel zasklené šířky okna se tu rovná přibližně  $60^\circ$ , metoda bodu  $C$  dává tu vyšší výsledek s rozdílem  $\Delta$  větším než 0,1 %.

Přímá úměrnost šířkové korekce v rovině  $\varphi$  do hodnoty  $\gamma = 24^\circ$  odpovídá přímé úměrnosti hodnot  $e_{\text{interr. min. K.}}$  s hodnotami plochy nárysů okenního skla  $W$ . Nepříznivě na tuto přímou úměrnost působí změny směrové charakteristiky  $k$  [1], což však v rámci  $0 < \gamma < 24^\circ$  se příliš neuplatní, jelikož se při dvojitém zasklení čirým sklem jedná o hodnoty jen málo se lišící od 1,0. Do výpočtu  $e_{\text{obj.}}$ ,  $e_{\text{ext.}}$  ovšem dosazujeme hodnoty  $k_\psi$  v jejich skutečných velikostech, určených podle úhlu  $\psi$  [4].

Celkem se tedy prakticky jedná pouze o vymezení možnosti uplatnění vzorec podmínkou  $\frac{d}{s} < 2,5$ .

Uvedme nyní příklady propočtů interreflexní složky metodou centra  $C$  v růz-

Předorys (na rov. π sklopná str. (svět. tež.) rovina ρ)



Obr. 2. Určení max. velikosti úhlu  $SCD = 2\gamma$ .

ných místnostech s  $\bar{\varrho} = 0,45$ , s  $\tau_K = 0,693$ . Součet  $S$  vnitřních povrchů uvažujme zjednodušeně bez započítání ostění oken a dveří, tedy s propočtem podle vzorce

$$S = 2(\bar{s}d + (\bar{s} + d) \cdot v).$$

Tabulka výsledků propočtů složky min. interreflexe při  $\bar{\varrho} = 0,45$   
 $e_{\text{interr. min.}} = 0,1 \cdot \sum_c k \%$ , kde  $k = 1 + 0,9 d/\check{s}$

Poř. č.	$z^0$	$\sum_c$ [%]	$k$ [%]	$e_{\text{interr. min.}}$ [%]	$\frac{W}{S}$	$e_{\text{interr. min. K.}}$ [%]	$\Delta$ [%]
I sklad	10	1,1773	$1 + 0,9 \cdot$ $. 6/7,5 =$ $= 1,72$	0,2024	$\frac{2,52}{171} =$ $= 0,0147$	0,210	-0,0076
II jídelna	10	$2 \cdot 1,773 =$ $= 2,3546$	$1 + 0,9 \cdot$ $. 6/7,5 =$ $= 1,72$	0,4048	$\frac{5,04}{171} =$ $= 0,0294$	0,420	-0,0152
III pracovna	10	$3 \cdot 1,1773 =$ $= 3,5319$	$1 + 0,9 \cdot$ $. 6/7,5 =$ $= 1,72$	0,6072	$\frac{7,56}{171} =$ $0,0441$	0,630	-0,0228
IV kabinet	10	2,076	$1 + 0,9 \cdot$ $. 4,5/3 =$ $= 2,35$	0,4879	$\frac{2,52}{72} =$ $0,0350$	0,500	-0,0121
V chodba	10	0,6842	$1 + 0,9 \cdot$ $. 7,5/3 =$ $= 3,25$	0,2224	$\frac{2,52}{108} =$ $0,0233$	0,340	-0,1176
IV zimní zahrada	0	6,603	$1 + 0,9 \cdot$ $. 3/3 =$ $= 1,9$	1,255	$\frac{3,802}{54} =$ $0,0704$	1,130	+0,125
VII dílna	20	$3 \cdot$ $. 0,8181 =$ $= 2,454$	$1 + 0,9 \cdot$ $. 6/7,5 =$ $= 1,72$	0,422	$\frac{6,57}{195,3} =$ $0,0337$	0,435	-0,013
VIII ateliér	10	$5 \cdot$ $. 1,773 =$ $= 5,8865$	$1 + 0,9 \cdot$ $. 6/12 =$ $= 1,45$	0,8536	$\frac{12,60}{252} =$ $0,0500$	0,730	+0,1236
IX ateliér	10	$4 \cdot$ $. 1,1773 =$ $= 4,7092$	$1 + 0,9 \cdot$ $. 6/10,65 =$ $= 1,505$	0,7089	$\frac{10,08}{226,70} =$ $= 0,0445$	0,650	+0,0589

Poznámka:

a) Je-li  $\bar{\varrho} = 0,35$ , je  $\bar{\varrho}^2 = 0,1225$ ,  $0,5\bar{\varrho}^2 = 0,06125$ ,  $e_{\text{interr. min.}} = 0,0613 \sum_c k$ , [%].

tedy: I sklad	10	1,1773	$1 + 0,9 \cdot$ $. 6/7,5 =$ $= 1,72$	0,1241	$\frac{2,52}{171} =$ $= 0,0147$	0,120	+0,0041
---------------------	----	--------	--	--------	------------------------------------	-------	---------

b) Je-li  $\bar{\varrho} = 0,55$ ,  $\bar{\varrho}^2 = 0,3025$ ,  $0,5\bar{\varrho}^2 = 0,1513$ , je  $e_{\text{interr. min.}} = 0,1513 \sum_c k$ , [%].

tedy: I sklad	10	1,1773	$1 + 0,9 \cdot$ $. 6/7,5 =$ $= 1,72$	0,3056	$\frac{2,52}{171} =$ $= 0,0147$	0,310	-0,0044
---------------------	----	--------	--	--------	------------------------------------	-------	---------

Okna uvažujme osazena do okenní stěny 45 cm tlusté s vnitřním lícem rámu ve vzdálenosti 20 cm od vnějšku zdi. Pokud nebude jinak udáno, bude se jednat o parapety 90 cm vysoké, dále o vzdálenosti protilehlých svislých, oblohu zastínujících překážek  $Z$  od průčelí budovy 10 m, okna budou uvažována ocelová, zdvojená, dvoukřídlová, podle ON 74 6231 z r. 1975. Příslušné  $W$  oken jmen. velikosti 210/180 cm se rovná

$$W = [210 - (15,5 + 11 + 15,5)] \cdot [180 - (15,5 + 14,5)] = 168 \cdot 150 = \\ = 2,52 \text{ m}^2.$$

Jedná se o okna s křídly odsuvnými — otevírávými.

Dimenze místností uvedeme v pořadí  $\check{s}/d/v$ , dimenze oken v pořadí  $\check{s}/v$  ve jmenovitých (skladebných) rozměrech.

Jsou to tyto místnosti:

- I. Sklad vel. 7,5/6/3 m s jedním oknem vel. 210/180 cm
- II. Jídelna vel. 7,5/6/3 m se dvěma okny vel. 210/180 cm
- III. Pracovna vel. 7,5/6/3 m se třemi okny vel. 210/180 cm
- IV. Kabinet vel. 3/4,5/3 m s jedním oknem vel. 210/180 cm, vzdálenost protilehlé překážky 8 m
- V. Chodba vel. 3/7,5/3 m s jedním oknem vel. 210/180 cm na úzkém čele místnosti
- VI. Zimní zahrada vel. 3/3/3 m, s jedním oknem vel. 240/240 cm, čtyřkřídlovým, se spodním poutcem, s výškou parapetu 30 cm
- VII. Dílna vel. 7,5/6/3,9 m se třemi okny vel. 150/210 cm, jednokřídlovými, podle ČSN 74 6231 z r. 1962, s výškou parapetu 150 cm, vzdálenost protilehlé překážky 8 m (viz obr. 3)
- VIII. Ateliér vel. 12/6/3 m s pěti okny vel. 210/180 cm
- IX. Ateliér vel. 10,65/6/3 m se čtyřmi okny vel. 210/180 cm

Dále znova uvažována místnost skladu (č. poř. I), ale s  $\bar{\rho} = 0,35$ ,  $\bar{\rho} = 0,55$ .

V tabulce výsledků jsou uvedeny hodnoty  $e_{\text{interr. min.}}$ , určené metodou centra  $C$  a dále hodnoty  $e_{\text{interr. min. K.}}$ , zjištěné z diagramu Kittlerova. Uveden také rozdíl  $\Delta [\%] = e_{\text{interr. min.}} - e_{\text{interr. min. K.}}$  s příslušným znaménkem.

Připomeňme, že uvedené minimální hodnoty interreflexní složky se normálně uvažují jako složky osvětlenosti v bodech  $M_{\text{min.}}$ , extrémně vzdálených od okenní stěny, ležících na vodorovné rovině  $\mu$  ve výšce 85 cm nad podlahou (v těsné blízkosti zadní stěny se projevuje mírné zvýšení interreflexní složky).

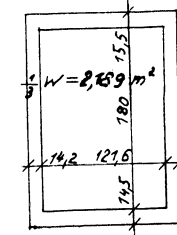
Z přehledu výsledků plynou malé hodnoty rozdílů  $\Delta [\%]$  mezi výsledky obou metod. Tyto rozdíly jsou nižší než 0,1 % až na případ chodby (č. poř. V), kde nebyla splněna podmínka  $(d/\check{s}) < 2,5$ , dále až na případ zimní zahrady (č. poř. IV), kde nebyla po šířce rozdělena zasklená část okna, ač půdorysný zorný úhel je větší než 50°, a na případ ateliéru o šířce 12 m (č. poř. VIII), kde nebyla správně šířka místnosti rozdělena, ačkoliv  $d/\check{s} = 0,5$ .

Výsledky tedy ukazují na správnost uvedených zjištění, týkajících se tvaru a možností použití vzorec metod centra  $C$ .

Na obr. 3 je znázorněna grafická konstrukce řešení interreflexní složky v dílně (č. poř. VII), a to stupnicovou formou Daniljukovy metody [5]. Malá odchylka roviny  $\varphi_{\text{ext.}}$  od vodorovné umožňuje použití půdorysu místnosti ke zjištění šířkové korekce  $n_{\Pi\text{ext.}}$ . V praxi úsporně nerýsujeme celou místnost, neboť postáčí znázornění jednoho okna, příslušného centra  $C$  a římsy  $\check{R}$ .

Poznamenejme, že článek navazuje na autorův příspěvek, jenž byl publikován v č. 4/82 tohoto časopisu pod názvem „Použití Daniljukovy metody ke zjištění interreflex denního bočního světla“. Z celkem 15 případů místností byl tam odvozen výpočtový vzorec při uvažování symetrického rozmístění oken vůči ose  $MC$ ,

Nárys okna  
(ocel., zdvojení, ČSN 746231)



$$\text{Pro } 3 \text{ okna } W = 6,57 \text{ m}^2$$

Průměr na rovině pohl.

10,2

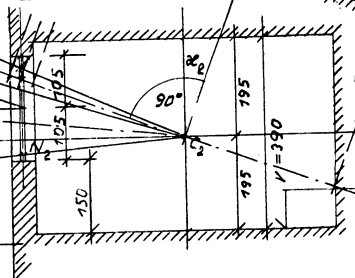
10,2

25

25

$$r_{\text{pohl.}} = 10,2 + 10,2 = 20,4$$

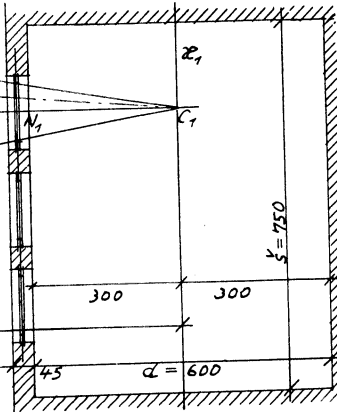
Rez



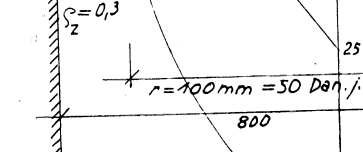
$$r_{\text{pohl.}} = 5,2$$

$$r_{\text{ext.}} = 19,5$$

Předorys



$$r_{\text{ext.}} = 11 + 11 =$$



$$\psi = 5^\circ$$

$$K_{\text{ext.1}} = 0,99$$

$$z = 0,3$$

$$z_2 = 0,3$$

$$r = 100 \text{ mm} = 50 \text{ Dm. i.}$$

přičemž centrum  $C$  bylo jako společné voleno uprostřed šířky místnosti, jakožto těžiště hranolu interiéru, hodnoty diagramu Kittlerova byly vzhledem na různost případů redukovány (zabezpečeny) činitelem  $\tau_K$ .

### Závěr

Zvýšená pracnost při určování složky  $e_{\text{interr. min.}}$  metodou centra  $C$ , plynoucí z nutnosti zjišťovat hodnotu  $\Sigma_C$ , přináší své výhody možnosti přímého koeficientového násobení, reagujícího na značnou část světelného toku z exteriéru do interiéru prouducího, tedy výhody možnosti navázání na převážnou světelnou kvalitu prostředí vnějšího i vnitřního, kde uplatníme výškové umístění a tvar oken, tvar místnosti a její barevné vybavení. Metoda centra  $C$  navádí také na možnost experimentálního studia změn interreflexe v bočně jednostranně denním světlem osvětlených místnostech měřením osvětlenosti, vznikající externím světelným tokem, v bodech  $C$ , umístěných na okenních osách a na svislé, v tomto případě materiální rovině  $\pi$ .

### LITERATURA

- [1] ČSN 73 0511 „Denní osvětlení průmyslových budov“ z 25. 6. 1955 (platná do 1. 1. 1968).
- [2] ČSN 36 0035 „Denní osvětlení budov“ (účinnost od 1. 1. 1968).
- [3] J. Matoušek: Komentář k ČSN 36 0035 „Denní osvětlení budov“ (vyd. ÚNM, Praha 1969).
- [4] R. Kittler — L. Kittlerová: Návrh a hodnotenie denného osvetlenia — 2. vydanie Alfa, Bratislava 1975.
- [5] J. Vrtěl: Geometrická upřesnění při aplikaci Daniljukovy metody a stupnicová grafická metoda (sborník „Světelně technický návrh IV, D. T., Praha 1978).
- [6] J. Vrtěl: Poznámky k optimálnímu řešení osvětlovacích otvorů (Zdravotní technika a vzdutotechnika č. 2/81).

### МЕТОД КОЭФФИЦИЕНТОВ ДЛЯ ОПРЕДЕЛЕНИЯ ИНТЕРРЕФЛЕКСНОЙ СОСТАВЛЯЮЩЕЙ ПРИ БОКОВОМ ДНЕВНОМ ОСВЕЩЕНИИ

*Инж. арх. Ярослав Вртэл*

Автор предлагает, объясняет и выводит упрощение и комплектование расчета интеррефлексной составляющей дневного освещения и предлагает метод и пособие. Приведенная составляющая дневного освещения имеет принципиальное значение для качества световых условий в пространстве. Затруднительность определения, или же неточная оценка, приводила к пренебрежению и макировке составляющей, которая имеет значительное энергетическое значение.

### COEFFICIENT METHOD OF THE INTERREFLECTIVE COMPONENT DETERMINATION WITH THE LATERAL DAY LIGHTING

*Ing. arch. Jaroslav Vrtěl*

The author proposes, supports and derives simplification and completing of the calculation of the day lighting interreflective component. The author describes the method and the aid, too.



Obr. 3. Grafické určení hodnoty  $\sum_C$  pro výpočet  $e_{\text{interr. min.}}$  v místnosti dílny (č. poř. VII)  
 $q = 0,43 + 0,86 \cdot 0,353 = 0,734$   
 $e_{\text{obl.}} = 5,2 \cdot 20,4 \cdot 0,01 \cdot 0,734 \cdot 0,693 \cdot 0,96 \% = 0,5181 \%$   
 $e_{\text{ext.}} = 19,5 \cdot 22 \cdot 0,01 \cdot 0,1 \cdot 0,693 \cdot 0,99 \% = 0,3000 \%$

$$\text{Pro jedno okno } \frac{1}{3} \sum_C = 0,8181 \%$$

$$\text{Pro tři okna } \sum_C = 2,4543 \%$$

The day lighting component is very important for the light conditions in space. Difficulty of determination, inaccurate assessment if you like, is the reason for which the component with considerable power significance has been omitted and neglected.

## KOEFFIZIENTMETHODE ZUR BESTIMMUNG DER INTERREFLEXIONSKOMPONENTE BEI DER SEITLICHEN TAGESLICHTBELEUCHTUNG

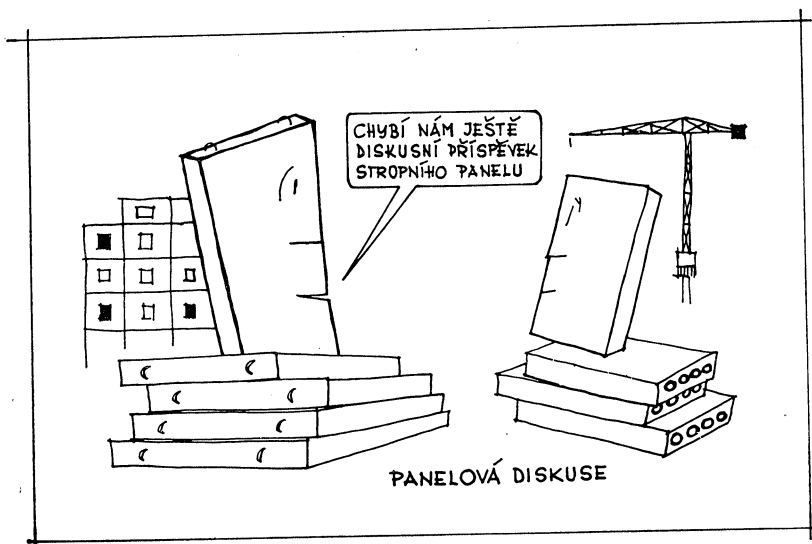
Ing. arch. Jaroslav Vrtěl

Der Autor entwirft, belegt und leitet die Vereinfachung und Komplettierung der Berechnung der Interreflexionskomponente der Tageslichtbeleuchtung ab. Er legt die Methode und das Hilfsmittel vor. Die angegebene Komponente der Tageslichtbeleuchtung hat grundsätzliche Bedeutung für die Qualität des Lichtmikroklimas in einem Raum. Die Schwierigkeit der Bestimmung, respektive ungenaue Abschätzung, hat die Unterlassung und Vernachlässigung der Komponente, die beträchtliche energetische Bedeutung hat, verursacht.

## MÉTHODE DES COEFFICIENTS POUR LA DÉTERMINATION DE LA COMPOSANTE D'INTERREFLEXION À L'ÉCLAIRAGE NATUREL LATÉRAL

Ing. arch. Jaroslav Vrtěl

L'auteur élabore, démontre et déduit la simplification et le complètement du calcul de la composante d'interreflexion de l'éclairage naturel. Il présente la méthode et les aides. La composante présentée de l'éclairage naturel a l'importance de principe pour la qualité du microclimat lumineux dans un espace. La difficulté de la détermination, c'est-à-dire l'évaluation inexacte, a causé l'omission et la négligence de la composante qui a l'importance énergétique considérable.



# K APPROXIMACI CHARAKTERISTIK VENTILÁTORŮ

ZDENĚK SVOBODA

VÚV, Praha

Aby bylo možné spolehlivě odhadnout průběh tlakové charakteristiky ventilátoru v okolí bodu s největší účinností, je třeba s velkou přesností určit maximum charakteristiky. To se zjišťuje regresí pomocné funkce, která je v článku analyzována.

Recenzoval: Ing. Zdeněk Moravec, DrSc.

## 1. ÚVOD

Aerodynamické vlastnosti ventilátorů se posuzují podle tzv. charakteristik [1], [2]. Pro jejich funkční vyjádření a grafické znázornění na kreslicím zařízení (plotteru) se používají ve Výzkumném ústavu vzduchotechniky Praha regresní approximace podle [3].

Nejdůležitější částí tlakové charakteristiky je její konkávní část v okolí bodu s největší účinností, kde je approximována posunutou mocninnou funkcí. Posunuté vyjádřeno souřadnicemi jejího maxima, jež se počítají regresí pomocné funkce, která je v další části článku analyzována.

## 2. ANALYZA POMOCNÉ FUNKCE

Podle [3] se lokální maximum tlakové charakteristiky hledá metodou nejménších čtverců (dále jen MNČ) jako maximum pomocné funkce (1):

$$\psi = a \cdot \varphi^b \cdot e^{c\varphi}, \quad (1)$$

kde  $\psi$  je tlakové číslo,

$\varphi$  — průtokové číslo,

$a > 0$  — parametr (součinitel),

$b > 0$  — parametr (exponent),

$c < 0$  — parametr (součinitel exponentu).

Podle [4] jsou parametry  $a$ ,  $b$ ,  $c$  vypočítány z transformovaného tvaru (2):

$$\psi_T = a_T + b\varphi_T + c\varphi, \quad (2)$$

kde  $\psi_T = \ln \psi$  je transformovaná hodnota  $\psi$ ,

$a_T = \ln a$  — transformovaná hodnota  $a$ ,

$\varphi_T = \ln \varphi$  — transformovaná hodnota  $\varphi$ .

Funkce (2) je lineární co do parametrů  $a_T$ ,  $b$ ,  $c$ , ale nezávisí lineárně na argumentu.

Na obr. 1 jsou znázorněny obě funkce v závislosti na průtokovém čísle  $\varphi$ . Parametry jsou u funkce (1)  $a = 1,5$ ,  $b = 2$ ,  $c = -0,5$ , u funkce (2)  $a = \ln 1,5$ ,  $b = 2$ ,  $c = -0,5$ .

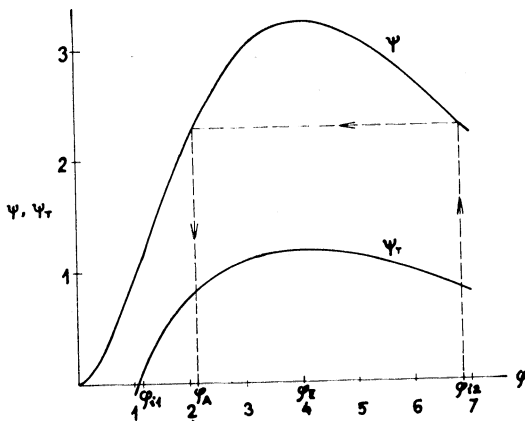
V [3] bylo ukázáno, že pro  $a > 0$ ,  $b > 0$ ,  $c < 0$  platí (3), (4):

$$\varphi_E = \frac{b}{|c|}, \quad (3)$$

$$\varphi_{i1,2} = \varphi_E \pm \frac{\sqrt{b}}{|c|} = \frac{b \pm \sqrt{b}}{|c|}, \quad (4)$$

kde  $\varphi_E$  je argument extrému (lokální maximum),

$\varphi_{i1,2}$  — argument inflexního bodu.



Obr. 1. Graf pomocné funkce a jejího transformovaného tvaru.

Rovnici (3) získáme jako první derivaci  $d\psi/d\varphi$  i  $d\psi_T/d\varphi$ . Z (1), (3), (4) vyplývá pro poměr funkčních hodnot v bodu  $\varphi_{i1,2}$  a  $\varphi_E$ :

$$\frac{\psi_{i2}}{\psi_E} = \left(1 + \frac{\sqrt{b}}{b}\right)^b \cdot e^{-\sqrt{b}}, \quad (5)$$

kde  $\psi_{i2} = f(\varphi_{i2})$  je funkční hodnota v bodě  $\varphi_{i2}$ ,

$\psi_E = f(\varphi_E)$  — funkční hodnota v bodě  $\varphi_E$ .

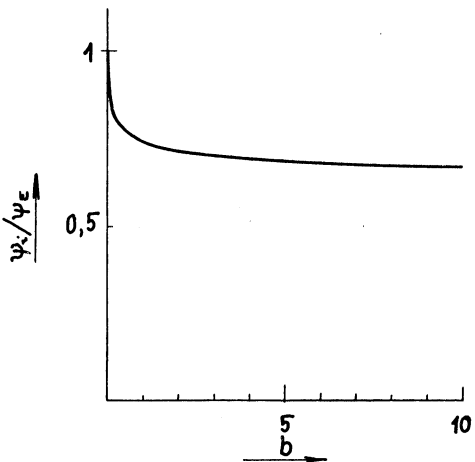
Funkce (5) je zajímavá tím, že závisí pouze na parametru  $b$ . Funkce (5) je klesající a má limitu (6):

$$\lim_{b \rightarrow 0} \left(1 + \frac{\sqrt{b}}{b}\right)^b \cdot e^{-\sqrt{b}} = \lim_{b \rightarrow 0} \left(1 + b \cdot \frac{\sqrt{b}}{b}\right) \cdot e^{-\sqrt{b}} = 1, \quad (6)$$

V tab. 1 je vypočteno několik funkčních hodnot funkce (5) v závislosti na  $b$ . Uvedená funkční závislost je graficky znázorněna v obr. 2 pro argument  $b \in \langle 0; 10 \rangle$ . Z obr. 2 je patrné, že pro  $b > 2$  klesá funkce (5) jen velmi pomalu. Parametry  $a_T$ ,  $b$ ,  $c$  se počítají z bodů, jejichž funkční hodnoty leží v intervalu

Tab. 1. Tabulka hodnot  $\psi_{i2}/\psi_E = f(b)$ .

b	0	0,01	0,1	1	2	6	10	100
$\psi_{i2}/\psi_E$	1	0,927	0,841	0,736	0,708	0,673	0,661	0,626



Obr. 2. Graf závislosti  $\psi_{i2}/\psi_E = f(b)$ .

$\langle \psi_{i2}; \psi_E \rangle$  nebo užším. Podle tab. 1 pro  $b \leq 10$  tomu odpovídá interval  $0,661 < \psi_{i2}/\psi_E < 1$  a podle obr. 1 interval argumentů  $\langle \varphi_A; \varphi_{i2} \rangle$ . V něm jsou obě funkce konkávní a mají společné maximum v bodu  $\varphi_E$ . Transformací funkce (1) na funkci (2) se změní i odchylky změřených bodů. Deformace jsou však méně výrazné než u transformace linearizací a proto se dá očekávat, že odhad parametrů  $a = e^{at}$ ,  $b$ ,  $c$  vypočítaný z funkce (2) bude dostatečně přesný. Je to ověřeno v dalším odstavci na příkladu.

### 3. STATISTICKÝ ODHAD PARAMETRŮ $a$ , $b$ , $c$

Na obr. 1 je naznačen graf pomocné funkce (1), kde  $a = 1,5$ ,  $b = 2$ ,  $c = -0,5$ . V intervalu  $\varphi \in \langle 3,2; 6,8 \rangle$  je zadán 20 body s ekvidistantním krokem 0,4 kde  $[\varphi_i; \varphi_{i+1}]$  a  $[\psi_i + 0,2; \psi_{i+1} - 0,2]$  platí pro  $i = 1, 3, 5, \dots, 19$ . Výpočtem MNČ z transformovaného tvaru (2) byly podle [3] vypočítány v dvojitě přesnosti parametry uvedené v první řadce tab. 2. Po zavedení vah  $w_i = (\Delta\psi_i/\Delta\psi_{Ti})^2$  podle [5] byly čtyřmi iteracemi vypočítány parametry uvedené v druhé řadce tab. 2. Iterace skončily tehdy, když relativní odchylky nových a předchozích parametrů byly menší než 0,000 01. V obou řadcích jsou také vypočítány souřadnice lokálního

Tab. 2. Srovnávací tabulka parametrů a souřadnic maxima  $\varphi_E$ .

$a$	$b$	$c$	$x_E$	$x_E$
1,490 51	2,011 27	-0,502 78	4,000 28	3,242 05
1,509 24	1,989 16	-0,497 31	3,999 80	3,254 07
1,5	2	-0,5	4	3,248 05
1,499 88	2,000 22	-0,500 05	4,000 04	3,248 06

maxima  $x_E$ ,  $y_E$ . Ve třetí řádce jsou uvedeny přesné parametry funkce (1). Ve čtvrté řádce je průměr z hodnot z první a druhé řádky. Uvedené parametry se blíží přesným hodnotám z řádky třetí nejvíce.

Z tab. 2 je patrné, že se iteracemi nezískaly přesnější výsledky než přímým výpočtem z transformované funkce (2). Váhami  $w_i$  se totiž opravují diference nelineární konkávní funkce (2), která se v intervalu argumentů  $\langle \varphi_A; \varphi_{12} \rangle$  tvarem grafu příliš neliší od grafu původní funkce (1), jak je vidět z obr. 1. Ve výpočtu interacemi podle [5] se to projevilo málo odlišnými vahami  $w_i$  ( $w_1 = 9,019\,47$ ,  $w_{10} = 9,922\,09$ ,  $w_{20} = 10,480\,91$ ).

#### 4. ZÁVĚR

Při hledání lokálního maxima tlakové charakteristiky ventilátorů  $\psi = f(\varphi)$  se používá pomocné regresní funkce (1).

V článku je ukázáno:

- argument maxima  $\varphi_E$  je společný pro funkci (1) i pro její transformovaný tvar (2),
- odhad parametrů  $a = e^{at}$ ,  $b$ ,  $c$  vypočítaný MNČ z transformované funkce (2) je dostatečně přesný pro výpočet bodů, kde funkční hodnoty hledané funkce leží v intervalu  $0,6 < \psi_{12}/\psi_E < 1$ .
- poměr funkčních hodnot  $\psi_{12}/\psi_E$  je funkci  $b$  podle (5)
- nejpřesnější odhad parametrů  $a$ ,  $b$ ,  $c$  lze v intervalu  $\langle \varphi_A; \varphi_{12} \rangle$  stanovit jako průměr z hodnot získaných výpočtem MNČ podle [3] a výpočtem s vahami podle [5].

#### LITERATURA

- [1] Čermák, J. a kol.: Ventilátory, SNTL, Praha 1974.
- [2] ON 12 3061 Ventilátory, účinnost od 1. 5. 1978.
- [3] Svoboda, Z.: Aproximace charakteristik ventilátorů, Zdravotní technika a vzduchotechnika č. 3, roč. 26 (1983).
- [4] Svoboda, Ot.: Program 80 020 — Aprox (Aproximace několika funkcí MNČ), 1980.
- [5] Svoboda, Z.: Linearizované a kvazilinearizované regrese, Zdravotní technika a vzduchotechnika, č. 1., roč. 27 (1984).

#### АППРОКСИМАЦИЯ ХАРАКТЕРИСТИК ВЕНТИЛЯТОРОВ

Зденек Свобода

Чтобы было можно хорошо определить ход нагнетательной характеристики вентилятора в окрестности точки с самой максимальной эффективностью, надо с большой точностью определить максимум характеристики. Это установится регрессией вспомогательной функции, которая анализируется в статье.

#### AN APPROXIMATION OF FAN CHARACTERISTICS

Zdeněk Svoboda

In order that it would be possible to estimate reliable the course of the fan pressure characteristic in neighbourhood of the maximum efficiency point, it is necessary to determinate very precisely maximum of the characteristic. It is investigated by regression of the auxiliary function which is analysed in the article.

**VZDUCHOTECEVNICKÁ ZAŘÍZENÍ PRO LÁZNĚ POVRCHOVÝCH ÚPRAV  
(DOKONČENÍ)**

*Ing. Leopold Kubíček*

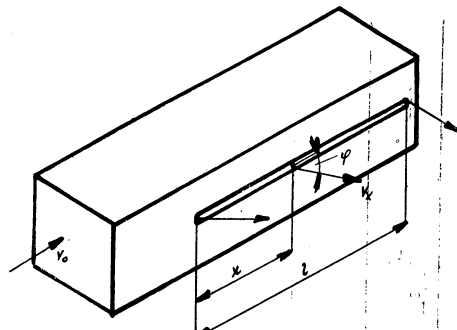
**10. Dodatek — všeobecné konstrukční údaje  
k odsávacím zařízením**

**10.1 Dimenzování odsávacího potrubí**

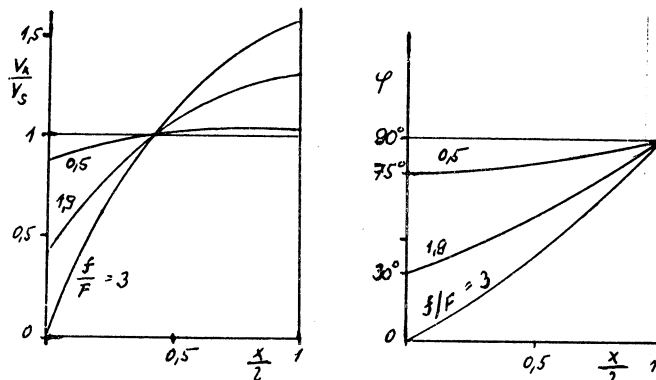
Průřez odsávacího potrubí má být dimenzován tak, aby rychlosť v něm se pohybovala mezi 7 až 20 m/s, přičemž její velikost je především limitována hladinou hluku.

**10.2 Rovnoměrné rozdělení vzduchu  
ve štěrbinách**

Jedna z nejčastějších příčin špatné funkce odsávacích zařízení je nesprávné (nerovnoměrné) rozdělení odsávaného nebo přiváděného vzduchu.



Obr. 11. Štěrbinová komora přiváděného vzduchu.



Obr. 12. Závislost rychlosti a úhlu vylétajícího proudu vzduchu ze štěrbiny na vzdálenost od jejího začátku.

Komora přiváděného vzduchu, kde  $F$  je plocha jejího průřezu s průtočnou střední rychlosťí  $v_0$ ,  $f$  je plocha otvoru štěrbiny vystupujícího vzduchu,  $v_x$  je rychlosť vyfukovaného vzduchu ve vzdálenosti  $x$  od začátku štěrbiny,  $l$  je délka štěrbiny,  $\varphi$  je úhel, který svírá vytékající vzduch s rovinou štěrbiny (obr. 11). Je-li poměr  $f/F$  velký, vzduch vytéká zejména na konci štěrbiny, přičemž na jejím začátku z ní vytéká nejsíkměj. Aby rozložení výtoku ze štěrbiny bylo přijatelné, měl by být poměr  $f/F$  menší než 0,5, jak je patrné z grafu na obr. 12, kde  $\bar{v} = v_x/v_0$ , tj. poměr skutečné rychlosťi v daném bodě štěrbiny ke střední výtokové rychlosťi ze štěrbiny  $v_s$ , neboli rychlosť v tlakové komoře  $v_0$  má být nejvýše poloviční než střední výtoková rychlosť  $v_s$ . V takovýchto případech bude se úhel výtoku vzduchu ze štěrbiny  $\varphi$  pohybovat mezi 75° na začátku a 90° na konci štěrbiny. Pokud je to možné, měl by poměr  $v_s/v_0$  být alespoň 3.

Předchozí úvahy mohou být použitelné

i v případě odsávání. Rychlosťi ve štěrbinách se běžně pohybují okolo 10 m/s a v komorách mezi 3 až 5 m/s.

**Příklad:**

Štěrbinou délky 1 m se odsává objemový průtok vzduchu  $1,5 \text{ m}^3/\text{s}$ . Je třeba určit parametry zařízení, aby se zajistilo co nejrovnoměrnější rozdělení vzduchu ve štěrbině konstantní šířky.

Zvolíme střední rychlosť ve štěrbině  $v_s = 10 \text{ m/s}$ ; šířka štěrbiny pak bude  $1,5/10 = 0,15 \text{ m}$  a průřez sací komory minimálně  $2 \times 0,15 = 0,3 \text{ m}^2$ . Pak rychlosť vzduchu na výstupu z komory bude nejvíce polovina střední rychlosťi vzduchu ve štěrbině, tj.  $v_0 \approx 0,5 v_s = 5 \text{ m/s}$ .

Pokud odváděný vzduch po vstupu do štěrbiny nemění směr, takže sací komoru tvoří vlastně konfuzor, pak pro rovnoměrné rozložení vzduchu po celé délce štěrbiny je doporu-

Tabuľka 7. Klasifikácia hlavných postupov používaných v povrchových úpravách

Druh liazne	Toxickej látky náchýlné k uvoľneniu	Charakteristika	Teploplota [°C]	Tryda
<b>Odmášťovanie chemické</b> železo, miedz, zinek, hliník a slityny	louh a alkalické sloučeniny	aa	40—80	C3-C2 (1)
<b>Odmášťovanie elektrolytické</b> — železo, miedz, zinek, hliník a slityny	louh, alk. sloučeniny, kyanidy	aa + ca	20	C3-C2 (1)
<b>nekyanidové</b> — železo, miedz, hliník,	louh, alkalické sloučeniny	aa	20—70	C3-C2 (1)
<b>Moření železa</b>				
<i>kyselé</i>	kyselina solná	pk	20	A4-A2 (2)
— litina, ocelolitina	kyselina solná	pk	70—80	A2
— železo s pájkou	k. dusičná a fluorovodíková	kyслиč. dusíku + pk	20—60	A4-A2
— nerez	louh sodný	aa	80—100	C1
<i>alkalické</i>				
— príprava a odrezovanie	kyselina sírová	ka	20	C4
	kyselina dusičná a solná	kyслиč. dusíku + pk	20	A2
	k. sírová a dvojchroman	ka	20	B4
	k. sírová a peroxid vodíku	aa + okysličovadlo	20	C3
	kyselina dusičná a sírová	kyслиč. dusíku + pk	20	A2
<b>Moření miedzi</b>				
dekapovanie	kyselina sírová	ka	20	A4-A2 (1)
príprava a chemické leštění	kyselina dusičná a solná	kyслиč. dusíku + pk	20	A2
chromové mořenie	k. sírová a dvojchroman	ka	20	A4-A2 (3)
mořenie peroxidem vodíku	k. sírová a peroxid vodíku	aa	40—60	C3-C2 (1)
matovací lázeň	kyselina dusičná a sírová	aa	50	C2
<b>Moření hliníku</b>				
<i>kyselé</i>	kyselina sírová a chromová	ka	20—70	A4-A2 (1)
— síro-chromové	k. dusičná a fluorovodíková	kyслиčníky dusíku	20	A2
— dusično-fluorovodíkové	kyselina dusičná	ka	20	A4-A2 (3)
— dusičné	kyseľina fosforečná	aa	40—60	C3-C2 (1)
— fosforečné	louh a alkalické sloučeniny	aa	50	C2
<i>alkalické</i>	louh sodný	aa		
leštění (satinování)				
<b>Moření elektrolytické</b>	kyselina sírová	ka	20—60	B3-B2 (1)
mořenie a anodický rozklad	kyselina fosforečná	ka + ca	90—95	A1
<b>Leštění elektrolytické</b>	kyanidy	aa + ca	20	C3-C2 (4)
hliník a slityny				
stříbro				

zlato měd a slitiny, železo nebez	kyanidy k. fosforečná a sírová kyselina fosforečná	aa + ca ka ka	60 60—70 110	C1 B2 B1
<b>Léstění chemické</b> hliník, měd a slitiny	k. dusičná a octová	kyslič. dusíku + pk	55—110	A2-A1 (1)
<b>galvanické pokrování alkalické</b> <i>stříbření</i> — kyanidové — lesklé kyanidové kadmiováni kyanidové mědění — kyanidové — pyrofosforečnanové <i>zlacení</i> — zlatá lazeň, slabé zlacení, slitiny zlata — sírozlatanová lazeň cínování <i>zinčkování</i> — kyanidové — nekyanidové <i>Růžové slitiny</i> — mosaz — bronz	kyanid z z z kyanid z z z kyanidy z iouh, cínové soli iouh kyanidy iouh kyanidy kyanidy	aa + ca aa aa aa aa + ca aa aa + ca aa aa + ca aa + ca aa + ca	15—25 15—25 20—25 40—60 60 20—65 20—40 75—80 20—25 20—25 20—50 65	D4 D4 D4 C4-C3 (1) C3 C4-C3 (1) D4-D3 C2 C3 C3-C2 (4) C3-C2 (5) C2
<b>galvanické pokrování kyselé</b> kadmiování <i>chromování</i> — síranové, fluoridové a černé chromování trojmočeným chromem kobaltování mědění — síranové (matové, lesklé) — fluoroboritanové <i>cínování</i> — síranové (matové, lesklé) — fluoroboritanové — halogenové (matové, lesklé) — halogenové cín—níkli cín—olovo — matové	kyselina sírová k. sírová a chromová kyselinová z kyselina sírová fluoroboritan z fluoroboritan fluoridy halogeny cínu a niklu fluoroboritany	ka ka + Cr (VI) ka vodní pára ka a. fluoroboritanový z a. fluoroboritanový a. halogenový a. halogenový a. fluoroboritanový	15—30 30—55 20—25 45—60 20 20—25 20—40 65 70 20	B4 A1 C3 D3-D2 B4 C3 C4 C3 C2 C3

Pokračování tab.

Druh lázně	Toxicitě látky náčelné k uvolnění	Charakteristika	Teplota [°C]	Třída
— lesklé <i>cíto—fekalit</i>	formaldehyd	páry	20	A2
— síranové	z fluoridy	vodní pára a. halogenový	40—45 65—70	D3 C2
— halogenové	z	vodní pára	30—70	D3-D2 (1)
<i>železo</i>	fluoroboritan	a. fluoroboritanový	65—65	C2
— síranové	amidosulfonan	a. amidosulfonanový	20	C4
<i>indium</i>	fluoroboritan	a. fluoroboritanový	20—30	C3
— amidosulfonanové	síran niklu	a. síranu niklu	20—30	A2 (6)
— fluoroboritanové	síran a chlorid niklu	a. síranu a chloridu niklu	45—55	C3-C2 (4)
<i>nikl</i>	z	z	20—25	C4
— síranové	amidosulfonan niklu	a. amidosulfonanový	45—55	C3-C2 (4)
— Wattova lázeň	fluoroboritan niklu	a. fluoroboritanový	40—45	C3-C2 (4)
— černý nikl	fluoroboritan	a. fluoroboritanový	25—40	C3 (3)
— amidosulfonanové	k. fluorovodíková	+ pk		
— fluoroboritanové	z	vodní pára	35—50	D3
olovo	chlorid zincenatý	a. chloridový	20—25	C3
<i>rhodium</i> : lázeň síranová nebo fosfátová	fluoroboritan	a. fluoroboritanový	25—40	C3
<i>zinek</i>	z	z	20—35	D4-D3
— chloridové	z	z	20—25	D4
— fluoroboritanové	z	z	25	D4
<b>pokrování chemické</b>		vodní pára	80	D2
— kyanidové: stříbro na mědi a slitinách		pára formalinu	20—25	A3
— kyselé: měď na železe	zinek na hliníku a slitinách	vodní pára	95	D1
— fluoroboritanové: zinek—nikl na hliníku	z	ka	20—100	C3-C1 (1)
<i>cín</i> na mědi	a. slitinách	síran niklu	98—100	C1
— měď na kovech nebo plastech	formaldehyd	soli niklu	aa	
— zlato na kovech	z			
— nikl na kovech nebo plastech: kyselé alkalicke s bórhydridem				

**odstraňování kovů chemické**  
různé kovy na hliníku a plastu ABS  
kadmium a zinek na oceli a litině,  
chrom na železe

**kadmium na železe a oceli:**

- dusičnanem amonným
- persiranem mosazním
- kadmium—cín na oceli, mosazi nebo mědi měd a mosaz na železe a olovu
- měd a mosaz na oceli
- stříbro na mědi, mosazi, pakfongu
- én na mědi a mosazi*
- kyselá lázeň
- chlorovodíková lázeň
- fosforečnanová lázeň

olovo na oceli  
zlato—stříbro na mědi a slitinách  
cín—zinek na železe  
nikl na hořčíku

**odstraňování kovů elektrolytické**  
nikl, měd, mosaz na oceli — dusičnanová lázeň

nikl na mědi mosazi, oceli  
měd, mosaz, kadmium, zinek na oceli; zlato,  
stříbro na oceli; železo, nikl-kyanidová l.  
olovo na oceli, cín na oceli a mědi  
chrom na niklu  
nikl, měd, mosaz na zinku a slitinách  
cín—nikl na železe

**odstraňování eloxování na hliníku**

*odbarování bez odstraňování*

- dusičná lázeň
- sirová lázeň

*odstraňování*

- alkalická lázeň
- kyselá lázeň

**eloxovačování**

- himíkové  
— horšíkové: lázeň kyselá  
neutrální  
zásaditá

—	kyselina dusičná kyselina solná	dusitanové páry pk	20 20	A2 A4
z	z čpavek kyselina solná k. chromová a sirová kyanidy k. sirová a dusičná	čpavek chlorovodík ka aa + ca kysličník dusíku + pk pk pk vodní pára pk aa + ca aa + vodní pára fluorovodík	20 20 20—50 20—70 80	D4 B3 A2 A3-A2 (1) C3-C2 (1) A1
z	kyselina octová k. chlorovodíková zádné k. octová, peroxid vodíku kyanidy louh sodný, k. fluorovodíková	kyselina octová k. chlorovodíková zádné k. octová, peroxid vodíku kyanidy louh sodný, k. fluorovodíková	20 20—40 50—60 20 20 100 20	A3 A-3A2 D2 A2 C2 C1 A2
z	dusičnan sodný kyselina sirová	dusičnan sodný kyselina sirová	20 20	C3 B3
z	kyanidy, louh louh louh kyselina sirová kyselina sirová	aa + ca aa aa ka ka	20—50 40—80 20—40 50 20	C3-C2 (1) C2-C1 (1) C3-C2 (1) B2 B3
z	kysličník dusíku z	kysličník dusíku z	20—30 30	A4-A3 (1) D4
louh z	aa vodní pára	aa vodní pára	40—70 90—100	C3-C2 (1) D1 (8)
z	z kyselina dusičná z	z kysličník dusíku + ka vodní pára vodní pára	20—25 90 100	D4 (9) A3 D1 D1

Pohračování tab.

Druh lázně	Toxicitě látky náchylné k uvolnění	Charakteristika	Teplota [°C]	Třída
— kadmiové	z	z vodní pára	20 80	D4 D2
— ciniové	z	z	20	D4
— zinkové, měděné, stříbrné	z	z	20	D4
<i>pasivace</i>	— irizovaná na kadmium a zinku; zelená na zinku a khaki na kadmium; černá na zinku	z	20	D4
— nerez	—	kyselina dusičná	20	A4
<i>oxidace</i>	— hliník a slitiny	z louh sodný	2 120—130	D4 (10)
<i>fosfationání</i>	— železo a ocel (brynýrování a bronzování)	z vodní pára	50 50—80	D3 D3-D2 (12)
— hliník	—	z vodní pára	—	—
— železo, zinek	z	—	—	—
<b>eloxování hliníku a jeho slitin</b>				
střanové	kyselina sírová	ka ka vodní pára	20 40 55	B3 A3 D3
chromové	kyselina chromová	z	20—40	D4
oxálové	—	z vodní pára	90—100	D1
barvení eloxovaných předmětů	—	—	—	—
naplavování	—	—	—	—

Vysvětlení: *k* — kyselina, *ka* — kyselý aerosol, *pk* — alkaličký aerosol, *pk* — páry kyselin, *ca* — kyanidový aerosol, *a* — aerosol,  
*z* — zanedbatelné

(1) — nejvyšší třída (nejislnější emise) odpovídá oblasti nejvyšších provozních teplot

(2) — pro koncentrace HCl < 15 % — A4, > 15 % — A3-A2

(3) — pro koncentrace < 20 % — A4, 20—50 % — A3, > 50 % — A2

(4) — emise jsou funkcí hustoty proudu

(5) — třída C3 odpovídá slabému mosazení při nízké teplotě, třída C2 silnému mosazení při teplotě lázně přes 50 °C

(6) — v případě postupu s neropustnými anodami

(7) — v případě použití volkých hustot proudu je možný únik kyselin fluorovodíkové a tedy vyšší třída ohrožení

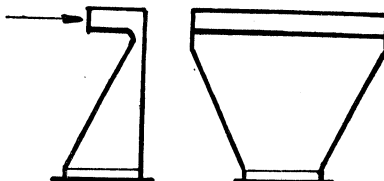
(8) — bez rozkladu hliníku

(9) — možnost mírného úniku par kyselin fluorovodíkové

(10) — hlavní nebezpečí vzniká z případného stříkaní

(11) — možnost úniku par kyselin fluorovodíkové

(12) — možnost úniku dusitanových par



Obr. 13. Konfuzorová štěrbinová sací komora se seškrcením.

ručený úhel zúžení konfuzoru  $60^\circ$ , avšak v žádém případě nemá být překročen úhel  $90^\circ$ . V případech, kde z dispozičních důvodů nelze použít jednoho takového dlouhého konfuzoru, je možno instalovat dva nebo více kratších vedle sebe. Rovnoměrnost rozdělení vzduchu lze dosáhnout, popř. ji zlepšit seškrcením. Jeho účinek tkví ve vytvoření tlakové ztráty v sousedství štěrbiny. Obr. 13 uvádí příklad sací komory ve tvaru konfuzoru se seškrcením, kde jsou proud vzduchu vstupujícího do štěrbiny a procházejícího komorou vzájemně kolmé.

Za účelem rovnoměrného rozložení vzduchu po štěrbině lze použít i jiných způsobů, jako

- soustavu vodicích lopatek,
- štěrbiny proměnné šířky,
- komory proměnného průřezu.

Výpočet takového řešení je však složitý a zaregulování velmi citlivé, a proto se doporučuje dát přednost systémům s konstantní šířkou štěrbiny a se sací komorou nebo konfuzorem, řešeným podle uvedených doporučení.

Vše co bylo výše řečeno, platí i pro přívod vzduchu.

### 10.3 Rozdělení vzduchu mezi jednotlivé lázně

Předchozí staf pojednávala o rovnoměrném rozložení vzduchu u jedné lázně. Avšak stejně je třeba zajistit i rozdělení celého objemového průtoku ke všem zdrojům škodlivin, podle jejich potřeby a v průběhu provozu sledovat, aby případné rozladění systému nevedlo ke snížení účinnosti odsávacího zařízení jako celku.

## LIKVIDACE MĚSTSKÉHO A PRŮMYSLOVÉHO ODPADU RECYKLACÍ DRUHOTNÝCH SUROVIN

*Ing. Rudolf Stolařík*

V roce 1982 uspořádala pobočka ČSVTS u přidružené výroby Pozemních staveb, n. p. Plzeň návštěvu Dřevařského výzkumného ústavu ve Vídni, „Dřevařského veletrhu“ v Klagenfurtu a některých moderních dřevařských staveb. Nejzajímavější byla stanová konstrukce z lepených dřev fy. Rinter (obr. 1). Tato firma se mimo to zabývá tříděním městského odpadu a získáváním druhotných suro-

vin recyklací jednotlivých druhů hmot. Městský odpad se plně likviduje bez znečišťování ovzduší.

*Zařízení na zpětné získávání surovin zahrnuje:*

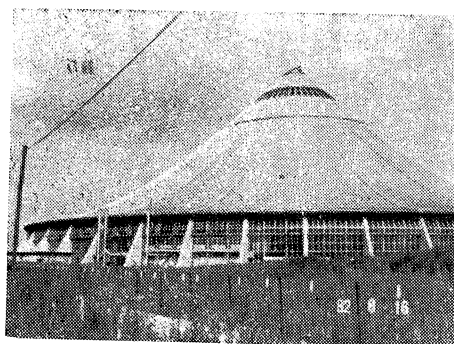
- dvě souběžně zapojené separační linky s výkonností po 20 t odpadu za hodinu a
- po jednom zařízení k výrobě vláken pro stavební desky a k výrobě vláken pro výrobu papíru.

*Jednotlivé výrobní postupy separace a úpravy:*

Odpad se dostává ze zásobníku do trhače plastových pytlů, které se často používají hlavně ve velkoměstech jako sběrné nádoby. Železné části a plechovky se odlučují magnetickým odlučovačem. V následujícím dřtiči se plechovky dále rozmléčí a druhým magnetickým odlučovačem se oddělí od uvolněných nečistot.

Proud odpadu se po odloučení železa vede k dřtiči, který jej rozmléčuje do velikosti asi 70 mm. Rozmělněný odpad z dřtiče se dělí ve vzdušném třídiči na lehké a těžké částice. Třídění se zde uskutečňuje na základě rozdílných rychlostí pádu různých součástí odpadu.

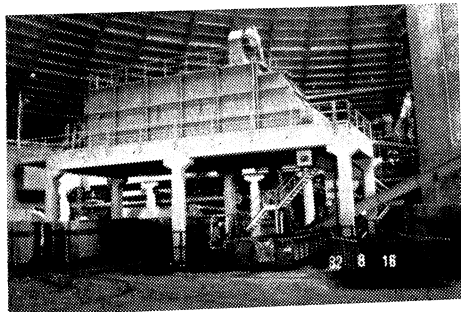
Lehká frakce, pozůstávající z papíru, umělých hmot a jemného smetí, je vzdušným proudem doprováděna do cyklónu, kde je od nosného vzdušného proudu oddělována. Těžká frakce se v následném stupni dělí na dvě. Tento stupeň pozůstává ze vzduchového třídiče, cyklónu a mlýna a vibračního sítě. Jedna z těchto frakcí v podstatě pozůstává z organických, druhá z inertních těžkých čás-



Obr. 1. Kruhová stavba se zavřenou stanovou střechou z lepených dřevěných vazníků fy. Rinter, v níž je umístěno zařízení na zpětné získávání surovin. Provozní plocha 22 700 m<sup>2</sup>, obestavěný prostor 1 mil. m<sup>3</sup>, výška nosného pylonu o průměru 7 m je 68 m. Vnitřní prostor bez podpěr a sloupů.

tic. Organická těžká frakce (pozůstávající z dřeva, kůže, gumy, těžkých umělých hmot, textilií) se přivádí k zařízení pro zpracování vláken pro desky. Inertní frakce pozůstává převážně ze skla, keramiky, písku a podobného zrnitého materiálu.

Lehká frakce z organických jemných částic, papíru a plastických fólií se dělí v otáčejícím papíru a plastických fólií se dělí v otáčejícím



Obr. 2. Část recyklační linky.

se kónickém síťovém bubnu. Organická frakce procházející bubnem se používá k výrobě vysoce hodnotného kompostu.

Frakce přecházející nad sítem, frakce papírová a umělých hmot se ovlhčuje kropicími tryskami a vede se k dalšímu třídiči s horkým vzduchem, za nímž se fólie z plastických hmot lisují do balíků.

Těžká, ovlhčená papírová frakce se na místě zpracovává v zařízení na papír a vláknina. Toto zařízení, které se již mnohokrát osvědčilo, sestává z dřtiče, sít, rozvláknovače, kádi, čističe hustých hmot, zahušťovacího stroje, dispersního zařízení a dvojitych síťových lisů a slouží k výrobě vláknitě hmoty, která svou jakostí vyhovuje potřebám průmyslu, který zpracovává starý papír. Hotová vláknitá hmota se ve formě paletizovatelných listů (podobně jako celulóza) připravuje k rozeslání na konečné zpracovatele.

V tomto separačním zařízení se potřebný vzduch z části recirkuluje, takže tím zátěž okolí prachem a hlukem zůstává pod  $150 \text{ mg/m}^3$ , popř.  $80 \text{ dB(A)}$ . Přiváděná voda do tohoto zařízení se dostává s papírem do přípravy vlákniny. Neodpadá žádná voda, takže je separace příznivá životnímu prostředí.

Vlhká předčistěná frakce, která byla zba-

vena kovových součástí a z velké části i podílu inertních jemných částic organických, jakož i materiálů polétavých (papíru, plastických fólií) postupuje řetězovým dopravníkem do 1. meziskladového zásobníku, sloužícího též jako předzásobník, který má za úkol následující stroje bezvadně a pravidelně dávkovat. Z meziskladu se materiál dopravuje šnekovým dopravníkem přes magnetický odlučovač, pozůstávající z bubnu permanentních magnetů a dalším dopravníkem k sušárně. Jde o bubnovou sušárnou, která má za úkol vlhkou a předčistěnou vlákninu z odpadu vysušit na 5–10 % a tepelně dezinfikovat. Výparu sušárny, dříve než se dostanou komínem do ovzduší, procházejí přes čističku plynu.

Vysušená vlákna se vedou dalšími dopravníky do 2. mezizásobníku. Sušárna je vybavena hasicím protipožárním zařízením, které v případě požáru automaticky zařadí dopravnímu šneku zpětný chod a hořící vlákna se automaticky uhasí v protipožárním ochranném prostoru. Jako další protipožární opatření je instalováno trubkové vodní kropení nad 2. mezizásobníkem a nad dopravníky.

Doprava materiálu z 2. mezizásobníku je opět zajišťována šnekovým dopravníkem, který předává materiál řetězovému dopravníku a vede do čističky materiálu. Přítom vznikající frakce „přidatná látka“ a „vláknovina“ se dopravují pásy do jednotlivých zásobníků. Odpadní vzduch ze sušárny se ve filtru zbarvuje prachem.

Ručení celého zařízení je zajistěno elektroicky příslušnými přístroji z velikosti.

Popsané zařízení je značně složité vzhledem k tomu, že je v prvé řadě zaměřeno na přípravu vláknin pro průmysl dřevotřískových desek a pro výrobu papíru a kartonu a dále dodává skelnou a keramickou drť pro stavbu cest, plastické materiály pro průmysl umělých hmot, organické látky pro výrobu kompostu a kovový odpad pro hutní průmysl.

Hospodářská situace navštívené firmy AG Rinter, Wien, má své obtíže. Tkví v nadbytku dřeva na rakouském trhu, který je zčásti zvyšován i naším vývozem. Proto vlákninový dřevařský a papírenský recykling nemá dostačující odbytek. Humusu je zatím jen 10–15 % z celkového množství odpadu, avšak v roce 1983 se výroba zvýšila na 25 %, tj. na 60 000 t za rok pro zahradnictví města Vídň, pro vinice i lesy.

Popsaný princip likvidace městského odpadu není jediný. V Itálii je systém Scrin, který se již několik let osvědčuje. Další systémy se používají v Anglii, Francii a NSR.

## PROBLÉMY KRAJINY Z HLEDISKA ŽIVOTNÍHO PROSTŘEDÍ

Český ústřední výbor a krajský výbor komitétu pro životní prostředí ČSVTS uspořádaly se zemědělskou a lesnickou společností ČSVTS a Domem techniky v Plzni ve dnech 15. a 16. března 1983 v Mariánských Lázních konferenci na téma „Problémy krajiny

z hlediska životního prostředí“, na níž bylo předneseno 29 referátů, které vyslechlo 180 účastníků. Poměrně malá účast byla ze Slovenska.

V referátech byly probrány hlavní problémy naší krajiny a naznačeny cesty, jak postupně

zabránit poškozování ekologické rovnováhy v krajině, která může vést nejen k narušení její obytnosti, ale i zdraví jejích obyvatel. Projednávaná problematika byla rozdělena do tří hlavních okruhů, a to:

1. Půda a zvyšování její úrodnosti.
2. Ovzduší a škody z jeho znečištění.
3. Cesty k ovlivnění společnosti, aby s krajinou zdravě hospodařila.

**ad 1:** Profesor Ing. R. Šaly, DrSc. z Vysoké školy lesnické a dřevařské ve Zvolenu poukázal na škodlivost uniformního obdělávání, hnojení a chemizování půdy bez ohledu na její sorpční schopnost a vodní kapacitu, což způsobuje časté havárie vodoteče. Půdu též ohrožují kyselé srážky. Podle Ulrycha z roku 1980 činí roční spad siry v ČSSR  $5 \text{ g/m}^2$ , v severozápadních Čechách až  $10 \text{ g/m}^2$ . Ve střední Evropě průměrně jen  $2,5 - 5 \text{ g/m}^2$ . To má za následek změny v půdě — uvolňují se ionty Al, Mn, Fe, což nelze řešit jen velkoplošným vápnením zemědělských či lesních půd. V ČSR je 52 %, v SSR 22 % písčitých a hlinitopísčitých půd, u nichž při dávkách 150—200 kg dusíku na hektar dochází k eutrofizaci spodních vod a k znečištění drenážních vod, jejichž zátěž se za léta 1968—1978 ztrojnásobila.

Doc. Ing. Otomar Kvěch, CSc. z Vysoké školy zemědělské v Praze ukázal, jak necitlivý je k půdě blokový osev. Víc jak polovina půd trpí vodní a větrnou erozí a na 1 000 vagónů denně odnášící naše řeky nejjemnější humusní půdy do moří.

Lukář a pastvinář — Ing. Kopta a Ing. Krajčovič — ukázali na příkladech, jak lze hospodařit bez eroze a bez eutrofizace vod.

Ing. Rudolf Stolařík, garant akce, se soustředil na jednu z hlavních otázek dnešních dnů — humus v půdě. Statková hnojiva nebyla nikdy v dějinách lidské společnosti obtížným odpadem, jakým se stala mnohem novodobým zemědělcům v bezstelivojových velkostájích. Byl to vždy důležitý výrobek v zemědělství. Hnůj vraci i dnes přirodě strávené živiny.

O optimalizaci využití půdního fondu promluvila Ing. Marie Štandová, CSc., z Čs. střediska pro životní prostředí v Bratislavě. Dotkla se otázek rajonizace, lokalizace chráněných území a oblastí i rozmístění kultur.

**ad 2:** O významu čistoty ovzduší promluvil prof. Ing. František Jonáš, DrSc., z Vysoké školy zemědělské v Praze. Poukázal na nárůst energetických zdrojů. V ČSSR je ročně emitovalo 3 mil. t SO<sub>2</sub>, což je 1,5 % celosvětové emise. Je to asi 200 kg SO<sub>2</sub>/osobu ročně.

Sloučeniny siry působí negativně na zdraví člověka, likvidují celé ekosystémy jehličnatých dřevin, snižují zemědělskou produkci, korodují kovy, budovy a okyselují půdu a vodu. Závěrem poukázal na cesty k nápravě, jako jsou odsíření elektráren a výtopen, fluidní spalování, zplyňování uhlí.

RNDr. Ing. Eliška Nováková, CSc., z Ústavu

aplikované ekologie a ekotechniky z VŠZ v Kostelci n/Černými lesy se zabývala zdravotním stavem zajíce jako měřítka zdraví krajiny. Zajíce v dnešní krajině s jejimi převratnými skutečnostmi je stresován a mnohdy určen k uhynutí. Přehnojování dusíkem se projevuje v jeho krvi dvoj- až trojnásobným množstvím methemoglobinu. Hladina vápnu u něj klesá se stupněm znečištění krajiny. To se projeví snížením jeho obranyschopnosti proti infekcím, stresům a alergiím zvláště při vyšší zátěži organismu, např. při graviditě, kojení. Umělými průmyslovými hnojivy se na pole zanáší i balast, ovlivňující půdní strukturu a jedovaté těžké kovy.

**MUDr. B. Turek** za Krajskou hygienickou stanici Plzeň ukázal na nebezpečí DDT, které při koncentraci  $100 \text{ mg kg}^{-1}$  hmotnosti tuku působí již nervové poruchy a neschopnost se soustředit. Přes zákar se některé takové sloučeniny používají i nadále v lesnictví.

**RNDr. A. Pyšek, CSc.**, z n. p. Stavební geologie seznámil účastníky na barevných diapositivech s petrofóbními rostlinami, které indikují havárie na ropovodech. Je to většina lesních stromů, mechy a lišejníky.

**RNDr. Luděk Hůrka** ze Západočeského muzea doložil vlivy zprůmyslnění na přírodu snížením stavu ptactva na Boleveckém rybníku, kde je rezervace. Za 90 let se počet druhů snížil ze 133 na 105 (tj. o 21 %), tažných ptáků o 25 % a hnězdících o 56 %. Počet tetřívů poklesl od r. 1977 o 68 %, hrabivých ptáků o 65 %, koroptví o 65 %, netopýrů o 75 %.

**RNDr. Cvak** z Výzkumného ústavu mlékárenského připustil nebezpečí přechemizace na jakost mléka a mléčných výrobků.

**Ing. Jiří Kodl** z federálního ministerstva zemědělství a výživy hovořil o úkolech zemědělství, které musí zabezpečit nejen zvýšenou produkcí, ale i ochranu krajiny. Zvláště je sledován obsah organických látek v půdě, které vylučují trvalý úbytek. Proto je třeba i s kejdomu jako hnojivem náležitě zacházet. Při nových půdních úpravách je třeba zajistit i omezení eroze.

Obdobné problémy jsou i v lesním hospodářství: zajištění protierozní ochrany, zachování humusu v půdě a rozvoj spíše biologické než chemické ochrany porostů.

**ad 3:** K ovlivnění veřejnosti ke zlepšení vztahu k přírodě a dosažení ekologické rovnováhy v krajině přispěly další referáty. O postavení a dosavadních výsledcích Českého svazu ochrany přírody promluvil prof. Ing. František Hron, DrSc., z VŠZ v Praze a o mezinárodních snaženích ochrany Zdeněk Janča, prom. biolog., z lékařské fakulty UK v Plzni.

Večerní promítání filmů o CHO Sokolovského lesa, návštěva Kladské a promítání filmu o CHO Treboňská s proslovem RNDr. D. Dykiarové z Botanického ústavu ČSAV vyplnily účastníkům jejich volný čas.

Stolařík

## ZÁVĚREČNÁ ZPRÁVA

přijatá na zájmovém setkání vědců „Věda mezi váhou a mírem,“ jež se konalo 24. a 25. června 1983 v rámci Světového shromáždění za mír a život, proti jaderné válce.

Setkání vědců dospělo k témtoto závěrům:

1. Zúčastnění vědců z nejrůznějších vědních oborů z 49 zemí, zastánci různých politických názorů a náboženského přesvědčení, prohlašují, že za nejvýznamnější úkol vědců celého světa považují spojit své úsilí a zabránit použití zbraní hromadného ničení — zabránit konečné katastrofě celé lidské civilizace — a účastnit se mírového hnutí za zmrazení nukleárních zbraní a Kampaně Spojených národů za odzbrojení.

2. Nové akutní nebezpečí vypuknutí nukleární války by mohlo vzniknout plánovaným rozmístěním nové generace amerických stírel středního doletu, obzvláště možným selháním elektronických systémů.

3. V nejrůznějších odvětvích vědy bylo dokázáno, že nukleární válka by nevyhnuteLNě ve svých důsledcích znamenala konec lidstva, konec přírody, konec veškerého života na této planetě.

— Proto vědcové považují militaristickou myšlenku, že by některá ze zúčastněních stran mohla v nukleární válce zvítězit, za zcela sestrou. Rovněž mylné a absurdní je věřit v možnost omezené jaderné války. — Proto se obracejí k vládám zemí, vlastnických jaderné zbraně, aby respektovaly závěry, k nimž dospěli vědcové v otázce hrozby nukleární války a aby učinily vše pro to, aby nukleární energie byla používána výhradně pro mírové účely, pro blaho lidstva. Prohlašují, že skutečným úkolem vědy a vědců je budovat, nikoli ničit.

4. Doporučují vládám států, aby přikládaly větší váhu mezinárodnímu právu a podpořily rezoluci Valného shromáždění Spojených národů, jež prohlašuje, že každý stát, který by použil jaderných zbraní jako první v „preventivních“ či „obranných“ akcích, by se dostal nejtěžšího zločinu proti lidstvu, který nelze nikak ospravedlit. Doporučili všem vládám, aby plnily mezinárodní smlouvy zakazující chemické a bakteriologické zbraně a snížily obrovské smrtonosné zásoby vojenských chemických prostředků.

5. Upozorňují na to, že nová etapa zbrojení spolu s růstem vojensko-průmyslového komplexu a úlohy militarismu ve vnitřní a zahraniční politice zvyšuje nedůvěru mezi národy, zvláště mezi státy s rozdílnými společenskými systémy a ohrožují mezinárodní stabilitu. Vyzývají nejvyšší představitele, vlády a parlamenty států vlastnických jaderné zbraně, aby snížili nebezpečí vypuknutí jaderného konfliktu mezinárodním jednáním o omezení jaderného zbrojení a o postupném odzbrojení na základě principu stejně bezpečnosti. Zejména plány na vývoj nových strategických jaderných zbraní a přípravy na rozmístění nových jaderných zbraní v západní Evropě vytvázejí celosvětové nebezpečí, jaké dosud nemá obdobu.

6. Považují boj za mír a mírové soužití států s rozdílným společenským zřízením za nejnaléhavější globální problém lidstva. Horečné zbrojení odcerpává obrovské ekonomické hodnoty, lidské úsilí a tak rozhodně oddaluje možnosti řešení problémů, které lidstvu vznikají a jsou nejnaléhavější ve třetím světě. Pouze v míru je možné řešit další naléhavé globální problémy jako jsou chudoba, negramotnost a choroby, zachování zdravého životního prostředí pro všechny vzájemně se podmiňující formy života na Zemi, zajištění potravin a potřebných surovinových zdrojů pro lidstvo a problémy spojené s kulturním, hospodářským, vědeckým a technologickým rozvojem společnosti. Boj za mír je úzce spojen s bojem za demokracii a lidská práva. Právo jednotlivce, národní a států na život v síle musí být v této souvislosti považováno za nejvýznamnější základní lidské právo. Boj za mír je také těsně spojen s bojem za společenský pokrok, hospodářské a sociální požadavky pracujících lidí na celém světě, s bojem za právo na rozvoj a nový ekonomický řád a za národní osvobození.

7. Účastníci setkání proto navrhují, aby vědcové — zastánci nejrůznějších mírových koncepcí a teorií soustředili svou pozornost na to, co sjednocuje zastánce míru na celém světě — na snahu o odvrácení hrozby jaderné války a přednostně na okamžité zmrazení všech jaderných zbraní jako na krok k dosažení všeobecného a úplného odzbrojení.

8. Účastníci setkání navrhují svolat Světový kongres vědců proti válce a zbrojení,

9. Navrhují vytvořit v jednotlivých státech národní výbory vědců za mír, v nichž budou bojovat proti válce společně vědcové z oborů přírodních, technických a společenských věd.

10. Účastníci apelují na morální odpovědnost všech vědců světa, aby se zapojili do boje za mír, proti nebezpečí nukleární války. Tato odpovědnost vyplývá ze vztahu vědců k životu a lidstvu a využívají také, aby vedl a vychovával mladou vědeckou generaci ke stejné odpovědnosti. Vědcové mohou významně přispět k tomu, aby si lidé lépe uvědomili rizika a potencionální důsledky zbrojení, zejména jaderného zbrojení.

11. Účastníci setkání považují rozvoj široké mezinárodní spolupráce ve výzkumu problémů zajištění míru a odvrácení jaderné války za otázkou životního významu. Doporučují, aby UNESCO a všechna mezinárodní vědecká sdružení vědeckých disciplín zařadila výzkum těchto problémů na program jednání příslušných světových kongresů, sympoziov a konferencí, pokud tak již neučinila — protože jejich řešením by mohla věda přispět k rozvoji mírového soužití.

12. Obracejí se na vědce celého světa s naléhavou výzvou, aby ve svých zemích a na mezinárodní úrovni aktivně vystupovali za uvolnění mezinárodního napětí, mírové soužití států s různými společenskými systémy, proti hrozobě jaderné války a za ochranu života, kdekoliv a kdykoli je ohrožen.

## ASHRAE JOURNAL 25 (1983), č. 7

- Managing New York City's energy conservation program (Řízení programu pro úspory energie v New Yorku) — *Copeland Ch. C.*, 29—33.
- Energy performance in atriums — an affirmation (Úspory energie a atria) — *Duke B. W.*, 34—39.
- Atriums: the HVAC factors (Atria: faktory vytápění, větrání a klimatizace) — *Setty B.S.V.*, 40—45.
- Smoke management system consideration for hotel atriums (Regulace kouře v budově v případě požáru a hotelová atria) — *Dillon M. E.*, 46—50.

## ASHRAE Journal 25 (1983), č. 8

- Thermal performance comparisons for a solar hot water system (Porovnání tepelné účinnosti pro solární systémy ohřevu vody) — *Fischer R. A., Fanney A. H.*, 27—31.
- Energy conservation in museums and historic buildings (Uchování energie v muzeích a historických budovách) — *Ucar M., Doring G. C.*, 32—37.
- Stimultaneous heating and cooling — the undetected energy consumer (Současné vytápění a chlazení — nezjištěný spotřebitel energie) — *Albern W. F.*, 38—39.
- Solar optical properties of accepted interior window treatment (Solární optické vlastnosti vnitřních úprav oken) — *Woodson E., Horridge P., Khan S., Tock R. W.*, 40—45.

## ASHRAE Jorunal 25 (1983), č. 9

- The cost of frost (Náklady na zmrazování výrobků v závodě na zpracování masa) — *Coley M. B.*, 29—31.
- Heat recovery techniques in chemical processing refrigeration applications (Způsoby zpětného získávání tepla z chladicích procesů v chemickém průmyslu) — *Hall R. A.*, 32—37.
- Heat recovery in an ice rink? They did it at Cornell University (Zpětné získávání tepla z provozu kluziště) — *Albern W. F.*, 38—39.
- Beating the blahs for VAV (Klimatizační systém s proměnným průtokem vzduchu) — *Tamblyn R. T.*, 42—45.
- Solar and subterranean complex combined for energy efficiency (Využití sluneční energie v kombinaci s podzemním komplexem stavby řetězí energií) — *Lany K.*, 46—47.
- Energy conservation during recovery of condensed chemical vapors (Úspory energie během zpětného získávání kondenzovaných chemických výparů) — *Miller D. K.*, 48—49.
- Fume hood diversity for reduced energy

consumption (Odsavače a snížení spotřeby energie) — *Moyer R. C.*, 50—52.

## ASHRAE Journal 25 (1983), č. 10

- Standard 90: Review, preview and update (Standard 90: současný stav) — *Grummman D. L.*, 27—29.
- Special project 41: Development of recommendation to upgrade ASHRAE standard 90A-1980, "Energy conservation in new building design" (Speciální projekt 41 — zajištění standardu ASRAE 90A-1980, „Úspory energie u nově projektovaných budov“) — *Jones J. W.*, 30—36.
- Evaluation of evacuated glass tubes for sampling of SF<sub>6</sub>/air mixture for air exchange measurement (Hodnocení evakuovaných skleněných trubic pro vzorkování směsi SF<sub>6</sub>/vzduch k měření výměny vzduchu) — *Tamura G. T., Evans R. G.*, 40—43.

## Haustechnik Bauphysik Umwelttechnik] (Gesundheits-Ingenieur) 104 (1983), č. 5

- Die Technische Anleitung zur Reinhaltung der Luft 1983 (Technické instrukce k čistotě vzduchu 1983) — *Lahmann E.*, 217—220.
- Gaswärmepumpe zur Wärmenutzung feststoffbeladenen städtischen Abwassers (Tepelné čerpadlo s plynovým motorem na využití tepla z městské odpadní vody, znečištěné tuhými látkami) — *Berger H., Roth V.*, 220—229.
- Zur Wärmeleistung des Plattenheizkörpers (Tepelný výkon deskového vytápěcího tělesa) — *Adunka F.*, 230—236.
- Wie lassen sich die Wärmeeverluste in Brüstungen hinter Heizkörpern wirksam reduzieren? (Jak se mohou účinně snížit tepelné ztráty u parapetů za vytápěcím tělesy) — *Erhorn H., Gertis K.*, 237—238, 247—253.
- Zur Problematik viraler Aerosole in der Umgebung von biologischen Kläranlagen und Abwasserverregnungsgebieten (Problematika virových aerosolů v okolí biologických čistíren vod a v oblastech, znečištěných odpadními vodami) — *Wullenweber M., Joret J. C.*, 254—257.
- Stellungnahme zur Spannungsrißkorrosion an Kupferrohren (Stanovisko ke korozi, způsobené pneutím, na měděných trubkách) — příloha.
- Planen und Bauen in der Sanitärtechnik (Plánování a konstrukce ve zdravotní technice) — *Usenmann K. W.*, příloha.

## Heating, piping, air conditioning 55 (1983), č. 6

- HPAC Info-dex 83/84 (Adresář výrobců a přehled výrobků vytápěcí, větrací a klimatizační techniky).

**Heating, piping, air conditioning 55 (1983), č. 7**

- Noise control for rooftop air handlers (Kontrola hluku pro nástřešní klimatizační jednotky) — 26, 31—32.
- Computer analysis picks control system for office building (Rozbor, prováděny počítačem, pomáhá zvolit centrální klimatizační systém pro kancelářskou budovu) — *Bihler L. A.*, 53—57.
- Computer analysis picks unitary system for electronic plant (Rozbor, prováděny počítačem, pomáhá zvolit systém klimatizačních jednotek pro závod na výrobu elektroniky) — *Munn D. M.*, 60—62.
- Floor-by-floor conditioning of office highrise (Klimatizace jednotlivých podlaží výškové kancelářské budovy) — *Peters D., Kaler M.*, 66—68, 73—75.
- The search for chiller efficiency (Zkoumání účinnosti chladiče) — *Landman W. J.*, 77—81.
- The system choice (Volba klimatizačního systému) — *Stokes R., Momsen A.*, 87—89.

**Heating, piping air conditioning 55 (1983), č. 8**

- The economics of VAV duct looping (Hospodárnost smyčkování kanálů pro klimatizační systém s proměnným průtokem vzduchu) — *Coe P. E.*, 61—64.
- Automatic boiler blowdown with heat recovery (Automatické odkalování kotle se zpětným získáváním tepla) — *Oven M.*, 68—73.
- VAV and heat recovery in a medical center (Klimatizační systém s proměnným průtokem vzduchu a zpětné získávání tepla v nemocnici) — *Lindberg P. R.*, 82—88.
- Estimating VAV retrofit costs (Hodnocení nákladů na klimatizační systém s proměnným průtokem vzduchu) — *Wendes H. C.*, 93—96, 101—103.
- Supply fan volume control in a VAV system (Regulace ventilátoru pro přívod vzduchu v klimatizačním systému s proměnným průtokem vzduchu) — *Haines R. W.*, 107, 110—111.
- EMCS and digital controllers (Řízení spotřeby energie a kontrolní systémy a digitální kontrolní zařízení) — *Coad W. J.*, 112, 115, 119.

**Heating, piping, air conditioning 55 (1983), č. 9**

- The cost of conserved energy as an investment statistic (Cena uspořené energie jako statistika investic) — *Meier A.*, 73—77
- Rate of return analysis in the evaluation of project alternatives (Výpočet rozboru v hodnocení alternativ projektu) — *Montag G. M.*, 84—89.
- Two techniques for selling energy management (Dva způsoby přístupu k řízení spotřeby energie) — *Whalen J. M.*, 97—101.

— Garden apartment energy use (Spotřeba elektrické energie komplexu budov vilového typu) — *Spielvogel L. G.*, 104—107.

— Evaporative cooling for energy conservation (Chlazení vypařováním šetří energii) — *Meyer J. R.*, 111—116, 118.

— Laboratory fume hood noise (Hluk odsavačů v laboratořích) — *Sessler S. M., Hover R. M.*, 124, 126—128, 133—137.

— Direct digital control (Přímá digitální regulace vytápění, větrání a klimatizace) — *Haines R.*, 139, 141, 144.

**Heating, piping, air conditioning 55 (1983), č. 10**

- Engineered plumbing considerations for a bus garage (Technické instalace pro velkogaráže autobusů) — *March H. S.*, 57—62.
- How CADD supports the mechanical systems engineer (Navrhování a zobrazování pomocí počítače slouží strojním inženýrům, zabývajícím se vytápěním, větráním a klimatizací) — *Raker D. S.*, 65—70.
- Duct sizing table (Tabulka rozměrů potrubí) — *Habjan J.*, 74—77.
- Pipe insulation choices (Volba izolačního materiálu pro potrubí) — *Danisch Ch.*, 81—84.
- Boiler flooding problems (Problematika zahlcení kotle) — *Rosa F.*, 95—96.
- Valves: selection, specification, and application (Volba, specifikace a použití ventilů) — *Miller R. H.*, 99—103, 108—118.
- Air conditioning control for a condominium building (Regulace klimatizace pro obytnou budovu) — *Haines R. W.*, 121—122.
- Nomograph estimates critical flow rates for air (Nomogram hodnotí kritické rychlosti vzduchu) — *Ganapathy V.*, 125—126.

**Heizung Lüftung Haustechnik 34 (1983), č. 9**

- Integriertes Energieversorgungskonzept für ein Krankenhaus. Studie für das Universitätsklinikum Berlin-Steglitz (Integrovaný koncept zásobování energií pro nemocnici. Studie pro univerzitní kliniku Berlin-Steglitz) — *Esdorn H., Jahn A.*, 361—368.
- Zur intermittierenden Betriebsweise von Kreuzstromwärmeübertragern in Raumlufttechnischen Anlagen (Přerušovaný provoz výměníků tepla s křížovým prouděním ve vzdutotechnických zařízeních) — *Probst J., Wunderlich H.*, 369—372.
- Berücksichtigung der Wärmespeicherfähigkeit in DIN 4701 (Přihlédnutí k tepelné akumulační schopnosti v normě DIN 4701) — *Hauser G.*, 373—375.
- Einfluss von Frost- und Korrosionsschutzmitteln auf Glykol-Basis auf Pumpenkennlinien und Durchflusswiderstände (Vliv ochranných prostředků proti mrazu a korozii na bázi glykolu na charakteristiky čerpadel a průtočné odpory) — *Ganter M.*, 376—379.
- Spezial-Deckenluftheizer für die neue Wartungshalle VI des Frankfurter Flughafens (Speciální stropní ohříváče vzduchu pro halu údržby VI frankfurtského letiště) — 388.

## Die Kälte und Klimatechnik 36 (1983), č. 9

- Regelung der Flüssigkeitsumwälzung bei Anlagen mit Zwangsumwälzung (Regulace cirkulace kapaliny u zařízení s nuceným oběhem) — *Lassen O.*, 378, 380, 382, 384.
- Klimatisierung von Führerräumen (Klimatizace řídících kabin) — *Hermann D., Karder J.*, 388, 388, 390—391.
- Verdichter für die Kälte- und Klimatechnik (Kompressory pro chladicí a klimatizační techniku) — 392, 394, 396, 398.
- IKK 83-4. Internationale Fachausstellung Kälte-Klimatechnik, Essen 20.—22. Oktober 1983 IKK 83-4. mezinárodní výstava z oboru chladicí a klimatizační techniky; Essen — 20.—22. říjen 1983: — 400, 404, 406—408.

## Die Kälte und Klimatechnik 36 (1983), č. 10

- Hygienische Kontrolle von Klimawässern (Hygienická kontrola vody pro klimatizační systémy) — *Scharmann R.*, 440, 442, 444, 446.
- Auswahlkriterien für Gasmotorwärmepumpen (Kritéria pro volbu tepelných čerpadel s plynovým motorem) — *Ackemann R.*, 446, 448, 450.
- Doppeltarifzähler bei Wärmepumpenanlagen — braucht man sie, braucht man sie nicht? (Dvojitý sazový elektroměr u zařízení s tepelnými čerpadly — je zapotřebí, není zapotřebí?) — *Pilke R.*, 452, 454, 456.
- Wärmerückgewinnung in Tortenfabrik. Immer neue Zielgruppen für Kälte- und Klimatriebe (Využívání odpadního tepla v továrně na cukrovinky. Stále nové cílové skupiny pro provozy chlazení a klimatizace) — *Amend A.*, 356, 461.
- Wärmepumpenverdampfer „Bucodelot“ — eine neue Lösung zur Ausnutzung niedriger Wassertemperaturen (Výparník tepelných čerpadel „Bucodelot“ — nové řešení k využití nízkých teplot vody) — *Klüe U.*, 462, 464.
- Die Aluminium-Märkte im Detail (Trhy hliníku — podrobne) — 464.
- DWM Copelad GmbH, Berlin (Firma DWM Copeland GmbH, Berlin — historie a současný stav firmy) — *Bense H. A.*, 466, 468, 470.
- IKK 83-4. Internationale Fachausstellung Kälte-Klimatechnik, Essen, 20.—22. Oktober 1983 (IKK 83-4. mezinárodní výstava z oboru chladicí klimatizační techniky; Essen, 20.—22. října 1983) — 474, 476, 478, 480, 482.

## Luft- und Kältetechnik 19 (1983), č. 4

- Entwicklung und Produktion von Rationalisierungsmitteln für Erzeugnisse der Luft- und Kältetechnik (Vývoj a výroba racionalizačních prostředků pro výrobky vzduchotechniky a chladicí techniky) — *Hansch R.*, 184—188.
- Entwicklung und Produktion prozessspezifischer Industrieroboter im VEB Kombinat Luft- Kältetechnik (Vývoj a výroba speci-

fických průmyslových robotů v kombinátě Luft und Kältetechnik) — *Kluge R.*, 188—190.

— Zur Handhabung der Selbstkosten eines Wergleichserzeugnisses bei der Erzeugnisneubzw. Erzeugnisweiterentwicklung (Vlastní náklady srovnávacího výrobku u nového vývoje výrobku, případně u dalšího vývoje výrobku) — *Krause F., Haussmann B.*, 191—192.

— Beitrag zur Rationalisierung des Zuschnittes von rechteckigen Blechteilen im VEB Kombinat Luft und Kältetechnik (Příspěvek k racionalizaci přířezu pravoúhlých plechových dílů v kombinátě Luft- und Kältetechnik) — *Angermann R., Bartmuss G., Gärtner D.*, 193—196.

— Fertigung der Zahngeometrie von Schraubenverdichterrotoren (Zhotovení geometrie ozubení rotorů šroubových kompresorů) — *Krause F.*, 196—199.

— Feuchtetransport in Baustoffen und Bauwerksteilen (Vzhlínání vlhkosti ve stavebních hmotách a stavebních dílech) — *Häupl P., Stopp H.*, 202—207.

— Methoden zur Vorausbestimmung von Strömungsvorgängen in klimatisierten Räumen — Fortsetzung (Metody na předběžné stanovení postupu proudění v klimatizovaných místnostech — pokračování) — *Hanel B., Köthnig G.*, 207—211.

— Ein Verfahren zur Berechnung dreidimensionaler Freistrahlen (Způsob výpočtu třírozměrných volných paprsků) — *Hanel B.*, 212—217.

— Hohe Materialökonomie — Kernpunkt der Sicherung eines hohen Leistungszuwachses (Vysoká materiálová hospodárnost — podstata zabezpečení vysokého vztahu výkonu) — *Schade D.*, 217—218.

— Erhöhung der Effektivität der Grundfondsreproduktion (Zvýšení účinnosti reprodukce základního fondu) — *Wechsler A.*, 219.

## Sanitär- und Heizungstechnik 48 (1983), č. 7

- Bei leichten Bauweisen höchster Gewinn (Optimizaci vytápení lze i při vylehčených stavebních technologiích mnoho získat) — 606—611.
- Noch dickere Dämmsschichten empfehlenswert (Doporučují se ještě tlustší izolační vrstvy) — 612—613.
- Zu wenig Sachkenntnisse und zu wenig geprüft (Úrazy chlorem z malých znalostí a nedostatečné kontroly) — 615—616.
- Wärmepumpen. Energieverbund und Mehrfachnutzung des Badewassers (Tepelná čerpadla, energetická náročnost a viceňasobné použití koupací vody — díl 4.) — *Saunus Ch.*, 617—620 pokrač.
- Zuviel: 10 l Waser für 0,25 l Urin (10 l vody na spláchnutí 0,25 l može je moc) — *Mayer E.*, 621—622.
- Torf statt Öl (Rašelina místo oleje) — *Frormann D.*, 627—628.
- Keramik-Kessel: Versuche bald in einer neuen Phase (Pokusy s keramickými kotly se záhy dostanou do nového směru) — 629—630.
- Vieu-Rohre: Dämmung auf Unterputz-

- Verlegung abgestimmt (Firem. sdělení: izolace potrubí) — 640—641.

— Asea Lepper: Elektrowärme als Alternativheizung (Firem. sdělení: švédské elektrické zásobníky pro vytápění) — 642.

— Ospa: Whirl-Pools werden zu Favoriten in Hotels (Firem. sdělení: individuální koupací bazény s požádky) — 643.

— Küchentechnik No. 4 (Příloha „Technika v kuchyni“ č. 4) — K 141—K 178

— Das Forum für den Küchenspezialisten in der Küchentechnik (Jídelní kouty, navrhování kuchyňských linek) — SK 128—SK 136.

### Sanitär- und Heizungstechnik 48 (1983), č. 8

— Wenn die Estrichleger kommen (Kladení podlahového vytápění) — 660—661.

— Die Gefahr ist noch nicht gebannt (Nebezpečí instalace komínových nástavců) — Fischer R., 662—666.

— Den CO<sub>2</sub>-Gehalt der Raumluft messen (Je nutno měřit obsah CO<sub>2</sub> v místnosti) — Werner H., 667—670.

— Mit einigen Grundregeln ist schon viel geholfen (Dopržování základních regulí při ochraně před šířením ohně účinně pomáhá) — Witték B., 671—674.

— Erhöhtes Nachtstrom-Angebot wieder zu erwarten (Očekává se opětovné zvýšení nabídky nočního proudu) — 677—678.

— Wärmepumpen, Energieverbund und Mehrfachnutzung des Badewassers (Tepelná čerpadla, energetická náročnost a vícenásobné použití koupací vody — díl 5.) — Saunus Ch., 679—682 pokrač.

— Danfoss: Erfolg durch kontinuierliche Forschungs- und Entwicklungsarbeit (Fir. sdělení: Danfoss inovuje regulační techniku) — 695—698

(Ekonomicky optimální stupeň přenosu u zarizení na zpětné získávání tepla) — Tesche P., 194—197.

— Zur Wechselwirkung zwischen Fugenlüftung und Transmissionswärmeverlusten von Fenstern (Teil 2) (Působení výměny při větrání spárami a tepelnými ztrátami transmisí u klen — díl 2) — Petzold K., 198—199 pokrač.

— Aussenlufteneinfall in Gebäude (Pronikání venkovního vzduchu do budov) — Weier H., 200—204.

— Mittelwerte der Aussenlufttemperaturen und Gradstunden für die Berechnung des Jahreswärmbedarfs der Lüftungsanlagen in Industriebetrieben (Střední hodnoty teplot venkovního vzduchu a hodinostupňů pro výpočet roční spotřeby tepla pro větrací zařízení v průmyslu) — Oppel L., 204—206.

— Arbeitshygienische und energiebegünstigte Klimagestaltung auf der Grundlage der integrativen Klimabewertung (Pracovné hygienické a energeticky úsporné vytvárení klimatu na základě integračního hodnocení klimatu) — Ruback K., Gaebelein H., Krastel D., Barig A., 206—208.

— Örtliche Klimagestaltung (Místní klimatizace) — Barig A., 208—211

— Mentale Leistung unter varierten Raumklimabedingungen (Mentální výkonnost při proměnných klimatických podmírkách v prostoru) — Schrader G., Bischof W., Horn H., 212—214.

— Arbeitsblätter zum Berechnen von Luftschieleieranlagen (Pracovní listy k výpočtu zařízení pro vzduchové clony) — Klengel M., 217—219.

— Lüftungs- und Klimatechnik Definitions standards TGL 39010/01 und 02 (TGL 39010/02 „Definice ve větrání a klimatizaci“) — Ganssch K., 219—222.

Stadt- und Gebäudetechnik 37 (1983), č. 7

- #### —Ökonomisch optimale Übertragungsgrade von Wärmerückgewinnungseinrichtungen

zty

3

Zdravotní technika a vzduchotechnika. Ročník 27, číslo 3, 1984.  
Vydává český výbor komitétu pro životní prostředí ČSVTS v Aca-  
demii, nakladatelství Československé akademie věd, Vodičkova 40,  
112 29 Praha 1. Adresa redakce: Dvorecká 3, 147 00 Praha 4. — Tiskne  
Tisk, knižní výroba, n. p., 656 01 Brno, závod 1. — Vychází šestkrát  
ročně. Rozšířuje PNS. Informace o předplatném podá a objednávky při-  
jímá každá administrace PNS, pošta, doručovatel a PNS ÚED Brno.  
Objednávky do zahraničí vyřizuje PNS-ústřední expedice a dovoz tisku  
Praha, závod 01, administrace vývozu tisku, Kafkova 19, 160 000 Praha 6.  
Cena jednoho čísla Kčs 8,—, roční předplatné Kčs 48,—. (Tyto ceny  
jsou platné pouze pro Československo.)  
Distribution rights in the western countries: Kubon & Sagner, P.O.  
Box 34 01 08 D-8000 München 34, GFR.

**Annual subscription: Vol. 27, 1984 (6 issues) DM 88,—.**  
**Tato číslo vyšlo v červnu 1984.**

© Academia, Praha 1984.